
Theory of the Lamb Shift in Hydrogenlike Systems

(Theorie der Lamb-Verschiebung in wasserstoffartigen Systemen)

Diplomarbeit/Master Thesis
an der Fakultät für Physik
der Ludwig-Maximilians-Universität München

von/by

Ulrich D. Jentschura

1. Auflage/Edition Februar 1996
2. Auflage/Edition April 2003
[with hypertext references and updates]

E-Mail:
jentschura@physik.uni-freiburg.de
jentschura@physik.tu-dresden.de
ulj@nist.gov

Abstract

Analytic calculations of the Lamb shift represent a considerable challenge due to the size and the complexity of the expressions that occur in intermediate steps. In the current work, we present a method for the treatment of the bound-state self-energy in higher orders. Advantage is taken of computer algebra systems. The method is applied to the 2P-states, and the (one-loop) self-energy is calculated up to the order of $\alpha(Z\alpha)^6$. The calculation leads to improved predictions for the in atomic hydrogen.

In particular, the focus of the current work is the calculation of the so-called A_{60} -coefficient with improved accuracy. A_{60} -coefficients are calculated with an accuracy of less than 1 Hz in frequency units,

$$A_{60}(2P_{1/2}) = -0.99891(1) \quad \text{and} \quad A_{60}(2P_{3/2}) = -0.50337(1).$$

An account of the contributions to the Lamb shift of 2P states is given [status of 1996 when this thesis was completed]. Bound-state quantum electrodynamics combines the complexity of modern quantum field theory, including renormalization, augmented by the structure of bound states and the inherent relativistic corrections with the experimental possibilities of modern high-resolution laser spectroscopy.

This thesis was submitted to the University of Munich on 10 February 1996, and final examinations took place on 8 May 1996. We attempt to provide a more complete account of the calculations whose results were previously presented in [U. D. Jentschura and K. Pachucki, e-print [physics/0011008](#), Phys. Rev. A **54**, 1853 (1996)]. The current version is not identical to the master thesis submitted to the University of Munich; it contains hyperreferences and updates. Part of the results are of relevance for a recent investigation of radiative corrections induced by local potentials [U. D. Jentschura, e-print [hep-ph/0305066](#), J. Phys. A **36**, L229 (2003)].

The thesis is in German; this English abstract is provided for completeness. Final results for the Lamb shift of 2P states as reported in Ch. 6 represent the status of corrections known by 1996.

This thesis is the first in the traditional threefold sequence “diploma(master)–dissertation(PhD)–habilitation” that is being followed in Continental Europe. Copies of the author’s PhD thesis are available as U. D. Jentschura, “Quantum Electrodynamical Radiative Corrections in Bound Systems (Dresdner Forschungen: Theoretische Physik, Band 2)”, w.e.b. Universitätsverlag, Dresden, 1999 (ISBN: 3-933592-65-8), 225 pages (address of w.e.b. Publishers: Bergstraße 78, 01069 Dresden, Germany). Copies of the habilitation thesis (title: “Quantum Electrodynamical Bound–State Calculations and Large–Order Perturbation Theory”) as well as copies of the master thesis in its 1996 version are available via e-mail or “snail mail” (jentschura@physik.uni-freiburg.de or U. D. Jentschura, Physikalisches Institut, Universität Freiburg, Hermann–Herder–Straße 3, 79104 Freiburg im Breisgau, Germany).

Zusammenfassung

Analytische Rechnungen zur Lamb–Verschiebung werden durch Größe und Komplexität der auftretenden Terme erheblich erschwert. Es wird in dieser Arbeit eine Methode vorgestellt, mit welcher der Selbstenergiebeitrag zur Lamb–Verschiebung wasserstoffartiger Systeme in höherer Ordnung analytisch berechnet werden kann. Durch den Einsatz eines symbolischen Computerprogramms gelingt es, die Rechenschritte zu vereinheitlichen und zu beschleunigen.

Die entwickelte Methode wird auf die $2P$ -Zustände angewandt und der (Ein-Schleifen-) Selbstenergiebeitrag bis zur Ordnung $\alpha(Z\alpha)^6$ berechnet. Die Rechnung zeichnet sich gegenüber früheren numerischen Rechnungen durch deutlich geringere Fehlergrenzen aus.

Insbesondere ist es das Ziel dieser Arbeit, für die $2P$ -Zustände den sogenannten A_{60} -Koeffizienten mit verbesserter Genauigkeit zu berechnen. Für die $2P$ -Zustände ist dieser Koeffizient bisher nur durch Extrapolation einer numerischen Rechnung bekannt [P. J. Mohr, Phys. Rev. A **26**, 2338 (1982)],

$$A_{60}(2P_{1/2}) = -0.8(3) \quad \text{und} \quad A_{60}(2P_{3/2}) = -0.5(3).$$

In dieser Arbeit werden die A_{60} -Koeffizienten mit einer Genauigkeit von < 1 Hz berechnet,

$$A_{60}(2P_{1/2}) = -0.99891(1) \quad \text{und} \quad A_{60}(2P_{3/2}) = -0.50337(1).$$

Dadurch kann die Lamb–Verschiebung für die $2P$ -Zustände mit verbesserter Genauigkeit angegeben werden (bisher lag die theoretische Unsicherheit bei etwa 3 kHz). Es ergeben sich folgende neue theoretische Werte für die Lamb–Verschiebung der $2P$ -Zustände,

$$\delta E_{\text{Lamb}}(2P_{1/2}) = -12836.0(3) \text{ kHz}$$

sowie

$$\delta E_{\text{Lamb}}(2P_{3/2}) = 12517.5(3) \text{ kHz},$$

jeweils mit einer theoretischen Unsicherheit von 300 Hz. Für die Feinstrukturaufspaltung der $2P$ -Zustände wird als theoretischer Wert

$$\delta E_{\text{fs}} = E(2P_{3/2}) - E(2P_{1/2}) = 10969043.2(6) \text{ kHz}$$

erhalten. Ein Vergleich der Voraussagen der Quantenelektrodynamik mit dem Experiment (höchstauflösende Spektroskopie) kann zur Überprüfung der Quantenfeldtheorien dienen.

Inhaltsverzeichnis

1	Einleitung	1
1.1	Die QED und die Lamb-Verschiebung	1
1.2	Beiträge zur Lamb-Verschiebung	2
1.3	Gegenstand der vorliegenden Arbeit	3
1.4	Motivation für die vorliegende Arbeit	4
1.5	Computer-Algebra Systeme	4
2	Theorie der Selbstenergie	6
2.1	Konventionen	6
2.2	Heaviside-Lorentz-Einheiten	6
2.3	Die Selbstenergiefunktion	7
2.4	Die Vertexfunktion	9
2.5	Die Selbstenergie in einem gebundenen Zustand	10
2.6	Renormierung der Selbstenergie	12
3	Die epsilon-fw-Methode	15
3.1	Allgemeines	15
3.2	Einige Definitionen	15
3.3	Die gamma-Matrizen	17
3.4	Die Foldy-Wouthuysen-Transformation	17
3.5	Der Photonen-Propagator in verschiedenen Eichungen	22
3.6	Die epsilon-Methode	23
3.7	Der Hochenergie-Anteil	25
3.8	Der Niedrigenergie-Anteil	28
4	Die Selbstenergie des 2P-Zustands ($j=1/2$) zur sechsten Ordnung in Z_α	33
4.1	Der Hochenergie-Anteil	33
4.1.1	Allgemeines zur Rechenmethode	33
4.1.2	Der 3-Vertex Anteil	35
4.1.3	Der 2-Vertex Anteil	37
4.1.4	Der 1-Vertex Anteil	38
4.1.5	Der 0-Vertex Anteil	41
4.1.6	Der Massen-Gegenterm	43
4.1.7	Die k- und omega-Integration	43

4.1.8	Ergebnis des Hochenergie-Anteils	44
4.2	Der Niedrigenergie-Anteil	44
4.2.1	Allgemeines zur Rechenmethode	44
4.2.2	Mathematische Vorbereitungen	45
4.2.3	Der nichtrelativistische Dipol-Anteil	53
4.2.4	Korrekturen zum Strom	53
4.2.5	Korrektur zur Energie	55
4.2.6	Korrektur zur Wellenfunktion	55
4.2.7	Korrekturen zum Hamiltonian	57
4.2.8	Der numerisch auszuwertende Anteil	62
4.2.9	Ergebnis des Niedrigenergie-Anteils	62
5	Die Selbstenergie des 2P-Zustands ($j=3/2$) zur sechsten Ordnung in Z_α	64
5.1	Der Hoch- und Niedrigenergie-Anteil	64
5.2	Endergebnis für den 2P-Zustand ($j = 3/2$)	64
6	Ergebnisse und Diskussion	65
6.1	Zusammenfassung der Ergebnisse	65
6.2	Überprüfung der Rechnung	65
6.3	Abschätzung höherer Koeffizienten	66
6.4	Neue Werte für die Lamb-Verschiebung	67
6.5	Diskussion der epsilon-fw-Methode	68
7	Ausblick	70
7.1	Anmerkung zum Vergleich mit dem Experiment	70
7.2	Hochpräzisions-Tests der QED	70

Kapitel 1

Einleitung

“Quantum Electrodynamics (QED) occupies a unique position in the hierarchy of theoretical physics. As the basic theory of the electromagnetic interaction, it provides the foundation for the quantum mechanics of atoms and molecules as well as condensed matter physics, not to mention their numerous applications in chemistry, biology, etc. At the same time, it is the first theory that has been applied successfully to high energy phenomena.”

T. Kinoshita in [5]

1.1 Die QED und die Lamb-Verschiebung

Die Quantenelektrodynamik beschreibt die Wechselwirkung des elektromagnetischen Feldes (des Lichtes) mit geladenen Teilchen. Ausgangspunkt für die Entwicklung der QED waren unter anderem experimentell nachgewiesene geringe Abweichungen von den Voraussagen der Diracschen Theorie des Wasserstoffatoms.

Es sei daher an dieser Stelle an die Diracsche Formel für die Energieniveaus des Wasserstoffatoms erinnert. Nach der Diracschen Theorie liegen die Niveaus der gebundenen Zustände gerade bei

$$E_{n,j} = m_e f(n, j) \quad (1.1)$$

mit

$$f(n, j) = \left(1 + \frac{(Z\alpha)^2}{(n - (j + 1/2) + \sqrt{(j + 1/2)^2 - (Z\alpha)^2})^2} \right)^{-1/2}. \quad (1.2)$$

Eine gute Möglichkeit, die Diracschen Energieniveaus genauer zu untersuchen, liegt in der Entwicklung der Formel 1.2 in eine Taylorreihe in der Feinstrukturkonstanten α . In erster Näherung gilt

$$E_{n,j} = m_e - (Z\alpha)^2 m_e / (2n^2) + O(\alpha^4), \quad (1.3)$$

d.h. bis zur Ordnung α^2 ist $E_{n,j}$ von j unabhängig. Wir erkennen hier die Schrödingersche Formel für die gebundenen Energieniveaus ($E_n^S = -\alpha^2 m_e / (2n^2)$). Zu den Schrödingerschen Niveaus ist im relativistischen Sinne gerade die Ruhenergie m_e des Elektrons addiert worden.

Zwischen den $2P_{1/2}$ und $2P_{3/2}$ -Niveaus liegt nach der Diracschen Theorie eine Energiedifferenz. In der Ordnung α^4 ist diese Differenz das Feinstrukturintervall

$$E_{2P_{3/2}} - E_{2P_{1/2}} = \text{Feinstrukturintervall} = \frac{\alpha^4 m_e}{32} + O(\alpha^6) \quad \text{für } Z = 1.$$

In Einheiten der Frequenz ergibt sich daraus eine Differenz von

$$E_{2P_{3/2}} - E_{2P_{1/2}} \approx 10949 \text{ MHz.}$$

Die in der Schrödingerschen Theorie vorhandene Entartung der $2P$ -Niveaus wird also in der Diracschen Theorie aufgehoben.

Andere Entartungen bleiben jedoch erhalten. So sind die Energieniveaus der Diracschen Theorie bei vorgegebenem Gesamtdrehimpuls j ($\vec{j} = \vec{l} + \vec{s}$) vom Bahndrehimpuls l und Spin s unabhängig. Daher sind zum Beispiel die $2S_{1/2}$ und $2P_{1/2}$ Niveaus in der Dirac-Theorie energetisch entartet, denn sie tragen beide die Hauptquantenzahl $n = 2$ und die Gesamtdrehimpuls-Quantenzahl $j = 1/2$. Es gilt also in der Dirac-Theorie

$$E_{2P_{1/2}} - E_{2S_{1/2}} = 0 \quad (\text{exakt})$$

und somit

$$E_{2P_{3/2}} - E_{2S_{1/2}} = E_{2P_{3/2}} - E_{2P_{1/2}} = \text{Feinstrukturintervall.}$$

W. Lamb und R. Retherford stellten jedoch 1947 in einer spektroskopischen Messung fest, daß zwischen dem $2P_{1/2}$ und dem $2S_{1/2}$ -Niveau im Widerspruch zur Diracschen Theorie ein Energieunterschied besteht [10]. Die Differenz beträgt nach einer verbesserten Messung von Triebwasser, Dayhoff und Lamb [11] aus dem Jahr 1953

$$E_{2S_{1/2}} - E_{2P_{1/2}} = 1057.8(1) \text{ MHz.}$$

Dieser Effekt wird heute als “klassische Lamb-Verschiebung” bezeichnet.

Die Laserspektroskopie ermöglicht heute spektroskopische Messungen an wasserstoffartigen Systemen mit einer relativen Genauigkeit von bis zu 10^{-12} [12]. Der angestrebte Vergleich mit den Voraussagen der Quantenelektrodynamik erfordert Berechnungen zur Lamb-Verschiebung in höherer Ordnung.

Im Falle des Wasserstoffs kommen die Hauptbeiträge zur Abweichung von der Diracschen Theorie durch quantenelektrodynamische Effekte zustande. Einerseits sind kleine Abweichungen vom Coulomb-Gesetz bei sehr kleinen Abständen dafür verantwortlich (Vakuumpolarisation), andererseits die Wechselwirkung des Elektrons mit dem virtuell vorhandenen eigenen Strahlungsfeld (Selbstenergie). Es gelang H. Bethe noch im Jahr der ersten Messung (1947), die Rechnungen zu den Hauptbeiträgen der Lamb-Verschiebung (Vakuumpolarisation und Selbstenergie) in erster nichtverschwindender Ordnung ($\alpha(Z\alpha)^4$) zu vervollständigen [8].

1.2 Beiträge zur Lamb-Verschiebung

Obwohl nicht alle Abweichungen von der Diracschen Theorie auf die Quantenelektrodynamik zurückzuführen sind, werden dennoch *alle* diese Abweichungen unter dem Begriff “Lamb-Verschiebung” zusammengefaßt. Die Quantenelektrodynamik (QED), die Struktur des Kerns (Protons) und die volle relativistische Behandlung des Wasserstoffs als Zweikörperproblem liefern außer der Vakuumpolarisation und Selbstenergie noch verschiedene andere Korrekturen zur Diracschen Theorie, die wir hier nach der Größe ihrer Beiträge zum Wasserstoffspektrum auflisten wollen:

- die Selbstenergie (self-energy),
- die Vakuumpolarisation (vacuum polarization),
- Rückstoßkorrekturen (recoil corrections),
- Strahlungs-Rückstoßkorrekturen (radiative recoil corrections),
- Zwei- und Drei-Schleifen-Korrekturen zur Selbstenergie (two- and three-loop corrections),
- Kerngrößenkorrektur (finite nuclear size effect).

Es sei hier der Klarheit halber erwähnt, daß die Lamb-Verschiebung für jeden Zustand des Wasserstoffatoms einzeln ausgewertet wird. Durch die Differenz der Verschiebungen der einzelnen Niveaus ergibt sich dann der Energieunterschied, der experimentell nachgewiesen wird.

Man spricht bei allen hier erwähnten Effekten von (quantenelektrodynamischen) Korrekturen zur Diracschen Theorie, weil die Effekte klein sind und daher störungstheoretisch behandelt werden können. Dies erleichtert die Rechnung bzw. macht die Auswertung der auftretenden Integrale überhaupt erst möglich.

1.3 Gegenstand der vorliegenden Arbeit

“Historically, the one-photon radiative corrections (with all orders of the Coulomb interaction) have been considered in most detail, and the work required to attain the present accuracy has extended over four decades.”

J. Sapirstein in [6]

Das Thema der vorliegenden Arbeit ist der Ein-Schleifen-Selbstenergiebeitrag zur Lamb-Verschiebung. Dieser Effekt kommt durch den Austausch eines virtuellen Photons zustande. Er stellt den Hauptbeitrag zur Lamb-Verschiebung in Wasserstoff dar. Es soll eine Methode (εfw-Methode) vorgestellt werden, mit der dieser Beitrag in höherer Ordnung analytisch berechnet werden kann (siehe Kapitel 3). Die Methode führt zu einer gewissen Vereinfachung des sogenannten Niedrigenergie-Anteils. Der Hauptbeitrag wird von den relativistischen Korrekturen getrennt, und die Rechnung kann in Teilbeiträge aufgespalten werden. Mit dieser Methode können fehlende Koeffizienten höherer Ordnung berechnet werden.

Die Methode wird in dieser Arbeit zur Berechnung der (Ein-Schleifen-) Selbstenergie der $2P$ -Zustände in der Ordnung $\alpha(Z\alpha)^6$ angewandt. Unter Vernachlässigung der (geringen) Abhängigkeit von der reduzierten Masse des Systems, die später mühelos wieder eingesetzt werden kann (siehe [6]), ist der Selbstenergiebeitrag zur Lamb-Verschiebung gegeben durch

$$\delta E_{\text{SE}} = \frac{\alpha}{\pi} m \frac{(Z\alpha)^4}{n^3} F,$$

wobei sich für den dimensionslosen F -Faktor die folgende Entwicklung in Potenzen von α ergibt

$$F = F(Z) = A_{40} + A_{41} \ln((Z\alpha)^{-2}) + A_{50}(Z\alpha) + (Z\alpha)^2 [A_{60} + A_{61} \ln((Z\alpha)^{-2}) + A_{62} \ln^2((Z\alpha)^{-2}) + O(Z\alpha)]. \quad (1.4)$$

Die erste Ziffer in den Indizes der Koeffizienten gibt die Potenz von $(Z\alpha)$ an, die zweite Ziffer die Potenz des Logarithmus. Für P -Zustände verschwinden einige der Koeffizienten, insbesondere gilt $A_{41} = A_{50} = A_{62} = 0$ [6]. Einige andere Koeffizienten sind für die $2P$ -Zustände bekannt,

$$A_{40}(2P_{1/2}) = -\frac{1}{6} - \frac{4}{3} \ln k_0(2P),$$

$$A_{61}(2P_{1/2}) = \frac{103}{180}$$

sowie

$$A_{40}(2P_{3/2}) = \frac{1}{12} - \frac{4}{3} \ln k_0(2P),$$

$$A_{61}(2P_{3/2}) = \frac{29}{90}$$

mit dem Bethe-Logarithmus [6]

$$\ln k_0(2P) = -0.0300167089(1).$$

Für die A_{60} -Koeffizienten der $2P$ -Zustände existierten bis jetzt keine genauen Werte. Es besteht jedoch eine Möglichkeit, die Werte dieser Koeffizienten mit Hilfe von numerischen Rechnungen abzuschätzen. Numerische Rechnungen existieren für $F(Z)$ lediglich für große Kernladungszahlen Z , d.h. für schwere wasserstoffartige Ionen. Für kleine Z konvergiert die numerische Rechnung sehr langsam. P. Mohr [14] konnte in seiner Arbeit trotz größeren Aufwands Ergebnisse nur für $Z \geq 5$ angeben. Durch eine Ausgleichsrechnung mit einer geeigneten Funktion und Extrapolation in den Bereich für kleine Z läßt sich dennoch eine Abschätzung für die A_{60} -Koeffizienten angeben. Die zur Ausgleichsrechnung benutzte Funktion lautet:

$$G_{\text{SE}}(Z) = A_{60} + (Z\alpha)A_{70}$$

Unter Vernachlässigung des für $Z = 1$ kleinen Beitrags

$$(Z\alpha)A_{70}$$

ist dann

$$G_{\text{SE}}(Z = 1) \approx A_{60}.$$

Die auf diese Art und Weise erhaltenen numerischen Resultate für A_{60} lauten:

$$A_{60}(2P_{1/2}) \approx G_{\text{SE}}(2P_{1/2}) = -0.8(3) \quad (1.5)$$

sowie

$$A_{60}(2P_{3/2}) \approx G_{\text{SE}}(2P_{1/2}) = -0.5(3). \quad (1.6)$$

In dieser Arbeit sollen alle Koeffizienten, die in der Ordnung $\alpha(Z\alpha)^6$ zur Lamb-Verschiebung beitragen, analytisch berechnet werden. Hierbei ist das Wort “analytisch” so zu verstehen, daß die Rechnung im Hochenergie-Anteil (siehe Abschnitt 3.7) vollkommen analytisch, im Niedrigenergie-Anteil (siehe Abschnitt 3.8) nur bis auf verbleibende eindimensionale Integrationen analytisch erfolgt. Diese (eindimensionalen) Integrationen konvergieren sehr schnell und können mit großer Genauigkeit ausgeführt werden, da die Integranden glatte Funktionen ohne Singularitäten sind (Verfahren: Gaußsche Quadratur).

Die Ergebnisse führen auf neue Werte für die Lamb-Verschiebung der $2P$ -Zustände und einen neuen Wert für die Feinstrukturaufspaltung. Wegen der Länge der Terme werden die meisten Zwischenschritte in den Rechnungen nicht explizit aufgelistet. Die Größe der Ausdrücke übersteigt bei den Integranden der Matrixelemente im Hochenergie-Anteil und bei den Zwischenschritten im Niedrigenergie-Anteil oft die Grenze von 1000 Termen. Selbst manche (Teil-) Ergebnisse sind so lang, daß nur deren Struktur (funktionale Abhängigkeiten) angegeben wird. Es werden statt einer expliziten Angabe der Zwischenergebnisse die entscheidenden konzeptuellen Schritte des Verfahrens dargestellt.

1.4 Motivation für die vorliegende Arbeit

Die Quantenelektrodynamik ist bereits experimentell sehr gut bestätigt. Experimentelle Überprüfungen der Quantenelektrodynamik haben besondere Bedeutung, denn die Theorie ist Modelltheorie für das Standardmodell. Da es nicht viele Wahlmöglichkeiten bei der Konstruktion renormierbarer Quantenfeldtheorien gibt, würde eine Abweichung von den Vorhersagen der QED zur Entwicklung neuer Theorien führen müssen.

Eine weitere Motivation für die aufwendigen Rechnungen ergibt sich aus der Präzision heutiger spektroskopischer Messungen. Die Genauigkeit der theoretischen Lamb-Verschiebung der S -Zustände wird heute durch die Ladungsverteilung im Atomkern (den quadratischen Kernradius) beschränkt. Es besteht also die Hoffnung, durch neue Rechnungen und Experimente einige Erkenntnisse über Eigenschaften der Elementarteilchen zu gewinnen.

Der in dieser Arbeit erhaltene genaue Wert für die Lamb-Verschiebung der $2P$ -Zustände kann zum Beispiel als Referenzpunkt zur Überprüfung der Messung der $2S$ -Lamb-Verschiebung dienen.

1.5 Computer-Algebra Systeme

Der Einsatz von Computer Algebra Programmen in der Theoretischen Physik hat es ermöglicht, umfangreiche Berechnungen mit vielen tausend Termen in den Zwischenschritten in viel kürzerer Zeit und sehr viel zuverlässiger als bisher durchzuführen. Symbolische Umformungen werden vom Rechner vorgenommen. Quantenfeldtheorien bieten sich als Anwendungsgebiet für computergestützte symbolische Rechnungen in gewisser Weise an, denn störungstheoretische Rechnungen werden in höheren Ordnungen recht umfangreich.

Auch in dieser Arbeit wird für die Berechnungen ein Computer Algebra System verwendet, das Programm *Mathematica* der Firma Wolfram Research. Dieses System zeichnet sich im Vergleich zu anderen Computer Algebra Systemen durch eine sehr flexible Programmiersprache aus, die sowohl regelbasierte wie auch prozedurale und funktionale Elemente enthält. Die Programmiersprache Mathematica ist auch objektorientiert: Mit den mathematischen Objekten können Regeln assoziiert werden. Auf diese Weise lassen sich zum Beispiel Integrationsregeln definieren, die auch Ausdrücke mit mehreren tausend Termen im Integranden zuverlässig und schnell integrieren. Mit diesem Programm können Matrixelemente der

Diracschen Wellenfunktion des $2P_{1/2}$ oder des $2P_{3/2}$ Zustands automatisiert berechnet werden. Dabei entstehen Integranden mit mehreren tausend Termen.

Es wurde ein weiteres Algebra-Programm verfaßt, welches Kommutatoren von Operatoren automatisch auswertet. Mit Hilfe dieses Programms wird die Foldy-Wouthuysen Transformation des Dirac-Hamiltonians automatisch ausgewertet (mit bekanntem Ergebnis, siehe [3]). Das Algebra-Programm wird verwendet, um die Foldy-Wouthuysen Transformation des Operators $\alpha^i e^{i\vec{k}\cdot\vec{r}} = \gamma^0 \gamma^i e^{i\vec{k}\cdot\vec{r}}$ auszuwerten (siehe Abschnitt 3.4). Das Ergebnis dieser Transformation ist neu und ein zusätzliches Resultat dieser Arbeit.

Kapitel 2

Theorie der Selbstenergie

2.1 Konventionen

Es folgt hier eine Liste der am häufigsten verwendeten Symbole und Konventionen.

- Es werden natürliche Einheiten verwandt, in denen $\hbar = c = 1$ ist und somit nur eine einzige physikalische Dimension verbleibt. Als verbleibende Dimension wählen wir in dieser Arbeit die Länge. Die Dimension der Länge wollen wir mit λ_e bezeichnen.
- Griechische Indizes durchlaufen die Werte von $0 \dots 3$, lateinische Indizes die Werte $1 \dots 3$.
- Indizes von kontravarianten Vektoren werden als Superskript plaziert. Zum Beispiel ist $k^0 = \omega$ die 0-te Komponente des Vierervektors k .
- Werden griechische oder lateinische Indizes wiederholt, so gilt die Summenkonvention, auch wenn beide Indizes oben oder beide unten stehen (Beispiel $\vec{\alpha} \cdot \vec{p} = \alpha^i p^i$). Die Summenkonvention wird *aufgehoben*, wenn der Index mit einem Strich versehen ist (zum Beispiel bei n' anstatt n).
- Die Spurbildung einer Matrix erfolgt vermittels der Tr-Operation.

2.2 Heaviside-Lorentz-Einheiten

Um von SI-Einheiten zu Heaviside-Lorentz-Einheiten zu gelangen, gehen wir aus vom Coulomb-Gesetz

$$F = k_0 \frac{q_1 q_2}{r^2} = \frac{1}{4\pi\epsilon_0} \frac{q_1 q_2}{r^2}$$

und wählen die Einheiten so, daß $\epsilon_0 = 1$ wird. Außerdem wählen wir die Einheiten der Länge und Zeit so, daß gerade $c = 1$ gilt (das heißt insbesondere, daß Länge und Zeit die gleiche physikalische Dimension besitzen). Wir wählen die Einheit der Energie so, daß auch $\hbar = 1$ ist. In Heaviside-Lorentz-Einheiten ist dann gerade

$$e^2 = \frac{e^2}{\epsilon_0 \hbar c} = 4\pi \frac{k_0 e^2}{\hbar c} = 4\pi\alpha$$

(weil $\epsilon_0 = \hbar = c = 1$). Die elektrische Ladung ist in diesen Einheiten eine dimensionslose Größe. Das anziehende Coulomb-Potential zwischen zwei Elementarladungen wird dann

$$V(\vec{r}) = -\frac{1}{4\pi\epsilon_0} \frac{e^2}{r} = -\frac{1}{4\pi\epsilon_0} \frac{4\pi\alpha}{r} = -\frac{\alpha}{r}.$$

Die erste Maxwell-Gleichung wird zu

$$\operatorname{div} \vec{E} = \frac{1}{\epsilon_0} \rho = \rho,$$

so daß sich die inhomogenen Maxwell-Gleichungen in diesen Einheiten als

$$\partial_\mu F^{\mu\nu} = j^\nu \tag{2.1}$$

schreiben.

2.3 Die Selbstenergiefunktion

Die Selbstenergie des Elektrons kommt durch die Wechselwirkung des Elektrons mit dem eigenen Strahlungsfeld zustande. Der quantenelektrodynamische Prozeß der Selbstwechselwirkung läßt sich durch das Aussenden und das Wiedereinfangen eines virtuellen Photons beschreiben. Zunächst wollen wir uns mit der Selbstenergiefunktion des freien Elektrons auseinandersetzen, die durch das Feynman-Diagramm 2.1 beschrieben ist. Im Falle eines gebundenen Elektrons müssen wir den “einfach durchgezogenen ”

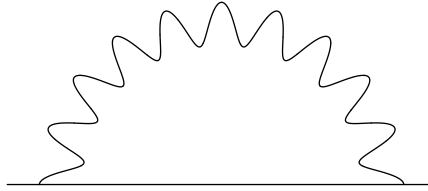


Abbildung 2.1: Selbstenergie des freien Elektrons

freien Feynman-Propagator durch den vollen Propagator des Elektrons, welches sich unter dem Einfluß des Zentralfeldes fortbewegt, ersetzen. Dies wird durch den Graphen 2.2 veranschaulicht, wobei die doppelt durchgezogene Linie den vollen Feynman-Propagator für das Elektron (unter dem Einfluß des Coulombfeldes) darstellt: Zunächst wird die Selbstenergie des freien Elektrons besprochen. Gemäß den

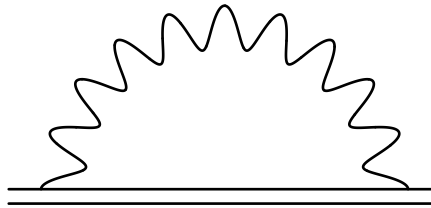


Abbildung 2.2: Selbstenergie des gebundenen Elektrons

Feynman-Regeln der QED ordnen wir diesem Graphen die folgende Amplitude zu. Wir schreiben

- $-ie\gamma^\mu$ bzw. $-ie\gamma^\nu$ für die zwei Vertizes,
- $iD_{\mu\nu}(k)$ für den Photonen-Propagator zwischen den Vertizes,
- $iS_F(p)$ für den Feynman-Propagator des Elektrons zwischen den Vertizes,

5 und wir integrieren über den freien unbeobachteten Parameter, den Vierer-Impuls des Photons k . Wir können die Modifikation des Feynman-Propagators durch die Ein-Schleifen-Korrektur, die wir mit $\Sigma(p)$ bezeichnen wollen, sofort hinschreiben [1]:

$$-i\Sigma(p) = \int \frac{d^4k}{(2\pi)^4} iD_{\mu\nu}(k) (-ie\gamma^\mu) iS_F(p) (-ie\gamma^\nu)$$

oder umgeformt:

$$\Sigma(p) = ie^2 \int \frac{d^4k}{(2\pi)^4} D_{\mu\nu}(k) \gamma^\mu S_F(p) \gamma^\nu. \quad (2.2)$$

Das Problem der “kleinen” Modifikation Σ zum Feynman-Propagator liegt nun darin, daß $\Sigma(p)$ unendlich groß ist. Eine Abzählung der k -Potenzen ergibt

$$\begin{aligned} d^4k &= dk O(k^3), \\ D_{\mu\nu}(k) &= O(k^{-2}), \\ S_F &= O(k^{-1}), \end{aligned}$$

daß das Integral 2.2 linear divergiert. Dieses Problem wird durch Renormierung und Regularisierung gelöst. Dazu wird der durch die Selbstwechselwirkung modifizierte Propagator des Elektrons

$$S_F^I = S_F + S_F \Sigma(p) S_F + S_F \Sigma(p) S_F \Sigma(p) S_F + \dots$$

genauer untersucht. Wir können diese Reihe formal aufsummieren zu:

$$S_F^I(p) = \frac{1}{\not{p} - m - \Sigma(p) + i\epsilon}. \quad (2.3)$$

Beachtet man, daß $S_F^I(p)$ auf Spinor-Wellenfunktionen wirkt, die zumindest näherungsweise auf der Massenschale liegen, so erscheint die folgende Reihenentwicklung um den Punkt $\not{p} = m$ sinnvoll:

$$\Sigma(p) = A + B(\not{p} - m) + \Sigma_{\text{ren}}(p)(\not{p} - m)^2.$$

Wir beachten, daß $\Sigma(p)$ und somit auch A , B und $\Sigma_{\text{ren}}(p)$ von der Ordnung α sind. Wir approximieren mit dieser Vorgabe $\Sigma(p)$ folgendermaßen (Terme in höherer Ordnung in α werden weggelassen):

$$\begin{aligned} S_F^I(p) &= \frac{1}{\not{p} - m - A - B(\not{p} - m) - (\not{p} - m)^2 \Sigma_{\text{ren}}(p)} \\ &\approx \frac{1}{(\not{p} - m - A)(1 - B)(1 - (\not{p} - m)\Sigma_{\text{ren}}(p))} \\ &\approx \frac{1 + B}{(\not{p} - m - A)(1 - (\not{p} - m)\Sigma_{\text{ren}}(p))} \\ &\approx \frac{(1 + B)(1 + (\not{p} - m)\Sigma_{\text{ren}}(p))}{\not{p} - m - A} \\ &\approx \frac{(1 + B)}{\not{p} - m - A}, \end{aligned} \quad (2.4)$$

wobei im letzten Schritt ausgenutzt wurde, daß wir uns in der Nähe der Massenschale $\not{p} = m$ befinden. Nun erfolgt die Renormierung. Die Konstante $1 + B$ wird in den Faktoren $-ie\gamma^\mu$ der Elektron-Vertizes, die an den Selbstenergiegraphen angrenzen, wie folgt absorbiert. Man definiert die Renormierungskonstante Z_2 als

$$Z_2 = 1 + B \quad (2.5)$$

und die physikalisch observable Ladung des Elektrons als

$$e'_R = Z_2 \sqrt{Z_3} e.$$

Die Z_2 -Renormierung ist also eine weitere Ladungsrenormierung zusätzlich zur Z_3 -Ladungsrenormierung (Vakuumpolarisation).

Das Elektron verhält sich unter dem Einfluß seines eigenen Strahlungsfeldes offenbar so, als hätte es die Gesamtmasse $m + A$. Da man aber den Einfluß dieses Strahlungsfeldes im Experiment nicht einfach abschalten kann, so muß man A als Massenrenormierung ansehen. Es ist also

$$A = \delta m.$$

Regularisiert man den Photonpropagator gemäß der Vorschrift von Pauli und Villars,

$$\frac{1}{k^2} \rightarrow \frac{1}{k^2} - \frac{1}{k^2 - M^2}, \quad (2.6)$$

so ergibt sich

$$\delta m = \alpha \frac{3m}{4\pi} \left[\ln \left(\frac{M^2}{m^2} \right) + \frac{1}{2} \right]. \quad (2.7)$$

Dieser Ausdruck ist einerseits von der Ordnung α , also "klein", andererseits ist er divergent in M , jedoch nur logarithmisch. Man absorbiert ihn in der renormierten Elektronenmasse.

Um die Renormierungskonstante B zu berechnen, müssen wir den Photonpropagator weiter modifizieren gemäß

$$\frac{1}{k^2} \rightarrow \frac{1}{k^2 - \mu^2} - \frac{1}{k^2 - M^2}, \quad (2.8)$$

wobei der ursprüngliche Propagator im Limes $\mu \rightarrow 0, M \rightarrow \infty$ erhalten wird. Wir erhalten dann

$$Z_2 = 1 + B = 1 - \frac{\alpha}{2\pi} \left[\frac{1}{2} \ln \left(\frac{M^2}{m^2} \right) + \ln \left(\frac{\mu^2}{m^2} \right) + \frac{9}{4} \right]. \quad (2.9)$$

Das Ergebnis für Z_2 ist sowohl für $\mu \rightarrow 0$ als auch für $M \rightarrow \infty$ logarithmisch divergent. Außerdem ist der Wert für Z_2 nicht eichinvariant und hängt von der fiktiven Elektronenmasse μ ab. Wir werden aber im nächsten Abschnitt sehen, daß sich die nicht eichinvariante Z_2 -Renormierung der Selbstenergie gerade mit der ebenfalls nicht eichinvarianten Z_1 -Renormierung der Vertexkorrektur weghebt und daher die Theorie konsistent bleibt.

Die renormierte Selbstenergiefunktion ergibt sich dann als

$$\Sigma_{\text{ren}}(p) = \Sigma(p) - \delta m - (Z_2 - 1)(\not{p} - m). \quad (2.10)$$

2.4 Die Vertexfunktion

Durch die Selbstwechselwirkung eines Teilchens mit seinem eigenen Strahlungsfeld verändert sich die Amplitude, die einem Wechselwirkungs-Vertex zugeordnet wird (Vertexkorrektur). Das entsprechende Feynman-Diagramm ist gegeben durch Abb. 2.3. Wir müssen daher

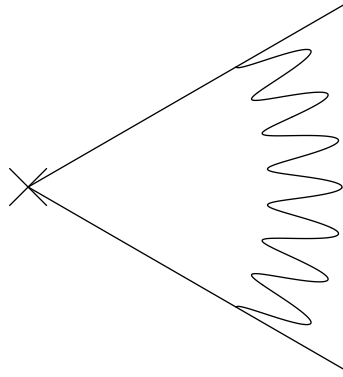


Abbildung 2.3: Vertexkorrektur

$$-ie\gamma_\mu \rightarrow -ie\gamma_\mu - ie\Gamma_\mu(p, p') \quad (2.11)$$

ersetzen. Dabei sind p und p' die Viererimpulse des Elektrons vor bzw. nach der Wechselwirkung. Für die Vertexfunktion Γ_μ kann mit den Feynman-Regeln leicht der folgende Ausdruck abgeleitet werden [1]:

$$\Gamma_\mu(p, p') = -ie^2 \int \frac{d^4 k}{(2\pi)^4} \frac{1}{k^2} (\gamma^\nu \frac{1}{\not{p}' - \not{k} - m} \gamma_\mu \frac{1}{\not{p} - \not{k} - m} \gamma_\nu). \quad (2.12)$$

Auch die Vertexfunktion Γ_μ muß renormiert werden, denn eine Abzählung der k -Potenzen im Integranden ergibt eine logarithmische Divergenz des Integrals für Γ_μ . Aus der Entwicklung des Propagators

$$\frac{1}{\not{p}' - \not{k} - m} = \frac{1}{\not{p}' - \not{k} - m + (\not{p}' - \not{p})} \quad (2.13)$$

$$= \frac{1}{\not{p}' - \not{k} - m} - \frac{1}{\not{p}' - \not{k} - m} (\not{p}' - \not{p}) \frac{1}{\not{p}' - \not{k} - m} \quad (2.14)$$

ergibt sich unter Abzählung der k -Potenzen der (divergente) Hauptbeitrag zur Vertexfunktion gerade für

$$p' = p.$$

Daher kann Γ_μ geschrieben werden als

$$\Gamma_\mu(p', p) = \Gamma_\mu(p, p) + \Gamma_\mu^R(p', p) \quad (2.15)$$

mit der renormierten Vertexfunktion $\Gamma_\mu^R(p', p)$. Man kann nachweisen, daß der divergente Anteil der Vertexfunktion Γ_μ gerade proportional zu γ_μ ist:

$$\Gamma_\mu(p, p) = \gamma_\mu L \quad (2.16)$$

Daher muß eine weitere Ladungsrenormierung gemäß

$$-ie\gamma_\mu \rightarrow -ie\gamma_\mu - ie\gamma_\mu L - ie\Gamma_\mu^R(p, p') = -ie(1 + L)\Gamma_\mu^R(p, p') \quad (2.17)$$

vorgenommen werden, so daß sich die dreifach renormierte Elektronladung zu

$$e''_R = Z_1^{-1} e'_R \quad (2.18)$$

ergibt mit

$$Z_1^{-1} = 1 + L \quad \text{oder} \quad Z_1 = 1 - L \quad (2.19)$$

(in niedrigster Ordnung in α) und

$$e'_R = Z_2 \sqrt{Z_3} e \quad (2.20)$$

(Z_2 -Renormierung aufgrund der Selbstenergie, Z_3 -Renormierung aufgrund der Vakuumpolarisation). Mit der Ward-Identität

$$\Gamma_\mu(p, p) = -\frac{\partial \Sigma(p)}{\partial p^\mu} \quad (2.21)$$

wird unter Ausnutzung der Entwicklung von $\Sigma(p)$ in Potenzen von $(\not{p} - m)$

$$\Sigma(p) = A + B(\not{p} - m) + O((\not{p} - m)^2)$$

die wichtige Beziehung

$$L\gamma_\mu = \Gamma_\mu(p, p) = -\frac{\partial \Sigma(p)}{\partial p^\mu} = -B\gamma_\mu + O(\not{p} - m) \quad (2.22)$$

und somit

$$L = -B \quad (2.23)$$

hergeleitet. Daraus folgt, daß sich der bei der Z_2 -Renormierung zur Elektronladung addierte Anteil und der bei der Vertexkorrektur-Renormierung addierte Term gerade herausheben:

$$e''_R = (1 + L + B)\sqrt{Z_3}e = (1 + (L - L))e = \sqrt{Z_3}e. \quad (2.24)$$

Die nicht eichinvarianten Z_1 - und Z_2 -Renormierungen der Elektronladung heben sich gegenseitig auf.

2.5 Die Selbstenergie in einem gebundenen Zustand

Der aufgrund der Selbstenergie modifizierte Feynman-Propagator ist

$$S_F^I = S_F + S_F \Sigma_{\text{ren}} S_F + S_F \Sigma_{\text{ren}} S_F \Sigma_{\text{ren}} S_F + \dots \quad (2.25)$$

(das Superskript I bei S_F^I soll andeuten, daß hier die Interaktion mit dem eigenen Strahlungsfeld berücksichtigt wurde).

Der Feynman-Propagator für die Dirac-Gleichung lautet im Ortsraum, nach der Zeit fouriertransformiert:

$$S_F(\vec{r}_1, \vec{r}_2, E) = \sum_n \frac{\psi_n(\vec{r}_1) \bar{\psi}_n(\vec{r}_2)}{E - E_n(1 - i\epsilon)}. \quad (2.26)$$

Dabei erstreckt sich die verallgemeinerte Summe sowohl über den diskreten Teil des Spektrums (normale Summation) wie auch über den kontinuierlichen Teil des Spektrums (Integration). Für diese verallgemeinerten Summen hat J. Schwinger das \mathbf{S} -Symbol eingeführt.

Die Pole des Propagators liegen gerade bei den Energie-Eigenwerten E_n der Dirac Gleichung. Berücksichtigt man die leichte Modifikation des Propagators durch Σ_{ren} , so verschieben sich die Pole geringfügig. Die neuen Positionen $\tilde{E}_n = E_n + \sigma_n(E_n)$ entsprechen dann den durch die Selbstenergie verschobenen Energieniveaus. Wir beobachten (über n wird nicht summiert!)

$$\begin{aligned} \langle \bar{\psi}_n | \gamma^0 S_F \gamma^0 | \psi_n \rangle &= \int d^3 r_1 \int d^3 r_2 \mathbf{S}_m \psi_n^\dagger(\vec{r}_1) \psi_m(\vec{r}_2) \psi_m^\dagger(\vec{r}_2) \psi_n(\vec{r}_2) \\ &= \mathbf{S}_m \delta_{nm} \delta_{mn} \frac{1}{E - E_m} \\ &= \frac{1}{E - E_n} \end{aligned} \quad (2.27)$$

und

$$\begin{aligned} \langle \bar{\psi}_n | \gamma^0 S_F \Sigma_{\text{ren}} S_F \gamma^0 | \psi_n \rangle &= \langle \bar{\psi}_n | \gamma^0 S_F \gamma^0 \gamma^0 \Sigma_{\text{ren}} S_F \gamma^0 | \psi_n \rangle \\ &= \mathbf{S}_m \mathbf{S}_l \langle \bar{\psi}_n | \gamma^0 S_F \gamma^0 | \psi_l \rangle \langle \bar{\psi}_l | \Sigma_{\text{ren}} | \psi_m \rangle \langle \psi_m | S_F \gamma^0 | \psi_n \rangle \\ &= \mathbf{S}_m \mathbf{S}_l \frac{1}{E - E_n} \delta_{nl} \langle \bar{\psi}_l | \Sigma_{\text{ren}} | \psi_m \rangle \frac{1}{E - E_m} \delta_{mn} = \\ &= \frac{\langle \bar{\psi}_n | \Sigma_{\text{ren}} | \psi_n \rangle}{(E - E_n)^2}. \end{aligned} \quad (2.28)$$

Daher ist in erster Ordnung

$$\langle \psi_n | S_F^I | \psi_n \rangle = \frac{1}{E - E_n} + \frac{\langle \bar{\psi}_n | \Sigma_{\text{ren}} | \psi_n \rangle}{(E - E_n)^2} + \dots = \frac{1}{E - E_n - \langle \bar{\psi}_n | \Sigma_{\text{ren}} | \psi_n \rangle}, \quad (2.29)$$

und man kann in erster Ordnung die Energieverschiebung aufgrund der Selbstenergie als

$$\delta E_{\text{SE}} = \langle \bar{\psi}_n | \Sigma_{\text{ren}} | \psi_n \rangle \quad (2.30)$$

ansetzen.

Aus dieser Gleichung für die Energieverschiebung eines gebundenen Zustands und der Gleichung 2.2 für die Selbstenergiefunktion ergibt sich der Selbstenergiebeitrag zur Lamb-Verschiebung im Zustand $|\psi\rangle$ als

$$\begin{aligned} \delta E_{\text{SE}} &= \langle \bar{\psi} | ie^2 \int \frac{d^4 k}{(2\pi)^4} D_{\mu\nu}(k) \gamma^\mu S_F^V(p) \gamma^\nu - \text{Ren} | \psi \rangle \\ &= ie^2 \int \frac{d^4 k}{(2\pi)^4} D_{\mu\nu}(k) \langle \bar{\psi} | \gamma^\mu S_F^V(p) \gamma^\nu | \psi \rangle - \langle \bar{\psi} | \text{Ren} | \psi \rangle, \end{aligned} \quad (2.31)$$

wobei

$$S_F^V = \frac{1}{\not{p} - \not{k} - m - \gamma^0 V} \quad (2.32)$$

den durch das Coulombpotential zusätzlich modifizierten Feynman-Propagator darstellt. Dieser Propagator wird auch als Dirac-Coulomb-Propagator bezeichnet.

Ren steht in 2.31 für all diejenigen Ausdrücke, die bei der Renormierung abgezogen werden müssen.

2.6 Renormierung der Selbstenergie

Bei der Renormierung der Selbstenergiefunktion $\Sigma(p)$ traten sowohl die Elektron-Renormierung Z_2 als auch die Massenrenormierung δm auf. Die Gleichungen 2.7 und 2.9 für die Elektron-Renormierung Z_2 und die Massenrenormierung δm waren erhalten worden, indem zunächst das Integral für $\Sigma(p)$ vor der Integration regularisiert wurde. Das Ergebnis sind dann die logarithmisch divergenten Massenrenormierungs und Elektronrenormierungskonstanten. Es wurde dabei folgende Reihenfolge eingehalten: Regularisierung, Integration, Renormierung.

In praktischen Rechnungen ist es jedoch häufig günstiger, zunächst einen divergenten Ausdruck für einen Prozeß zu berechnen und dann vom Integranden Terme abzuziehen, die den Renormierungen entsprechen. Schließlich regularisiert man den Integranden und integriert. Reihenfolge hierbei: Renormierung, Regularisierung, Integration. Diese Reihenfolge wollen wir auch in dieser Arbeit einhalten und überlegen, welchen Ausdruck wir in diesem Fall vom Integranden abziehen müssen.

Eine Renormierung und Regularisierung der Selbstenergie des Elektrons in einem gebundenen Zustand

$$\delta E_{SE} = \langle \bar{\psi} | \Sigma(p) | \psi \rangle \quad (2.33)$$

ist nur für hohe Energien des ausgetauschten virtuellen Photons (im ultravioletten Limes) notwendig. Die Selbstenergiefunktion des gebundenen Elektrons wird durch das elektrostatische Zentralkraftfelds modifiziert, denn der freie Propagator für das Elektron muß durch

$$\frac{1}{\not{p} - \not{k} - m} \rightarrow \frac{1}{\not{p} - \not{k} - m - \gamma^0 V}$$

ersetzt werden. Für den Hochenergie-Anteil der Selbstenergie (“ultravioletter Anteil”) wählen wir die Feynman-Eichung des Photonpropagators. Wir schreiben diesen Anteil, den wir mit E_H bezeichnen wollen, folgendermaßen auf:

$$E_H = -ie^2 \int \frac{d^4 k}{(2\pi)^4} \left(\frac{1}{k^2} - \frac{1}{k^2 - M^2} \right) \langle \bar{\psi} | \gamma^\mu \frac{1}{\not{p} - \not{k} - m - \gamma^0 V} \gamma_\mu | \psi \rangle - \langle \bar{\psi} | \text{Ren} | \psi \rangle. \quad (2.34)$$

Wir legen uns hierbei nicht fest, über welchen Bereich sich die Integration erstreckt. Dieser Punkt wird im Abschnitt über den Hochenergie-Anteil in Kapitel 3.7 näher besprochen. In der Formel für E_H stehen für diejenigen Ausdrücke, die bei der Renormierung der Selbstenergie abgezogen werden müssen.

Wir definieren das Matricelement

$$\tilde{P} = \langle \bar{\psi} | \gamma^\mu \frac{1}{\not{p} - \not{k} - m - \gamma^0 V} \gamma_\mu | \psi \rangle.$$

Außerdem führen wir für den Nenner im Feynman-Propagator die Abkürzung

$$D = \not{p} - \not{k} - m \quad (2.35)$$

ein.

Für hohe Energien ω des virtuellen Photons ist es möglich und sinnvoll, den Dirac-Coulomb-Propagator in Potenzen des Potentials V zu entwickeln. Dabei wird ausgenutzt, daß für gebundene Zustände im Coulombpotential $V = -\frac{\alpha}{r}$ von der Ordnung α^2 ist (r als Abstand vom Kern ist von der Ordnung $a_{Bohr} = 1/(\alpha m)$).

Die Entwicklung des Dirac-Coulomb-Propagators geschieht mit Hilfe der Formel

$$\frac{1}{X - Y} = \frac{1}{X} + \frac{1}{X} Y \frac{1}{X} + \frac{1}{X} Y \frac{1}{X} Y \frac{1}{X} + \dots$$

Wir setzen $X = \not{p} - \not{k} - m = D$ und $Y = \gamma^0 V$ und erhalten als Resultat der Entwicklung 4 Terme, den

0-Vertex, 1-Vertex, 2-Vertex und 3-Vertex-Anteil.

$$\begin{aligned}
\frac{1}{\not{p} - \not{k} - \gamma^0 V - m} &= \frac{1}{D - \gamma^0 V} & (2.36) \\
&= \frac{1}{D} + \\
&\quad \frac{1}{D} \gamma^0 V \frac{1}{D} + \\
&\quad \frac{1}{D} \gamma^0 V \frac{1}{D} \gamma^0 V \frac{1}{D} + \\
&\quad \frac{1}{D} \gamma^0 V \frac{1}{D} \gamma^0 V \frac{1}{D} \gamma^0 V \frac{1}{D} + \\
&\quad O(V^4)
\end{aligned}$$

Höhere Terme tragen nicht bei, da V^3 bereits von der Ordnung α^6 ist und wir nur bis zu dieser Ordnung rechnen wollen.

Diese Entwicklung entspricht einer Aufgliederung der Selbstenergie des gebundenen Elektrons in die Summe aus 4 einzelnen Feynman-Diagrammen gemäß der folgenden Abb. 2.4 Der erste dieser Graphen

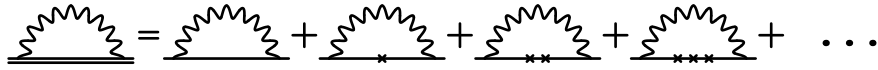


Abbildung 2.4: Entwicklung der Selbstenergie in Termen des Coulombfeldes

(der 0-Vertex-Anteil) entspricht gerade der Selbstenergie des freien Elektrons, der zweite dieser Graphen (der 1-Vertex-Anteil) gerade der Vertexkorrektur zur einfachen Interaktion des Elektrons am Coulombfeld. Die weiteren Graphen aus Abbildung 2.4 tragen keine Divergenzen, wie eine Abzählung der k -Potenzen ergibt.

Daher müssen wir bei der Renormierung der Gesamt-Selbstenergie sowohl die Renormierungen aufgrund des 0-Vertex-Anteils wie auch aufgrund des 1-Vertex-Anteils miteinbeziehen.

Zunächst wird der 0-Vertex-Anteil behandelt, in welchem wir mit dem Propagator des freien Elektrons rechnen. Für unsere Rechnungen benötigen wir eine Integraldarstellung des Massen-Gegenterms. Als Ansatz wählen wir

$$\delta m = -ie^2 \int \frac{d^4 k}{(2\pi)^4} \left[\frac{1}{k^2} - \frac{1}{k^2 - M^2} \right] \frac{2(m + \omega)}{k^2 - 2m\omega}. \quad (2.37)$$

Die Gültigkeit dieser Darstellung sollte explizit nachgewiesen werden. Man kann den Ausdruck 2.37 explizit berechnen und erhält als Ergebnis Gl. 2.7. Im folgenden soll ein Überblick über die wichtigsten Rechenricks gegeben werden, die zur direkten Berechnung des Ausdrucks 2.37 angewandt werden. In der Rechnung wird zweckmäßig zu Hilfsvariablen α_1 und α_2 übergegangen, die gemäß

$$\frac{1}{k^2 + i\epsilon} = -i \int_0^\infty d\alpha_1 \exp(i\alpha_1(k^2 + i\epsilon))$$

und

$$\frac{1}{k^2 - 2m\omega} = -i \int_0^\infty d\alpha_1 \exp(i\alpha_1(k^2 - 2mk \cdot t))$$

eingeführt werden mit dem zeitartigen Einheitsvektor t

$$t = (1, 0, 0, 0).$$

Der Faktor ω kann als

$$\omega = -i \frac{\partial}{\partial z^0} \Big|_{z=0} \exp(iz \cdot k)$$

geschrieben werden. Mit der verallgemeinerten Gaußschen Integralformel

$$\int \frac{d^4 k}{(2\pi)^4} \exp(i(ak^2 + b \cdot k)) = \frac{-i}{(4\pi)^2 a^2} \exp(-ib^2/(4a))$$

kann dann die 4-dimensionale k -Integration ausgeführt werden. Dabei ist natürlich der Photonpropagator gemäß Pauli-Villars zu regularisieren. Das Ergebnis der Integration ist

$$\delta m = \alpha \frac{3m}{4\pi} \left[\ln \left(\frac{M^2}{m^2} \right) + \frac{1}{2} \right].$$

Der Abzug des Massen-Gegenterms nach der Integration ist also äquivalent der Subtraktion des Ausdrucks 2.37 vor der Integration.

Es ist eine Besonderheit für gebundene Zustände, daß der mit der Elektronrenormierung Z_2 verbundene Term nicht beiträgt und auch nicht abgezogen zu werden braucht. Unter Vernachlässigung des Massen-Gegenterms ist der divergente Anteil des 0-Vertex-Diagramms

$$D_0 = \langle \bar{\psi} | B(\not{p} - m) | \psi \rangle \quad (2.38)$$

mit

$$B = Z_2 - 1.$$

Der divergente Beitrag aufgrund des 1-Vertex-Anteils ist, da zwischen den Feynman-Propagatoren gerade der Ausdruck $\gamma^0 V$ steht, gegeben durch

$$D_1 = \langle \bar{\psi} | \Gamma^0(p, p) V | \psi \rangle \quad (2.39)$$

mit

$$\Gamma^0(p, p) = L \gamma^0 \quad (2.40)$$

und somit

$$D_1 = \langle \bar{\psi} | \gamma^0 L V | \psi \rangle \quad (2.41)$$

mit $L = Z_1^{-1} - 1$. Mit der Ward-Identität

$$\Gamma_\mu(p, p) = -\frac{\partial}{\partial p^\mu} \Sigma(p)$$

läßt sich nun (siehe Abschnitt 2.4) die Beziehung 2.23

$$L = -B$$

zeigen. Daher gilt:

$$\begin{aligned} D_0 + D_1 &= \langle \bar{\psi} | B(\not{p} - m) | \psi \rangle + \langle \bar{\psi} | \gamma^0 L V | \psi \rangle = \\ &= \langle \bar{\psi} | (Z_2 - 1)(\not{p} - m - \gamma^0 V) | \psi \rangle = 0, \end{aligned} \quad (2.42)$$

weil $|\psi\rangle$ die Dirac-Gleichung mit Feld

$$(\not{p} - m - \gamma^0 V) |\psi\rangle = 0$$

erfüllt. Es ist daher lediglich nötig, den Massen-Gegenterm δm abzuziehen, und es ergibt sich in Feynman-Eichung:

$$E_H = -ie^2 \int \frac{d^4 k}{(2\pi)^4} \frac{1}{k^2} \langle \bar{\psi} | \gamma^\mu \frac{1}{\not{p} - \not{k} - m - \gamma^0 V} \gamma_\mu | \psi \rangle - \langle \bar{\psi} | \delta m | \psi \rangle. \quad (2.43)$$

Kapitel 3

Die epsilon-fw-Methode

3.1 Allgemeines

Die Rechenmethode für die Selbstenergie ist eine modifizierte Version der in [19] angewandten Rechenmethode (ϵ -Methode). Die Methode stützt sich auf eine Trennung der Rechnung in einen Hoch- und einen Niedrigenergieanteil (in Bezug auf die Energie des virtuellen Photons). Diese Aufteilung war bereits Gegenstand der ursprünglichen Rechnungen zur Selbstenergie gebundener Zustände. H. Bethe berechnete in [8] den Niedrigenergie-Anteil für die Selbstenergie in der Ordnung $\alpha(Z\alpha)^4$. Die hier vorgestellte Rechnung geht zwei Ordnungen in $Z\alpha$ höher. Das bedeutet, daß in der Wellenfunktion und im Propagator relativistische Korrekturen zu der Betheschen Rechnung mitgenommen werden müssen.

Die ϵ -Methode wird in dieser Arbeit modifiziert. Im Niedrigenergie-Anteil wird eine Foldy-Wouthuysen-(FW)-Transformation eingeführt. Dadurch erfolgt eine klare Trennung des Hauptbeitrages von den relativistischen Korrekturen. Außerdem kann mit dem nichtrelativistischen Propagator für das gebundene Elektron gerechnet werden. Der nichtrelativistische Propagator ist in geschlossener Form sowohl im Ortsraum wie auch im Impulsraum bekannt. Die Rechnung läßt sich aufgrund der FW-Transformation in Einzelschritte aufspalten, die nacheinander abgearbeitet werden können. Dadurch wird eine zusätzliche Vereinfachung erzielt (die Ausdrücke in den Zwischenschritten übersteigen nur sehr selten die Grenze von 1000 Termen). Im Hochenergie-Anteil wird die Rechnung fast vollständig computergestützt ausgeführt. Zunächst wird in Potenzen des Potentials V und des Impulsoperators \vec{p} (und damit in $(Z\alpha)$) entwickelt. Die dabei entstehenden Terme enthalten Matrixelemente mit der Diracschen Wellenfunktion $|\psi\rangle$. Die Matrixelemente werden mit symbolischen Programmen zur beschleunigten Berechnung von Integralen ausgewertet (wobei hier die Grenze von 1000 Termen im Integranden oft überschritten wird). Als Name für diese computer-unterstützte Foldy-Wouthuysen- ϵ -Methode wird “ ϵ fw-Methode” vorgeschlagen.

3.2 Einige Definitionen

Zunächst sei an die 4 γ -Matrizen γ^μ ($\mu = 0, 1, 2, 3$) mit ihren Kommutatorbeziehungen

$$\{\gamma^\mu, \gamma^\nu\} = 2g^{\mu\nu} \quad (3.1)$$

erinnert. Wir verwenden für diese 4×4 -Matrizen die Dirac-Darstellung,

$$\gamma^0 = \begin{pmatrix} 1 & 0 \\ 0 & -1 \end{pmatrix} \quad \text{sowie} \quad \vec{\gamma} = \begin{pmatrix} 0 & \vec{\sigma} \\ -\vec{\sigma} & 0 \end{pmatrix}. \quad (3.2)$$

Für die γ^5 -Matrix verwenden wir die Konvention

$$\gamma^5 = \gamma^0\gamma^1\gamma^2\gamma^3. \quad (3.3)$$

Wir wollen eine Matrix (einen Operator) als *gerade* definieren, wenn er von der Form

$$\mathcal{E} = \begin{pmatrix} A & 0 \\ 0 & B \end{pmatrix} \quad (3.4)$$

ist (mit 2×2 -Matrizen A und B), d. h. wenn er in einer Bispinor-Darstellung Diagonalgestalt hat. Wir wollen eine Matrix (den Operator) *ungerade* nennen, falls er von der Form

$$\mathcal{O} = \begin{pmatrix} 0 & A \\ B & 0 \end{pmatrix} \quad (3.5)$$

ist. Es sind zum Beispiel die α^i -Matrizen mit

$$\alpha^i = \gamma^0 \gamma^i = \begin{pmatrix} 0 & \vec{\sigma} \\ \vec{\sigma} & 0 \end{pmatrix} \quad (3.6)$$

ungerade (die α -Matrizen sind nicht mit der Feinstrukturkonstanten α zu verwechseln). Auch $\vec{\alpha} \cdot \vec{p} = \alpha^i p^i$ ist ein ungerader Operator. Demgegenüber ist zum Beispiel die γ^0 -Matrix gerade.

Nun zur Nomenklatur. Wir wollen den Schrödinger-Hamiltonian für das Wasserstoffatom definieren als

$$H_S = \frac{\vec{p}^2}{2m} + V. \quad (3.7)$$

Er wirkt auf dem Raum der komplexwertigen Wellenfunktionen. Der Dirac-Hamiltonian

$$H_D = \vec{\alpha} \cdot \vec{p} + \beta m + V \quad (3.8)$$

wirkt auf dem Raum der 4-komponentigen Dirac-Spinoren. Nun sei zur Klarheit darauf hingewiesen, daß wir bezüglich der Entwicklung in α für gebundene Zustände

$$\vec{\alpha} = O(\alpha) \quad (3.9)$$

$$\vec{p} = O(\alpha) \quad (3.10)$$

$$\beta m = O(1) \quad (3.11)$$

$$V = O(\alpha^2) \quad (3.12)$$

$$|\vec{k}| = O(\alpha^2) \quad (3.13)$$

ansehen können. Für das Potential V zum Beispiel ergibt sich die Begründung folgendermaßen: r als Abstand vom Kern ist von der Ordnung $a_{\text{Bohr}} = 1/(\alpha m)$, und wir beziehen uns in dieser Arbeit auf die Massenskala des Elektrons m . Daher führen wir den Parameter ρ mit

$$\rho = \frac{r}{a_{\text{Bohr}}} = \alpha m r \quad (3.14)$$

ein und erhalten

$$V = -\frac{\alpha}{r} = -\frac{\alpha^2 m}{\rho}$$

(siehe das Buch Bethe und Salpeter, [9]).

3.3 Die gamma-Matrizen

In dieser Arbeit werden häufig die 16 Γ -Matrizen verwendet, die eine Basis der 4×4 -Matrizen bilden. Es sind dies (siehe zum Beispiel [2], Seite 54):

$$\Gamma^0 = I \quad (3.15)$$

$$\Gamma^{1\dots 4} = \gamma^\mu \quad (3.16)$$

$$\Gamma^{5\dots 7} = i\gamma^0\gamma^i = i\alpha^i \quad (3.17)$$

$$\Gamma^{8\dots 10} = \frac{i}{2}\epsilon^{ijk}\gamma^j\gamma^k = \Sigma^i \quad (3.18)$$

$$\Gamma^{11\dots 14} = \gamma^5\gamma^\mu \quad (3.19)$$

$$\Gamma^{15} = \gamma^5 \quad (3.20)$$

Diese 16 Matrizen werden als Γ^α -Matrizen bezeichnet, wobei der Index α von $0 \dots 15$ läuft. Die Γ_α Matrizen ergeben sich durch Anwenden der Metrik $g_{\mu\nu}$ auf die γ -Matrizen, aus denen die Γ -Matrix konstruiert ist. Zum Beispiel ist $\Gamma_0 = \Gamma^0$ und $\Gamma_5 = -\Gamma^5$. Auf den 4×4 -Matrizen kann mit Hilfe der Spur ein Skalarprodukt konstruiert werden,

$$\langle A, B \rangle = \sum_\alpha \left(\frac{1}{4} \text{Tr}(\Gamma_\alpha A) \right)^* \left(\frac{1}{4} \text{Tr}(\Gamma_\alpha B) \right). \quad (3.21)$$

Mit der Beziehung

$$\text{Tr}(\Gamma_\alpha \Gamma^\beta) = 4\delta^{\alpha\beta} \quad (3.22)$$

rechnet man leicht nach, daß die Γ -Matrizen eine Orthonormalbasis bezüglich des oben definierten Skalarprodukts bilden:

$$\langle \Gamma^\alpha, \Gamma^\beta \rangle = \delta^{\alpha\beta}. \quad (3.23)$$

Das bedeutet aber, daß jede 4×4 Matrix A in den Γ -Matrizen entwickelt werden kann,

$$A = \sum_\beta \Gamma^\beta \langle \Gamma^\beta, A \rangle = \sum_\beta \Gamma^\beta \left(\frac{1}{4} \text{Tr}(\Gamma_\beta A) \right). \quad (3.24)$$

Diese Beziehung ist zum Beispiel im Buch von Itzykson und Zuber (siehe [2]) zu finden. Die Entwicklung in die Γ -Matrizen kann auf ein Skalarprodukt vermittels der Spurbildung zurückgeführt werden. Für die Berechnung der Spuren $\text{Tr}(\Gamma_\beta M_i)$ wird ein symbolisches Programm verwendet [26].

3.4 Die Foldy-Wouthuysen-Transformation

Wir wollen an das allgemeine Prinzip erinnern, auf dem die Foldy-Wouthuysen-(FW)-Transformation beruht. Gegeben sei ein Hamiltonian für Spinoren ,

$$H = \mathcal{O} + \mathcal{E} + \beta m, \quad (3.25)$$

mit \mathcal{O} als ungeradem Operator und \mathcal{E} als geradem Operator (so kann zum Beispiel im Dirac-Hamiltonian $\mathcal{O} = \vec{\alpha} \cdot \vec{p}$ und $\mathcal{E} = V$ identifiziert werden). H ist hermitesch und somit auch \mathcal{O} und \mathcal{E} :

$$\mathcal{O}^+ = \mathcal{O} \quad \text{und} \quad \mathcal{E}^+ = \mathcal{E}. \quad (3.26)$$

Wir haben aufgrund der expliziten Gestalt der Matrix γ^0 die Eigenschaft

$$\{\beta, \mathcal{O}\} = 0 \quad \text{oder} \quad \beta\mathcal{O} = -\mathcal{O}\beta. \quad (3.27)$$

Zusätzlich sei H nicht explizit zeitabhängig, d. h.

$$\frac{\partial H}{\partial t} = 0. \quad (3.28)$$

Da H nicht zeitabhängig ist, transformiert sich die ‘‘Schrödingergleichung’’

$$i\frac{\partial |\psi\rangle}{\partial t} = H|\psi\rangle \quad (3.29)$$

unter unitären Transformationen U wie

$$i\frac{\partial U|\psi\rangle}{\partial t} = UHU^+(U|\psi\rangle) \quad \text{falls} \quad \frac{\partial U}{\partial t} = 0. \quad (3.30)$$

Dies können wir auch so auffassen, als würde der transformierte Hamiltonian $H' = UHU^+$ auf die transformierte Wellenfunktion $\psi' = U\psi$ wirken.

Es können folgende Aussagen gezeigt werden.

1. Der durch

$$U = e^{iS} \quad \text{mit} \quad S = -i\beta \frac{\mathcal{O}}{2m} \quad (3.31)$$

gegebene Operator ist unitär.

2. Im transformierten Hamiltonian

$$H' = U H U^+ \quad (3.32)$$

verschwinden ungerade Operatoren in niedrigster Ordnung in α .

Für die Unitarität von U reicht es zu zeigen, daß S hermitesch ist. Denn dann ist

$$U^+U = e^{-iS^+} e^{iS} = 1. \quad (3.33)$$

Die Hermitezität von S rechnet man leicht nach:

$$S^+ = i\frac{\mathcal{O}^+}{2m}\beta^+ = i\frac{\mathcal{O}}{2m}\beta = -i\beta\frac{\mathcal{O}}{2m} = S. \quad (3.34)$$

Der transformierte Hamiltonian H' schreibt sich unter Benutzung der Campbell-Baker-Hausdorff-Identität als

$$H' = e^{iS} H e^{-iS} = \sum_{n=0}^{\infty} \frac{i^n}{n!} {}^n[S, H] \quad (3.35)$$

mit ${}^n[S, H]$ als n -Kommutator von S und H (${}^0[S, H] = H$). In erster Ordnung ist daher

$$H' = H + i[S, H] + \dots, \quad (3.36)$$

wobei wir den Kommutator $[S, H]$ wiederum in niedrigster Ordnung in α als

$$[S, H] = \left[-i\beta\frac{\mathcal{O}}{2m}, \mathcal{O} + \mathcal{E} + \beta m\right] \quad (3.37)$$

$$= \left[-i\beta\frac{\mathcal{O}}{2m}, \beta m\right] + \dots$$

$$= i\mathcal{O} + \dots \quad (3.38)$$

schreiben können. Somit

$$H' = H + i[S, H] = \mathcal{O} + \mathcal{E} + \beta m + i(i\mathcal{O}) + \dots = \mathcal{E} + \beta m + \dots \quad (3.39)$$

Wie wir sehen, ist im transformierten Hamiltonian der ungerade Operator in niedrigster Ordnung \mathcal{O} gerade verschwunden.

Um auch ungerade Operatoren höherer Ordnung in α verschwinden zu lassen, müssen zwei und mehr FW-Transformationen hintereinandergeschaltet werden. Der dann die Transformation vermittelnde Operator $UU'U'' \dots$ ist dann selbstverständlich immer noch unitär. Dieses Verfahren wollen wir jetzt auf den Dirac-Hamiltonian anwenden. Wir identifizieren

$$\mathcal{O} = \vec{\alpha} \cdot \vec{p} \quad \text{sowie} \quad \mathcal{E} = V. \quad (3.40)$$

Es ist dann

$$S = -i\beta \frac{\mathcal{O}}{2m} = -i\beta \frac{\vec{\alpha} \cdot \vec{p}}{2m}. \quad (3.41)$$

In unserem Beispiel reichen zwei FW-Transformationen aus, um auch in Ordnung α^4 ungerade Operatoren zum Verschwinden zu bringen. Für die erste der FW-Transformationen erhält man nach einer längeren Rechnung bis zur Ordnung α^4 (siehe etwa [3]):

$$\begin{aligned} H' &= \beta \left(m + \frac{\mathcal{O}^2}{2m} - \frac{\mathcal{O}^4}{8m^3} \right) + \mathcal{E} - \frac{1}{8m^2} [\mathcal{O}, [\mathcal{O}, V]] + \frac{\beta}{2m} [\mathcal{O}, \mathcal{E}] - \frac{\mathcal{O}^3}{3m^2} \\ &= \beta \left(m + \frac{\vec{p}^2}{2m} - \frac{(\vec{p}^2)^2}{8m^3} \right) + V - \\ &\quad - \frac{1}{8m^2} [\vec{\alpha} \cdot \vec{p}, [\vec{\alpha} \cdot \vec{p}, V]] + \frac{\beta}{2m} [\vec{\alpha} \cdot \vec{p}, V] - \frac{(\vec{\alpha} \cdot \vec{p})^3}{3m^2}. \end{aligned} \quad (3.42)$$

Für die zweite FW-Transformation ist daher

$$S' = -i\beta \frac{\mathcal{O}'}{2m} = -i\beta \frac{\beta}{2m} \left(\frac{\beta}{2m} [\mathcal{O}, \mathcal{E}] - \frac{\mathcal{O}^3}{3m^2} \right) = -i\beta \frac{\beta}{2m} \left(\frac{\beta}{2m} [\vec{\alpha} \cdot \vec{p}, V] - \frac{(\vec{\alpha} \cdot \vec{p})^3}{3m^2} \right), \quad (3.43)$$

und nach einer ebenfalls längeren Rechnung erhält man für den Foldy-Wouthuysen-transformierten Hamiltonian H_{FW} (siehe zum Beispiel [3])

$$H_{\text{FW}} = H' = \gamma^0 \left(m + \frac{\vec{p}^2}{2m} - \frac{(\vec{p}^2)^2}{8m^3} \right) + V + \frac{\pi\alpha}{2m^2} \delta(\vec{r}) + \frac{\alpha}{4m^2 r^3} \vec{\Sigma} \cdot \vec{L}. \quad (3.44)$$

Die Foldy-Wouthuysen-(FW)-Transformation ist also nichts weiter als die Hintereinanderausführung zweier unitärer Transformationen U und U' , die durch $\exp(iS)$ und $\exp(iS')$ vermittelt werden und die jeweils bis zur Ordnung α^4 mitgenommen werden. Es ist

$$H_{\text{FW}} = U' (U H_D U^{-1}) U'^{-1} = (U' U) H_D (U' U)^{-1}. \quad (3.45)$$

An der Gleichung 3.44 ersieht man im übrigen, wie sich die relativistischen Korrekturen zur Schrödingerschen Theorie (Spin-Bahn-Kopplung, Zitterbewegungsterm und Darwin-Term) aus der Diracschen Theorie ergeben.

Was können wir über die transformierte Wellenfunktion $U|\psi\rangle$ aussagen? Die Funktion $|\tilde{\psi}\rangle = U'U|\psi\rangle$ ist bis zur Ordnung α^4 Eigenzustand des FW-Hamiltonians. Der FW-Hamiltonian ist in dieser Ordnung eine gerade Matrix, die obere und untere Komponenten nicht mischt. Der Hauptanteil zum Eigenwert ist durch den Beitrag

$$\gamma^0 m = \begin{pmatrix} m & 0 \\ 0 & -m \end{pmatrix}$$

gegeben. $|\tilde{\psi}\rangle$ ist Eigenzustand zu H_{FW} mit einem Eigenwert $\approx m$. Daher muß $|\tilde{\psi}\rangle$ bis zu einer dem FW-Hamiltonian entsprechenden Ordnung frei von unteren Komponenten sein.

Diese Ordnung entspricht in unserem Fall der führenden Ordnung der Dirac-Wellenfunktion und ihrer ersten relativistischen Korrektur. Wir können daher in den folgenden Rechnungen stets die unteren Komponenten des Spinors $|\psi\rangle$ vernachlässigen und $\gamma^0 \rightarrow 1$, $\vec{\Sigma} \rightarrow \vec{\sigma}$ setzen.

Auf $|\tilde{\psi}\rangle$ angewandt, ist der FW-Hamiltonian also gleichzusetzen mit der oberen Bispinor-Komponente dieses Operators, die wir mit $H_{\text{FW}}^{\text{up}}$ bezeichnen wollen.

$$H_{\text{FW}}^{\text{up}} = m + \left(\frac{\vec{p}^2}{2m} + V \right) + \left(-\frac{(\vec{p}^2)^2}{8m^3} + \frac{\pi\alpha}{2m^2} \delta(\vec{r}) + \frac{\alpha}{4m^2 r^3} \vec{\sigma} \cdot \vec{L} \right) \quad (3.46)$$

Im folgenden wollen wir nur noch mit der Anwendung des FW-Hamiltonians auf die oberen Komponenten eines Spinors beschäftigen und lassen daher das Superskript up wieder weg. Wenn wir uns an die Definition des Schrödinger-Hamiltonians $H_S = \frac{\vec{p}^2}{2m} + V$ erinnern und als relativistische Korrektur dazu

$$\delta H = -\frac{(\vec{p}^2)^2}{8m^3} + \frac{\pi\alpha}{2m^2}\delta(\vec{r}) + \frac{\alpha}{4m^2 r^3}\vec{\sigma} \cdot \vec{L} \quad (3.47)$$

definieren, so schreibt sich der FW-Hamiltonian sehr kompakt als

$$H_{\text{FW}} = m + H_S + \delta H. \quad (3.48)$$

Die Ruhmasse m kann aus dem obigen Hamiltonian wegtransformiert werden. In nullter Ordnung ist die nichtrelativistische Schrödinger-Wellenfunktion $|\phi\rangle$ Eigenzustand des FW-Hamiltonians. Durch die relativistischen Korrekturen δH kommt eine Korrektur $|\delta\phi\rangle$ hinzu. Die Normierung

$$\langle\phi + \delta\phi|\phi + \delta\phi\rangle \stackrel{!}{=} 1 \quad \text{in 1. Ordnung} \quad (3.49)$$

führt (wenn man $\langle\phi|\delta\phi\rangle$ als reell annimmt) auf

$$\langle\phi|\delta\phi\rangle \stackrel{!}{=} 0. \quad (3.50)$$

Die Korrektur δE zum Energieeigenwert ergibt sich aus

$$\delta E = \langle\phi|\delta H|\phi\rangle. \quad (3.51)$$

$|\phi + \delta\phi\rangle$ soll die transformierte Schrödingergleichung (mit relativistischen Korrekturen) approximativ lösen, d. h.

$$(E_S + \delta E)|\phi + \delta\phi\rangle \stackrel{!}{=} (H_S + \delta H)|\phi + \delta\phi\rangle \quad \text{in 1. Ordnung} \quad (3.52)$$

Es ergibt sich die folgende Differentialgleichung für $|\delta\phi\rangle$,

$$(H - \langle\phi|\delta H|\phi\rangle)|\phi\rangle = (E_S - H_S)|\delta\phi\rangle, \quad (3.53)$$

und nach weiterer Umformung

$$|\delta\phi\rangle = \frac{1}{(E_S - H_S)'}\delta H|\phi\rangle \quad (3.54)$$

mit

$$G_{\text{red}}(E_S - H_S) = \frac{1}{(E_S - H_S)'} \quad (3.55)$$

als reduzierter Greensfunktion.

Das Ergebnis der oben aufgeführten FW-Transformation des Dirac-Hamiltonians ist bekannt. Es soll nun die FW-Transformation der Ausdrücke

$$y^j = \alpha^j \exp(i\vec{k} \cdot \vec{r}) \quad (3.56)$$

berechnet werden (diese Ausdrücke sollen mit derselben unitären Transformation transformiert werden wie der Hamiltonian). Wir erhalten

$$y_{\text{FW}}^j = U' (U y^j U^{-1}) U'^{-1} = (U' U) y^j (U' U)^{-1}, \quad (3.57)$$

wobei U und U' diejenigen unitären Transformationen sind, mit denen auch der FW-Hamiltonian transformiert wurde. Da \vec{k} eine α^2 -Potenz trägt und \vec{r} von der Ordnung α^{-1} ist, können wir y^j in Potenzen von α entwickeln.

$$y_0^j = \alpha^j, \quad (3.58)$$

$$y_1^j = \alpha^j (i\vec{k} \cdot \vec{r}), \quad (3.59)$$

$$y_2^j = \alpha^j \left(-\frac{1}{2}(\vec{k} \cdot \vec{r})^2\right). \quad (3.60)$$

Wir nehmen jeweils die um α^2 höhere Korrektur zum y_0^j -Term noch mit. Nach einer längeren Rechnung, die hier nicht vorgeführt werden soll, erhält man als Ergebnis für die FW-Transformation von y_0^j :

$$y_{0,FW}^j = \alpha^j + \gamma^0 \left(\frac{p^j}{m} - \frac{1}{2m^3} p^j \bar{p}^2 \right) \quad (3.61)$$

$$- \frac{1}{2m^2} p^j (\vec{\alpha} \cdot \vec{p}) - \frac{1}{2m^2} \alpha^j [\vec{\alpha} \cdot \vec{p}, V] + \frac{1}{2m^2} [p^j, V]. \quad (3.62)$$

Für y_1^j erhält man nach der Transformation

$$y_{1,FW}^j = \alpha^j (i\vec{k} \cdot \vec{r}) + \frac{i\gamma^0}{2m} \left(-\alpha^j [\vec{\alpha} \cdot \vec{p}, \vec{k} \cdot \vec{r}] - 2ik^j + 2(\vec{k} \cdot \vec{r}) p^j \right) \quad (3.63)$$

und schließlich für y_2^j

$$y_{2,FW}^j = \alpha^j \left(-\frac{1}{2} (\vec{k} \cdot \vec{r})^2 \right) - \quad (3.64)$$

$$\frac{1}{4m} \left(2\gamma^0 ((\vec{k} \cdot \vec{r})^2 p^j + [p^j, (\vec{k} \cdot \vec{r})^2] - \gamma^0 \alpha^j [\vec{\alpha} \cdot \vec{p}, (\vec{k} \cdot \vec{r})^2]) \right).$$

Für die Berechnung der Lamb-Verschiebung können in den letzten drei Ergebnissen die ungeraden Operatoren weggelassen werden, d. h. die zu den α -Matrizen proportionalen Terme werden vernachlässigt. Man erhält nach weiteren Umformungen als Beiträge der geraden Operatoren

$$y_{0,FW}^j = \gamma^0 \left(\frac{p^j}{m} - \frac{1}{2m^3} p^j \bar{p}^2 \right) - \frac{1}{2m^2} \frac{\alpha}{r^3} (\vec{r} \times \vec{\Sigma})^j \quad (3.65)$$

sowie

$$y_{1,FW}^j = -\frac{i}{2m} \gamma^0 (\vec{k} \times \vec{\Sigma})^j + \frac{i}{m} \gamma^0 (\vec{k} \cdot \vec{r}) p^j \quad (3.66)$$

und

$$y_{2,FW}^j = -\frac{1}{2m} \gamma^0 (\vec{k} \cdot \vec{r})^2 p^j + \frac{1}{2m} \gamma^0 (\vec{k} \cdot \vec{r}) (\vec{k} \times \vec{\Sigma})^j. \quad (3.67)$$

Da wir uns wie oben nur mit den oberen Komponenten der Spinoren beschäftigen, können wir wie beim FW-Hamiltonian $\gamma^0 \rightarrow 1$ und $\vec{\Sigma} \rightarrow \vec{\sigma}$ setzen (wir beschränken uns auf die linke obere 2×2 -Submatrix). Wir erhalten dann

$$y_{0,FW}^j = \left(\frac{p^j}{m} - \frac{1}{2m^3} p^j \bar{p}^2 \right) - \frac{1}{2m^2} \frac{\alpha}{r^3} (\vec{r} \times \vec{\sigma})^j \quad (3.68)$$

sowie

$$y_{1,FW}^j = -\frac{i}{2m} (\vec{k} \times \vec{\sigma})^j + \frac{i}{m} (\vec{k} \cdot \vec{r}) p^j \quad (3.69)$$

und

$$y_{2,FW}^j = -\frac{1}{2m} (\vec{k} \cdot \vec{r})^2 p^j + \frac{1}{2m} (\vec{k} \cdot \vec{r}) (\vec{k} \times \vec{\sigma})^j. \quad (3.70)$$

Unter Vernachlässigung ungerader Operatoren und für die linke obere 2×2 -Submatrix können wir daher

$$y_{FW}^j = U' (U \alpha^j e^{i\vec{k} \cdot \vec{r}} U^{-1}) U'^{-1} = y_{0,FW}^j + y_{1,FW}^j + y_{2,FW}^j \quad (3.71)$$

setzen mit

$$y_{FW}^j = \frac{p^j}{m} \left(1 + i (\vec{k} \cdot \vec{r}) - \frac{1}{2} (\vec{k} \cdot \vec{r})^2 \right) \quad (3.72)$$

$$- \frac{1}{2m^3} p^j \bar{p}^2 - \frac{1}{2m^2} \frac{\alpha}{r^3} (\vec{r} \times \vec{\sigma})^j$$

$$+ \frac{1}{2m} (\vec{k} \cdot \vec{r}) (\vec{k} \times \vec{\sigma})^j - \frac{i}{2m} (\vec{k} \times \vec{\sigma})^j.$$

3.5 Der Photonen-Propagator in verschiedenen Eichungen

Der Photonen-Propagator ist definiert als Lösung der Gleichung

$$A_\mu(y) = \int d^4x D_{\mu\nu}(y-x) j^\nu(x). \quad (3.73)$$

Im Impulsraum gilt daher

$$A_\mu(k) = D_{\mu\nu}(k) j^\nu(k). \quad (3.74)$$

In Lorentz-Eichung lauten die Maxwell-Gleichungen gerade

$$\square A^\mu(x) = j^\mu(x), \quad (3.75)$$

und im Impulsraum folgt daraus in Lorentz-Eichung

$$\square A_\mu(k) = -k^2 A_\mu(k) = j_\mu(k) \stackrel{!}{=} -k^2 D_{\mu\nu}(k) j^\nu(k), \quad (3.76)$$

so daß sich

$$D_{\mu\nu} = -\frac{g_{\mu\nu}}{k^2} \quad \text{in Lorentz- oder Feynman-Eichung} \quad (3.77)$$

ergibt. Wir können zum Propagator beliebige Ausdrücke der Form

$$D^{\mu\nu} \rightarrow D_{\mu\nu} + \frac{1}{2k^2} (f_\mu k_\nu + f_\nu k_\mu)$$

addieren, ohne daß sich an den beobachtbaren Größen $F_{\mu\nu} = \partial_\mu A_\nu - \partial_\nu A_\mu$ etwas ändert. Bei der Rechnung muß man nur die Kontinuität des Stromes

$$k^\mu j_\mu(k) = 0$$

ausnutzen und bedenken, daß im Impulsraum

$$\partial_\mu \rightarrow -ik_\mu$$

zu ersetzen ist. In der Coulomb-Eichung

$$\partial_i A^i(x) = 0 \quad (3.78)$$

lauten die Maxwell-Gleichungen

$$\square A_\mu(x) - \partial_\mu \partial_0 A_0(x) = j_\mu(x) \quad (3.79)$$

oder

$$-k^2 A_\mu(k) + k_\mu k_0 A_0(k) = j_\mu(k). \quad (3.80)$$

Es ergibt sich nach einer kurzen Rechnung für die Coulomb-Eichung

$$D_{00}(k) = \frac{1}{\vec{k}^2}, \quad (3.81)$$

$$D_{0i}(k) = D_{i0} = 0,$$

$$D_{ij}(k) = \frac{1}{k^2} \left(\delta_{ij} - \frac{k_i k_j}{\vec{k}^2} \right).$$

Die Transformation zwischen Feynman- und Coulomb-Eichung wird durch die Funktionen

$$f_0 = \frac{k_0}{\vec{k}^2} \quad \text{sowie} \quad f_i = -\frac{k_i}{\vec{k}^2} \quad (3.82)$$

vermittelt.

3.6 Die epsilon-Methode

Der ursprüngliche Ausdruck für den Selbstenergiebeitrag sieht einfach aus,

$$\delta E_{SE} = ie^2 \int \frac{d^4k}{(2\pi)^4} D_{\mu\nu} \langle \bar{\psi} | \gamma^\mu \frac{1}{\not{p} - \not{k} - m - \gamma^0 V} \gamma^\nu | \psi \rangle - \langle \bar{\psi} | \delta m | \psi \rangle. \quad (3.83)$$

Bei einer vollkommen analytischen Rechnung entstehen jedoch sehr viele Terme. Dies erschwert die analytische Behandlung. Außerdem ergeben sich sowohl infrarote als auch ultraviolette Divergenzen, so daß eine Teilung des Integrationsbereichs sinnvoll erscheint.

Ein weiterer Grund für die Einführung einer Trennung des Integrationsweges ist darin zu suchen, daß im relativistischen Bereich ($\omega \approx m$) der Dirac-Coulomb Propagator in Potenzen des Coulombfeldes V entwickelt werden kann. Im nichtrelativistischen Bereich jedoch ($\omega \ll m$) tragen alle V Potenzen des Propagators bei.

Es wird daher in Bezug auf die Energie ω des virtuellen Photons eine Teilung des Integrationsweges vorgenommen. Man teilt die Rechnung in zwei Bereiche ein, die durch den Parameter $\epsilon \ll m$ voneinander getrennt sind und wählt für die beiden Bereiche unterschiedliche Eichungen des Photonpropagators. Das Ziel ist, für beide Bereiche eine effiziente Berechnungsmethode zu wählen und dadurch die analytische Integration zu erleichtern.

Im Ausdruck für die Selbstenergie ist der Dirac-Coulomb Propagator

$$S_F^V = \frac{1}{\not{p} - \not{k} - m - \gamma^0 V}$$

enthalten. Wegen

$$\hat{E}|\psi\rangle = i \frac{\partial |\psi\rangle}{\partial t} = E_\psi |\psi\rangle$$

(ψ ist Eigenzustand des Hamiltonians), können wir im Ausdruck für die Selbstenergie den Dirac-Coulomb-Propagator durch

$$S_F^V \rightarrow \frac{1}{\gamma^0(E_\psi - \omega) - \vec{\gamma} \cdot \vec{p} - m - \gamma^0 V} = S_F^V(E_\psi - \omega)$$

ersetzen. Der Propagator $S_F^V(E_\psi - \omega)$ hat, wie man an der Darstellung 2.26

$$S_F^V(E - \omega) = \sum_n \frac{|\psi_n\rangle \langle \bar{\psi}|}{(E_\psi - \omega) - E_n(1 - i\eta)}$$

erkennt, Pole bei

$$(E_\psi - \omega) - E_n(1 - i\eta) = 0 \quad \text{oder} \quad \omega = E_\psi - E_n(1 - i\eta).$$

Unter Vernachlässigung des diskreten Spektrums, welches für unsere Rechnung keine Rolle spielt, da die erzeugten Pole oberhalb der reellen Achse liegen, gibt es Energieeigenwerte E_n für $E_n > m$ und $E_n < -m$. Für unseren Fall ist außerdem $E_\psi < m$, $E_\psi \approx m$. Daher gibt es Pole als Funktion von ω gerade bei

$$\Re(\omega) < 0, \Im(\omega) = i\eta \equiv E_n > 0$$

sowie

$$\Re(\omega) > 2m, \Im(\omega) = -i\eta \equiv E_n < 0.$$

Da also im ursprünglichen Elektronen-Propagator die Pole für die positiven Eigenwerte E_n leicht unter die reelle Achse gedrückt werden und die Pole für negative Eigenwerte einen leicht positiven Imaginärteil besitzen, werden die Pole für $\omega > 2m$ unter die reelle Achse gedrückt, und die Pole für $\omega < 0$ bekommen einen leicht positiven Imaginärteil.

Es ergeben sich auch Pole des Integranden aus dem Photonpropagator. Der Photonpropagator ist in Feynman-Eichung

$$D_{\mu\nu}(k) = -\frac{g_{\mu\nu}}{k^2 + i\eta} = -\frac{g_{\mu\nu}}{\omega^2 - \vec{k}^2 + i\eta}.$$

Aus der Umformung

$$\frac{1}{\omega^2 - \vec{k}^2 + i\eta} = \frac{1}{(\omega - |\vec{k}| + i\eta)(\omega + |\vec{k}| - i\eta)}$$

erhalten wir für die Positionen der Singularitäten:

$$\omega = |\vec{k}| - i\eta \quad \text{sowie} \quad \omega = -|\vec{k}| + i\eta.$$

Diese Pole liegen daher für $\Re(\omega) > 0$ leicht unterhalb der reellen Achse und für $\Re(\omega) < 0$ leicht darüber.

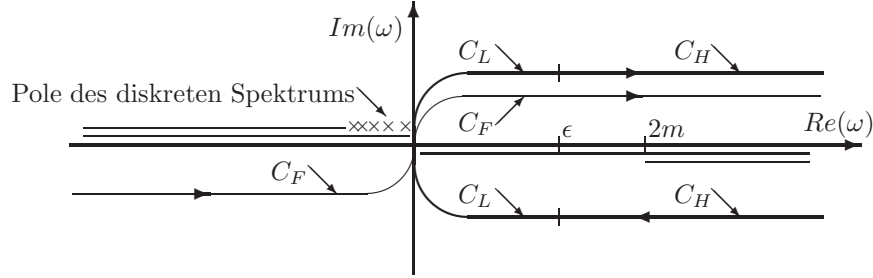


Abbildung 3.1: Integrationswege für die ω -Integration

Die ω -Integration erfolgt unter Berücksichtigung der Lage der Polstellen entlang des Feynman-Weges C_F (Abb. 3.1). Das Matrixelement \tilde{P} im Integranden geht für große k wie k^{-1} , der regularisierte Propagator wie k^{-4} und d^4k geht wie k^3 (zusammen k^{-2}). Daher können wir C_F durch einen unendlich großen Halbkreis in der unteren komplexen Halbebene schließen (Länge dieses Halbkreises wie k^1 , daher geht das Halbkreis-Integral für große k wie k^{-1}).

Man verbiegt nun die Integrationskontour C_F zu der modifizierten Kontour $C_L + C_H$ (dabei werden keine Residuen ausgelassen). Die Integrationskontour $C = C_L + C_H$ wird wie in der Abbildung 3.1 angegeben in der vorliegenden Arbeit verwandt. Da C infinitesimal über bzw. unterhalb der reellen Achse verläuft, können wir sicherlich C_L durch Hinzunahme eines Verbindungsweges bei $\Re(\omega) = \epsilon$ schließen.

Wir definieren als Hochenergie- und Niedrigenergie-Anteile

$$E_H = ie^2 \int_{C_H} \frac{d^4k}{(2\pi)^4} D_{\mu\nu} \langle \bar{\psi} | \gamma^\mu \frac{1}{\not{p} - \not{k} - m - \gamma^0 V} \gamma^\nu | \psi \rangle - \langle \bar{\psi} | \delta m | \psi \rangle$$

und

$$E_L = ie^2 \int_{C_L} \frac{d^4k}{(2\pi)^4} D_{\mu\nu} \langle \bar{\psi} | \gamma^\mu \frac{1}{\not{p} - \not{k} - m - \gamma^0 V} \gamma^\nu | \psi \rangle.$$

Regularisierung und Renormierung sind nur für den Hochenergie-Anteil nötig. Die Summe der beiden Anteile ist der gesuchte Selbstenergie-Beitrag zur Lamb-Shift,

$$\delta E_{SE} = E_L + E_H.$$

δE_{SE} hängt natürlich nicht von der Wahl des (kleinen) Trennungsparmeters ϵ ab, da durch diesen Parameter nur der Integrationsbereich getrennt wird. Wir haben es also mit zwei Funktionen E_L und E_H zu tun, die in Abhängigkeit von der Feinstrukturkonstanten α und dem Parameter ϵ betrachtet werden, und deren Summe nicht von ϵ abhängt:

$$\delta E_{SE}(\alpha) = E_L(\alpha, \epsilon) + E_H(\alpha, \epsilon)$$

Die Entwicklungskoeffizienten von δE_{SE} bezüglich α hängen nicht von ϵ ab. Der Entwicklungskoeffizient von δE bezüglich α ist aber gerade die Summe der entsprechenden Entwicklungskoeffizienten von E_L und E_H . Wir entwickeln daher E_L und E_H zuerst in α . Dann wird jeder Entwicklungskoeffizient von E_L und E_H bezüglich α nachträglich in ϵ entwickelt. Die Summe dieser Entwicklung(en) bezüglich ϵ darf aber nicht von ϵ abhängen, es müssen sich alle ϵ -Koeffizienten (bis auf den von ϵ^0) herausheben. Die Koeffizienten von ϵ^0 tragen daher zur Selbstenergie bei, höhere und niedrigere (divergente) Koeffizienten heben sich

gerade heraus. Daher genügt es, die Entwicklungskoeffizienten von E_L und E_H bezüglich α nachträglich bis zur Ordnung ϵ^0 zu entwickeln. Terme, die für $\epsilon \rightarrow 0$ logarithmisch oder stärker divergieren, heben sich gerade heraus.

Dies ist auch ein wichtiger Test für die Rechnung: Denn jeder Rechenfehler bei E_L und E_H wirkt sich mit hoher Wahrscheinlichkeit auf den Koeffizienten der $\ln(\epsilon)$ oder $1/\epsilon$ -Divergenz aus. Das Herausheben der Divergenz (in der Summe von E_L und E_H) ist somit ein wichtiger Test der Rechnung.

Es ist für die Gültigkeit der Methode wichtig, daß weder E_L noch E_H von der Eichung abhängen. Dazu reicht es aus, die Eichinvarianz von E_L zu zeigen. Da $\delta E_{SE} = E_L + E_H$ nicht von der Eichung abhängt, ergibt sich daraus automatisch die Eichinvarianz von E_H . Es ist also zu zeigen, daß durch Modifikationen am Propagator der Form (siehe Abschnitt 3.5)

$$D_{\mu\nu} \rightarrow D_{\mu\nu} + \frac{1}{2k^2}(f_\mu k_\nu + f_\nu k_\mu)$$

keine Veränderung des ϵ^0 Koeffizienten von E_L eintritt. Unter Benutzung der Beziehung

$$\begin{aligned} \frac{1}{\not{p} - \not{k} - m - \gamma^0 V} \not{k} |\psi\rangle &= \left(\frac{\not{k} - \not{p} + m + \gamma^0 V}{\not{p} - \not{k} - m - \gamma^0 V} + \frac{\not{p} - m - \gamma^0 V}{\not{p} - \not{k} - m - \gamma^0 V} \right) |\psi\rangle \\ &= (-1 + 0) |\psi\rangle = -|\psi\rangle \end{aligned} \quad (3.84)$$

können wir den eichabhängigen Anteil E_L^{gauge} umformen:

$$\begin{aligned} E_L^{\text{gauge}} &= -ie^2 \int_{C_L} \frac{d^4 k}{(2\pi)^4} \frac{1}{2k^2} (f_\mu k_\nu + f_\nu k_\mu) \times \\ &\quad \times \langle \bar{\psi} | \gamma^\mu \frac{1}{\not{p} - \not{k} - m - \gamma^0 V} \gamma^\nu | \psi \rangle \\ &= -ie^2 \int_{C_L} \frac{d^4 k}{(2\pi)^4} \frac{1}{k^2} \langle \bar{\psi} | \not{f} \frac{1}{\not{p} - \not{k} - m - \gamma^0 V} \not{k} | \psi \rangle \\ &= +ie^2 \int_{C_L} \frac{d^4 k}{(2\pi)^4} \frac{1}{k^2} \langle \bar{\psi} | \not{f} | \psi \rangle. \end{aligned} \quad (3.85)$$

Dieser Ausdruck verschwindet für $\epsilon \rightarrow 0$ und trägt somit nicht zur Lamb-Shift bei. Daher ist der entscheidende ϵ^0 Koeffizient in E_L eichinvariant.

Als Eichung wählen wir für den Hochenergie-Anteil den gemäß Pauli-Villars regularisierten Propagator in Feynman-Eichung (siehe Abschnitt 3.5)

$$D_{\mu\nu} = -g_{\mu\nu} \left(\frac{1}{k^2} - \frac{1}{k^2 - M^2} \right),$$

für den Niedrigenergie-Anteil jedoch die Coulomb-Eichung (ebenfalls siehe 3.5).

3.7 Der Hochenergie-Anteil

Wir schreiben den Hochenergie-Anteil E_H mit der expliziten Form des regularisierten Photonen-Propagators (in Feynman-Eichung) und mit der Massenrenormierung δm noch einmal auf,

$$\begin{aligned} E_H &= -ie^2 \int_{C_H} \frac{d^4 k}{(2\pi)^4} \left[\frac{1}{k^2} - \frac{1}{k^2 - M^2} \right] \langle \bar{\psi} | \gamma^\mu \frac{1}{\not{p} - \not{k} - m - \gamma^0 V} \gamma_\mu | \psi \rangle \\ &\quad - \langle \bar{\psi} | \delta m | \psi \rangle. \end{aligned} \quad (3.86)$$

Um diesen Ausdruck bis zur Ordnung $\alpha(Z\alpha)^6$ zu berechnen, ist es nötig, das Matrixelement

$$\tilde{P} = \langle \bar{\psi} | \gamma^\mu \frac{1}{\not{p} - \not{k} - m - \gamma^0 V} \gamma_\mu | \psi \rangle \quad (3.87)$$

bis Ordnung α^6 auszuwerten. Wir wollen für die späteren Rechnungen $\langle \bar{\psi} |$ explizit als $\langle \psi | \gamma^0$ schreiben. Damit ist

$$\tilde{P} = \langle \psi | \gamma^0 \gamma^\mu \frac{1}{\not{p} - \not{k} - m - \gamma^0 V} \gamma_\mu | \psi \rangle. \quad (3.88)$$

Wie bereits erwähnt, ist die Integrationskontour C_H nach unten durch ϵ begrenzt (Infrarot-Regulator). Daher ist es möglich und sinnvoll, den Dirac-Coulomb-Propagator in Potenzen des Potentials V zu entwickeln. Für gebundene Zustände im Coulombpotential ist $V = -\frac{\alpha}{r}$ von der Ordnung α^2 (siehe Abschnitt 3.2). Wir müssen daher das Matrixelement \tilde{P} bis zur Ordnung V^3 entwickeln.

Um diese Entwicklung besonders übersichtlich ausführen zu können, vereinbaren wir für den Nenner im Feynman-Propagator die Abkürzung (siehe Abschnitt 2.4)

$$D = \not{p} - \not{k} - m. \quad (3.89)$$

Die Entwicklung des Dirac-Coulomb-Propagators geschieht mit Hilfe der Formel

$$\frac{1}{X - Y} = \frac{1}{X} + \frac{1}{X} Y \frac{1}{X} + \frac{1}{X} Y \frac{1}{X} Y \frac{1}{X} + \dots$$

Wir setzen $X = \not{p} - \not{k} - m = D$ und $Y = \gamma^0 V$ und erhalten als Resultat der Entwicklung 4 Terme, den 0-Vertex, 1-Vertex, 2-Vertex und 3-Vertex-Anteil.

$$\begin{aligned} \frac{1}{\not{p} - \not{k} - \gamma^0 V - m} &= \frac{1}{D - \gamma^0 V} & (3.90) \\ &= \frac{1}{D} + \\ &\quad \frac{1}{D} \gamma^0 V \frac{1}{D} + \\ &\quad \frac{1}{D} \gamma^0 V \frac{1}{D} \gamma^0 V \frac{1}{D} + \\ &\quad \frac{1}{D} \gamma^0 V \frac{1}{D} \gamma^0 V \frac{1}{D} \gamma^0 V \frac{1}{D} + O(V^4) \end{aligned}$$

Höhere Terme tragen nicht bei, da V^3 bereits von der Ordnung α^6 ist und wir nur bis zu dieser Ordnung rechnen wollen. Wir definieren dann als Matrizen

$$M_0 = \gamma^0 \gamma^\mu \frac{1}{D} \gamma_\mu \quad (3.91)$$

$$M_1 = \gamma^0 \gamma^\mu \frac{1}{D} \gamma^0 V \frac{1}{D} \gamma_\mu \quad (3.92)$$

$$M_2 = \gamma^0 \gamma^\mu \frac{1}{D} \gamma^0 V \frac{1}{D} \gamma^0 V \frac{1}{D} \gamma_\mu \quad (3.93)$$

$$M_3 = \gamma^0 \gamma^\mu \frac{1}{D} \gamma^0 V \frac{1}{D} \gamma^0 V \frac{1}{D} \gamma^0 V \frac{1}{D} \gamma_\mu. \quad (3.94)$$

Wir können somit das Matrixelement \tilde{P} entwickeln als

$$\tilde{P} = \tilde{P}_0 + \tilde{P}_1 + \tilde{P}_2 + \tilde{P}_3 \quad (3.95)$$

mit

$$\tilde{P}_0 = \langle \psi | \gamma^0 \gamma^\mu \frac{1}{D} \gamma_\mu | \psi \rangle = \langle \psi | M_0 | \psi \rangle \quad (3.96)$$

$$\tilde{P}_1 = \langle \psi | \gamma^0 \gamma^\mu \frac{1}{D} \gamma^0 V \frac{1}{D} \gamma_\mu | \psi \rangle = \langle \psi | M_1 | \psi \rangle \quad (3.97)$$

$$\tilde{P}_2 = \langle \psi | \gamma^0 \gamma^\mu \frac{1}{D} \gamma^0 V \frac{1}{D} \gamma^0 V \frac{1}{D} \gamma_\mu | \psi \rangle = \langle \psi | M_2 | \psi \rangle \quad (3.98)$$

$$\tilde{P}_3 = \langle \psi | \gamma^0 \gamma^\mu \frac{1}{D} \gamma^0 V \frac{1}{D} \gamma^0 V \frac{1}{D} \gamma^0 V \frac{1}{D} \gamma_\mu | \psi \rangle = \langle \psi | M_3 | \psi \rangle. \quad (3.99)$$

Diese Matrixelemente (0-Vertex, 1-Vertex, 2-Vertex und 3-Vertex-Anteile) sind auszuwerten. Diese Auswertung erfolgt, etwas vereinfacht beschrieben, in den folgenden Schritten:

1. Entwicklung der M_i -Matrizen in die 16 Γ -Matrizen. Gemäß der Gl. 3.24 gilt:

$$M_i = \sum_{\beta} a_{\beta} \Gamma^{\beta} \quad (3.100)$$

mit

$$a_{\beta} = \frac{1}{4} \text{Tr}(\Gamma_{\beta} M_i).$$

Die Entwicklung in die Γ -Matrizen macht die Rechnung übersichtlich und systematisiert in gewisser Weise das Vorgehen, was sich besonders beim Einsatz des Computers positiv bemerkbar macht.

2. Entwicklung der a_{β} -Koeffizienten in Potenzen der Feinstrukturkonstanten α . Die Entwicklungskoeffizienten a_{β} sind rationale Ausdrücke in den Impulsen des Elektrons, im Viererimpuls des virtuellen Photons und im Potential V und können daher in Potenzen von α entwickelt werden (da jeder der Operatoren eine bestimmte Potenz von α trägt). Es gilt:

$$a_{\beta} = \sum_{j=0}^6 \alpha^j b_j(a_{\beta}). \quad (3.101)$$

Es wird also jeder a_{β} -Koeffizient bis α^6 entwickelt.

3. Mittelung über die räumlichen Anteile des Photonimpulses. Über die räumlichen Komponenten in den $b_j(a_{\beta})$ -Koeffizienten von k kann gemittelt werden, da sich die Integration über den gesamten R^3 erstreckt.

$$b_j(a_{\beta}) = f(\vec{k}, \text{andere Arg.}) \rightarrow \bar{f}(|\vec{k}|, \text{andere Arg.}) = \bar{b}_j(a_{\beta}). \quad (3.102)$$

Dabei entsteht der Ausdruck $\bar{b}(a_{\beta})$, welcher nur noch von $|\vec{k}|$, ω und natürlich von \vec{p} und V abhängt.

4. Ersetzung der Matrixelemente. Es werden nun (für jede Γ^{β} -Matrix einzeln) die $\bar{b}_j(a_{\beta})$ -Koeffizienten durch die entsprechenden Matrixelemente mit $|\psi\rangle$ ersetzt, gemäß

$$\bar{b}_j(a_{\beta}) \rightarrow \langle \psi | \Gamma^{\beta'} \bar{b}_j(a_{\beta'}) | \psi \rangle, \quad (3.103)$$

(keine Summation über β , daher β' , siehe Konventionen).

Es entstehen aus den vorangegangenen Schritten Beiträge wie zum Beispiel (für die Matrix M_1 , Entwicklungskoeffizient von γ^0):

$$\bar{b}_4(a_{\gamma^0}) = (\vec{p} V \vec{p}) f(\omega, |\vec{k}|) + \text{weitere Terme},$$

wobei $f(\omega, |\vec{k}|)$ eine rationale Funktion von ω und $|\vec{k}|$ ist. Zwecks Berechnung von \tilde{P} wird dann gemäß

$$(\vec{p} V \vec{p}) f(\omega, |\vec{k}|) \rightarrow \langle \psi | (\vec{p} V \vec{p}) | \psi \rangle f(\omega, |\vec{k}|)$$

ersetzt. Die Auswertung der Matrixelemente wird von in *Mathematica* geschriebenen symbolischen Programmen erledigt (vom Autor entwickelt). Bis zur Ordnung α^6 gilt in unserem Fall zum Beispiel

$$\langle \psi | (\vec{p} V \vec{p}) | \psi \rangle = -\frac{5}{48} \alpha^4 m^3 - \frac{283}{1152} \alpha^6 m^3.$$

Die Auswertung der Matrixelemente ist auch von Hand mit Hilfe von Kommutatorbeziehungen unter intensiver Ausnutzung der Algebra der Dirac-Gleichung mit Coulombfeld möglich. Dieser Weg wurde zur Verifikation der Ergebnisse ebenfalls beschrritten.

5. Zusammenfassung des Ergebnisses. Für alle Γ^α 's, deren Koeffizienten nicht Null sind, wird das oben beschriebene Verfahren angewandt. Das Ergebnis

$$\tilde{P}_i = \sum_{\beta=0}^{15} \sum_{j=0}^6 \alpha^j \langle \psi | \Gamma^\beta \bar{b}_j(a_\beta) | \psi \rangle$$

wird aufaddiert, vereinfacht und in Potenzen der Feinstrukturkonstante α geordnet.

Den letzten Schritt bei der Auswertung des Hochenergie-Anteils bilden die Integrationen bezüglich $|\vec{k}|$ und ω . Die k -Integration kann mit Residuenintegration ausgeführt werden.

Für die ω -Integration werden ultraviolett divergente Ausdrücke regularisiert, es werden Feynman-Parameter eingeführt und die Integration kovariant ausgeführt.

Für die ultraviolett konvergenten Ausdrücke wird zunächst die Integrationsvariable reskaliert und auf eine dimensionslose Größe zurückgeführt. Bei der ω -Integration beschränkt man sich auf den oberen Ast des C_H -Weges (das Gesamtergebnis ist gerade das Integral über den oberen Ast, plus das komplex Konjugierte dieses Integrals).

3.8 Der Niedrigenergie-Anteil

Bei der Behandlung des Niedrigenergie-Anteils wird die ω -Integration als erstes ausgeführt. Wir gehen aus vom allgemeinen Ausdruck für den Niedrigenergieanteil zur Selbstenergie

$$E_L = ie^2 \int_{C_L} \frac{d^4 k}{(2\pi)^4} D_{\mu\nu} \langle \bar{\psi} | \gamma^\mu \frac{1}{\not{p} - \not{k} - m - \gamma^0 V} \gamma^\nu | \psi \rangle.$$

Zunächst formen wir das Matrixelement mit dem Propagator in einer für den Niedrigenergieanteil günstigen Weise um. Unter Ausnutzung der Beziehung

$$A \frac{1}{B} C = \frac{1}{C^{-1} B A^{-1}}, \quad (3.104)$$

und der Identität

$$e^{i\vec{k}\cdot\vec{r}} p^i e^{-i\vec{k}\cdot\vec{r}} = p^i + [i\vec{k}\cdot\vec{r}, p^i] = p^i - k^i,$$

die man mit der Campbell-Baker-Hausdorff-Formel oder durch explizites Differenzieren nachweist, ergibt sich mit der Definition $\alpha^0 = \gamma^0 \gamma^0 = I$ (diese Definition erfolgt hier rein aus Zweckmäßigkeit und ist nicht "wörtlich", im Sinne eines Lorentz-Index, zu verstehen),

$$\begin{aligned} \tilde{P}_{\mu\nu} &= \langle \bar{\psi} | \gamma^\mu \frac{1}{\not{p} - \not{k} - m - \gamma^0 V} \gamma^\nu | \psi \rangle \quad (3.105) \\ &= \langle \bar{\psi} | \gamma^\mu \frac{1}{e^{i\vec{k}\cdot\vec{r}} (\not{p} - \gamma^0 \omega - \gamma^0 V - m) e^{-i\vec{k}\cdot\vec{r}}} \gamma^\nu | \psi \rangle \\ &= \langle \psi^+ | \gamma^0 \gamma^\mu e^{i\vec{k}\cdot\vec{r}} \frac{1}{\gamma^0 ((E_\psi - \omega) - \vec{\gamma} \cdot \vec{p} - \gamma^0 V - m)} \gamma^\nu e^{-i\vec{k}\cdot\vec{r}} | \psi \rangle \\ &= \langle \psi^+ | \alpha^\mu e^{i\vec{k}\cdot\vec{r}} \frac{1}{(E_\psi - \omega) - \vec{\alpha} \cdot \vec{p} - V - \gamma^0 m} \alpha^\nu e^{-i\vec{k}\cdot\vec{r}} | \psi \rangle \\ &= \langle \psi^+ | \alpha^\mu e^{i\vec{k}\cdot\vec{r}} \frac{1}{(E_\psi - \omega) - H_D} \alpha^\nu e^{-i\vec{k}\cdot\vec{r}} | \psi \rangle. \end{aligned}$$

Wir verwenden für den Niedrigenergieanteil die Coulomb-Eichung. In dieser Eichung ist wie bereits in Abschnitt 3.5 erwähnt

$$\begin{aligned} D_{00} &= \frac{1}{\vec{k}^2}, \\ D_{0i} &= D_{i0} = 0, \\ D_{ij} &= \frac{1}{k^2} \left(\delta_{ij} - \frac{k_i k_j}{\vec{k}^2} \right) = \frac{1}{k^2} \delta_{ij}^T. \end{aligned}$$

Zunächst wollen wir denjenigen Anteil behandeln, der vom D_{00} -Element herrührt. Es ist

$$\begin{aligned} \delta E_{L,00} &= ie^2 \int_{C_L} \frac{d^4 k}{(2\pi)^4} D_{00}(k) \langle \bar{\psi} | \gamma^0 \frac{1}{\not{p} - \not{k} - m - \gamma^0 V} \gamma^0 | \psi \rangle \\ &= ie^2 \int_{C_L} \frac{d^4 k}{(2\pi)^4} \frac{1}{\vec{k}^2} \langle \psi^+ | e^{i\vec{k} \cdot \vec{r}} \frac{1}{(E_\psi - \omega) - H_D} e^{-i\vec{k} \cdot \vec{r}} | \psi \rangle. \end{aligned} \quad (3.106)$$

Mit

$$\langle \vec{r}_1 | \frac{1}{(E - \omega) - H_D} | \vec{r}_2 \rangle = \sum_n \frac{\psi_n(\vec{r}_1) \psi_n^+(\vec{r}_2)}{(E - \omega) - E_n(1 - i\eta)} \quad (3.107)$$

können wir den von D_{00} hervorgerufenen Teilbeitrag zur Selbstenergie wie folgt hinschreiben:

$$\delta E_{L,00} = ie^2 \int \frac{d^3 k}{(2\pi)^3} \int_{C_L} \frac{d\omega}{2\pi} \frac{1}{\vec{k}^2} \langle \psi | \frac{|\psi_n\rangle \langle \psi_n|}{(E_\psi - \omega) - E_n(1 - i\eta)} | \psi \rangle.$$

Da aufgrund der speziellen Wahl des C -Integrationsweges nur diejenigen Pole des Dirac-Coulomb-Propagators mit $E_n < 0$ entscheidend sind (der Pol mit $E_n = E_\psi > 0$ trägt somit nicht bei), ist der Integrand innerhalb des C_L -Weges analytisch. Damit ergeben sich aber bei der ω -Integration auf C_L (mit $\omega < \epsilon$) keine Residuen, die zur Lamb-Shift beitragen könnten. Geht man mit $\epsilon \rightarrow 0$, so verschwindet der von der von $\delta E_{L,00}$ erzeugte Beitrag.

Wir schreiben daher δE_L folgendermaßen unter Vernachlässigung von D_{00} auf:

$$E_L = -ie^2 \int \frac{d^3 k}{(2\pi)^3} \int_{C_L} \frac{d\omega}{2\pi} \frac{1}{\omega^2 - \vec{k}^2} \delta^{T,ij} \tilde{P}^{ij}(\omega).$$

Dabei ergibt sich $\tilde{P}^{ij}(\omega)$ unter Ausnutzung von 3.105 wie folgt:

$$\tilde{P}^{ij}(\omega) = \langle \psi | \alpha^i e^{i\vec{k} \cdot \vec{r}} \frac{1}{H_D - (E_\psi - \omega)} \alpha^j e^{-i\vec{k} \cdot \vec{r}} | \psi \rangle. \quad (3.108)$$

$\tilde{P}^{ij}(\omega)$ stellt eine Funktion dar, die innerhalb der C_L -Kontour analytisch ist. Der $E - \omega$ -Ausdruck im Nenner des Elektronpropagators steuert kein Residuum bei, da $\omega < \epsilon$ nach oben beschränkt ist (mit $\omega \ll m \approx E$). Daher können wir die ω -Integration mit dem Residuensatz ausführen. Es ist

$$\frac{1}{\omega^2 - \vec{k}^2 + i\eta} = \frac{1}{(\omega - |\vec{k}| + i\eta)(\omega + |\vec{k}| - i\eta)}.$$

Der Pol bei $\omega = |\vec{k}| - i\eta$ trägt zum Integral bei, das Residuum ist

$$\begin{aligned} \delta E_L &= -ie^2 \int_{|\vec{k}| < \epsilon} \frac{d^3 k}{(2\pi)^3} \frac{1}{2\pi} (-2\pi i) \frac{1}{2|\vec{k}|} \delta^{T,ij} \tilde{P}^{ij}(|\vec{k}|) \\ &= -e^2 \int_{|\vec{k}| < \epsilon} \frac{d^3 k}{(2\pi)^3} \frac{1}{2|\vec{k}|} \delta^{T,ij} \tilde{P}^{ij}(|\vec{k}|) \\ &= -e^2 \int_{|\vec{k}| < \epsilon} \frac{d^3 k}{(2\pi)^3 2|\vec{k}|} \delta^{T,ij} \langle \psi^+ | \alpha^i e^{i\vec{k} \cdot \vec{r}} \frac{1}{H_D - (E_\psi - \omega)} \alpha^j e^{-i\vec{k} \cdot \vec{r}} | \psi \rangle \end{aligned} \quad (3.109)$$

mit

$$\omega \equiv |\vec{k}|. \quad (3.110)$$

Für den Niedrigenergie-Anteil wird daher ω mit $|\vec{k}|$ identifiziert.

Jetzt wird im relevanten Matrixelement \tilde{P}^{ij} eine unitäre Foldy-Wouthuysen-Transformation (eigentlich zwei hintereinandergeschaltete unitäre Transformationen U und U' , siehe Abschnitt 3.4) eingefügt. Die Produkt-Transformation $U_{FW} = U U'$ wird hier der Einfachheit halber wieder mit U bezeichnet. Es gilt

$$\begin{aligned} \tilde{P}^{ij} &= \langle \psi^+ | \alpha^i e^{i\vec{k}\cdot\vec{r}} \frac{1}{H_D - (E - \omega)} \alpha^j e^{-i\vec{k}\cdot\vec{r}} | \psi \rangle \\ &= \langle \psi^+ | U^+ U \alpha^i e^{i\vec{k}\cdot\vec{r}} U^+ U \frac{1}{H_D - (E - \omega)} U^+ U \alpha^j e^{-i\vec{k}\cdot\vec{r}} U^+ U | \psi \rangle \\ &= \langle U \psi^+ | \left(U \alpha^i e^{i\vec{k}\cdot\vec{r}} U^+ \right) \frac{1}{U (H_D - (E - \omega)) U^+} \left(U \alpha^j e^{-i\vec{k}\cdot\vec{r}} U^+ \right) | U \psi \rangle \\ &= \langle \tilde{\psi}^+ | \left(U \alpha^i e^{i\vec{k}\cdot\vec{r}} U^+ \right) \frac{1}{U (H_D - (E - \omega)) U^+} \left(U \alpha^j e^{-i\vec{k}\cdot\vec{r}} U^+ \right) | \tilde{\psi} \rangle, \end{aligned} \quad (3.111)$$

mit $|\tilde{\psi}\rangle = U|\psi\rangle$ (bei dieser Rechnung wurde wieder 3.104 benutzt).

Die Foldy-Wouthuysen-Transformation U hat zum Ziel, die ungeraden Anteile des Hamiltonians bis zur Ordnung α^4 , d.h. bis zur ersten relativistischen Korrektur zum Schrödinger-Hamiltonian, zum Verschwinden zu bringen. Wir wollen noch einmal das Ergebnis der FW-Transformation aus dem Abschnitt 3.4 (Gl. 3.46) in Erinnerung rufen:

$$H_{FW} = U H_D U^+ = U (\vec{\alpha} \cdot \vec{p} + \beta m + V) U^{-1} = m + H_S + \delta H \quad (3.112)$$

H_{FW} soll den Foldy-Wouthuysen-(FW)-Hamiltonian bezeichnen. Hierbei ist:

$$H_S = \frac{\vec{p}^2}{2m} + V$$

und

$$\delta H = -\frac{(\vec{p}^2)^2}{8m^3} + \frac{\pi\alpha}{2m^2} \delta(\vec{r}) + \frac{\alpha}{4m^2 r^3} \vec{\sigma} \cdot \vec{L}.$$

Der Nenner in \tilde{P}^{ij} kann folgendermaßen umgeformt werden (E_S = Schrödinger-Energie, $\delta E = \alpha^4$ -Korrektur zur Schrödinger-Energie):

$$\begin{aligned} U (H_D - (E - \omega)) U^+ &= H_{FW} - (E - \omega) = \\ &= (m + H_S + \delta H) - (m + E_S + \delta E - \omega) - \\ &= (H_S - (E_S - \omega)) + \delta H - \delta E. \end{aligned} \quad (3.113)$$

Weil

$$\frac{1}{H_S - (E_S - \omega)} = G_{nr}(E_S - \omega) \quad (3.114)$$

gerade dem nichtrelativistischen Propagator G_{nr} entspricht, sind wir in der Lage, mit dem (viel einfacheren) nichtrelativistischen Propagator zu rechnen und alle relativistischen Korrekturen dazu störungstheoretisch zu behandeln.

Dazu ist es nötig, auch die erste relativistische Korrektur zur Schrödinger-Eigenfunktion ϕ mitzunehmen. Selbstverständlich ist die ursprüngliche Eigenfunktion $|\phi\rangle$ des Schrödinger-Hamiltonians nicht mehr Eigenfunktion des FW-Hamiltonians. Mit der ersten relativistischen Korrektur ergibt sich aus Gl. 3.54

$$|\tilde{\psi}\rangle = |\phi\rangle + |\delta\phi\rangle = |\phi\rangle + \frac{1}{(E_S - H_S)'} \delta H |\phi\rangle. \quad (3.115)$$

Das Ergebnis der FW-Transformation der Ausdrücke $y^j = \alpha^j \exp(i\vec{k} \cdot \vec{r})$ ist (siehe Gl. 3.72):

$$\begin{aligned} y_{FW}^j &= \frac{p^j}{m} \left(1 + i(\vec{k} \cdot \vec{r}) - \frac{1}{2}(\vec{k} \cdot \vec{r})^2 \right) \\ &\quad - \frac{1}{2m^3} p^j \vec{p}^2 - \frac{1}{2m^2} \frac{\alpha}{r^3} (\vec{r} \times \vec{\sigma})^j \\ &\quad + \frac{1}{2m} (\vec{k} \cdot \vec{r}) (\vec{k} \times \vec{\sigma})^j - \frac{i}{2m} (\vec{k} \times \vec{\sigma})^j. \end{aligned}$$

Wir können daher

$$U \alpha^j e^{i\vec{k} \cdot \vec{r}} U^+ = \frac{p^j}{m} + \delta y^j \quad (3.116)$$

schreiben mit p^j/m als Hauptbeitrag und δy^j als den relativistischen Korrekturen dazu. Der Ausdruck \tilde{P}^{ij} setzt sich somit unter Vernachlässigung höherer Ordnungen folgendermaßen zusammen,

$$\begin{aligned} \tilde{P}^{ij} &= \langle \tilde{\psi}^+ | \left[U \alpha^i e^{i\vec{k} \cdot \vec{r}} U^+ \right] \frac{1}{U(H_D - (E - \omega))U^+} \left[U \alpha^j e^{-i\vec{k} \cdot \vec{r}} U^+ \right] | \tilde{\psi} \rangle \quad (3.117) \\ &= \langle \phi + \delta\phi | \left[\frac{p^i}{m} + \delta y^i \right] \frac{1}{(H_S - (E_S - \omega)) + \delta H - \delta E} \left[\frac{p^j}{m} + \delta y^j \right] | \phi + \delta\phi \rangle \\ &= \langle \phi | \frac{p^i}{m} \frac{1}{H_S - (E_S - \omega)} \frac{p^j}{m} | \phi \rangle \\ &\quad + 2 \times \langle \phi | \delta y^i \frac{1}{H_S - (E_S - \omega)} \frac{p^j}{m} | \phi \rangle \\ &\quad + \langle \phi | \frac{p^i}{m} \frac{1}{H_S - (E_S - \omega)} \delta E \frac{1}{H_S - (E_S - \omega)} \frac{p^j}{m} | \phi \rangle \\ &\quad - \langle \phi | \frac{p^i}{m} \frac{1}{H_S - (E_S - \omega)} \delta H \frac{1}{H_S - (E_S - \omega)} \frac{p^j}{m} | \phi \rangle \\ &\quad + 2 \times \langle \phi | \frac{p^i}{m} \frac{1}{H_S - (E_S - \omega)} \frac{p^j}{m} | \delta\phi \rangle + O(\alpha^4) \end{aligned}$$

Für die praktische Auswertung des Niedrigenergieanteils ist die Einführung einer dimensionslosen Größe P zweckmäßig, die sich aus \tilde{P} gemäß

$$P = \frac{m}{2} \delta^{T,ij} \tilde{P}^{ij} \quad (3.118)$$

ergibt. \tilde{P}^{ij} hat aufgrund des Propagators die Dimension λ_e , m dagegen die Dimension λ_e^{-1} (in natürlichen Einheiten). Es ergeben sich somit bis zur Ordnung α^2 folgende Beiträge zu \tilde{P}^{ij} . Zunächst lautet der Hauptbeitrag

$$\begin{aligned} P_{nd} &= \frac{m}{2} \delta^{T,ij} \langle \phi | \frac{p^i}{m} \frac{1}{H_S - (E_S - \omega)} \frac{p^j}{m} | \phi \rangle \quad (3.119) \\ &= \frac{1}{3m} \langle \phi | p^i \frac{1}{H_S - (E_S - \omega)} p^i | \phi \rangle. \end{aligned}$$

Die Indizes nd stehen hierbei für den ‘‘nichtrelativistischen Dipol’’. P_{nd} ist der einzige Beitrag zu P in der Ordnung $\alpha^0 = 1$ und damit der einzige Beitrag zum Niedrigenergieanteil der Selbstenergie in der Ordnung $\alpha(Z\alpha)^4$. Alle anderen Beiträge tragen in der Ordnung α^2 zu P und damit in der Ordnung $\alpha(Z\alpha)^6$ zur Lamb-Shift bei.

Diese weiteren Beiträge wollen wir jetzt der Reihe nach auflisten. Zuerst wird der Beitrag $P_{\delta y}$, der durch die FW-Transformation der α^i -Matrizen zustande kommt, aufgeführt,

$$P_{\delta y} = 2 \times \frac{m}{2} \delta^{T,ij} \langle \phi | \delta y^i \frac{1}{H_S - (E_S - \omega)} \frac{p^j}{m} | \phi \rangle. \quad (3.120)$$

Weitere Beiträge ergeben sich aufgrund der relativistischen Korrektur zum Energieeigenwert,

$$\begin{aligned} P_{\delta E} &= \frac{m}{2} \delta^{T,ij} \langle \phi | \frac{p^i}{m} \frac{1}{H_S - (E_S - \omega)} \delta E \frac{1}{H_S - (E_S - \omega)} \frac{p^j}{m} | \phi \rangle \\ &= \frac{1}{3m} \langle \phi | p^i \frac{1}{H_S - (E_S - \omega)} \delta E \frac{1}{H_S - (E_S - \omega)} p^i | \phi \rangle, \end{aligned} \quad (3.121)$$

aufgrund der relativistischen Korrekturen zum Schrödinger-Hamiltonian,

$$\begin{aligned} P_{\delta H} &= -\frac{m}{2} \delta^{T,ij} \langle \phi | \frac{p^i}{m} \frac{1}{H_S - (E_S - \omega)} \delta H \frac{1}{H_S - (E_S - \omega)} \frac{p^j}{m} | \phi \rangle \\ &= -\frac{1}{3m} \langle \phi | p^i \frac{1}{H_S - (E_S - \omega)} \delta H \frac{1}{H_S - (E_S - \omega)} p^i | \phi \rangle, \end{aligned} \quad (3.122)$$

und aufgrund der relativistischen Korrektur zur Energie-Eigenfunktion,

$$\begin{aligned} P_{\delta \phi} &= 2 \times \frac{m}{2} \delta^{T,ij} \langle \phi | \frac{p^i}{m} \frac{1}{H_S - (E_S - \omega)} \frac{p^j}{m} | \delta \phi \rangle \\ &= \frac{2}{3m} \langle \phi | p^i \frac{1}{H_S - (E_S - \omega)} p^i | \delta \phi \rangle. \end{aligned} \quad (3.123)$$

Den letzten Punkt bei der Behandlung des Niedrigenergieanteils bildet die d^3k -Integration. Für den Niedrigenergie-Anteil ist $|\vec{k}| \equiv \omega$, daher gilt

$$\begin{aligned} E_L &= -e^2 \int_{|\vec{k}| < \epsilon} \frac{d^3k}{(2\pi)^3} \frac{1}{2|\vec{k}|} \delta^{T,ij} \tilde{P}^{ij}(|\vec{k}|) \\ &= -e^2 \int_{|\vec{k}| < \epsilon} \frac{d^3k}{(2\pi)^3} \frac{1}{m|\vec{k}|} P(|\vec{k}|) \\ &= -(4\pi\alpha) \int_{|\vec{k}| < \epsilon} \frac{dk k^2 4\pi}{(2\pi)^3} \frac{1}{m|\vec{k}|} P(|\vec{k}|) \\ &= -\frac{2\alpha}{\pi m} \int_0^\epsilon d\omega \omega P(\omega). \end{aligned} \quad (3.124)$$

Wir führen nun eine Variablentransformation gemäß

$$t \equiv \frac{\sqrt{-2mE_\phi}}{\sqrt{-2m(E_\phi - \omega)}} = \frac{(\alpha m)/2}{\sqrt{-2m(E_\phi - \omega)}} \quad (3.126)$$

zur dimensionslosen Größe t durch. Wir verwenden die Abkürzung

$$\lambda = \frac{\alpha m}{2}. \quad (3.127)$$

Damit folgt

$$\int_0^\epsilon d\omega \omega P(t(\omega)) = \frac{\lambda^4}{2m^2} \int_{t_\epsilon}^1 dt \frac{1-t^2}{t^5} P(t) \quad (3.128)$$

mit

$$t_\epsilon = \frac{\lambda}{\sqrt{\lambda^2 + 2m\epsilon}} = \frac{\alpha}{\sqrt{\alpha^2 + 8\epsilon/m}}. \quad (3.129)$$

F ergibt sich dann zu

$$F = -\frac{1}{2} \int_{t_\epsilon}^1 dt \frac{1-t^2}{t^5} P(t). \quad (3.130)$$

Wie wir in Abschnitt 4.2 sehen werden, ist der Übergang zur dimensionslosen Variablen t auch dadurch gut motiviert, daß die Propagatoren in der gebräuchlichen Darstellung die Energie gerade mit einer zu t direkt proportionalen Variablen parametrisieren. t ist also in gewissem Sinne eine “natürliche” Parametrisierung von E .

Kapitel 4

Die Selbstenergie des 2P-Zustands ($j=1/2$) zur sechsten Ordnung in Z_{α}

4.1 Der Hochenergie-Anteil

4.1.1 Allgemeines zur Rechenmethode

Bereits im Abschnitt 3.7 war gezeigt worden, daß man den Hochenergie-Anteil in Potenzen des bindenden Coulomb-Potentials aufspalten kann. Bis zur Ordnung α^6 tragen zum Matrix-Element

$$\tilde{P} = \langle \bar{\psi} | \gamma^{\mu} \frac{1}{\not{p} - \not{k} - m - \gamma^0 V} \gamma_{\mu} | \psi \rangle$$

gerade der 0-,1-,2- und 3-Vertex-Anteil bei. Wir wollen uns noch einmal die Form der Matrix-Elemente am Beispiel des 2-Vertex-Anteils in Erinnerung rufen.

$$\begin{aligned} \tilde{P}_2 &= \langle \psi | \gamma^0 \gamma^{\mu} \frac{1}{D} \gamma^0 V \frac{1}{D} \gamma^0 V \frac{1}{D} \gamma_{\mu} | \psi \rangle \\ &= \langle \bar{\psi} | M_2 | \psi \rangle \end{aligned} \quad (4.1)$$

mit der Matrix

$$M_2 = \gamma^0 \gamma^{\mu} \frac{1}{D} \gamma^0 V \frac{1}{D} \gamma^0 V \frac{1}{D} \gamma_{\mu}. \quad (4.2)$$

Hier soll auf die rechentechnischen Details der in Kapitel 3.7 beschriebenen Methode zur Auswertung eines Vertex-Anteils näher eingegangen werden.

1. Entwicklung der M_i -Matrizen in die 16 Γ -Matrizen gemäß der Gl. 3.24:

$$M_i = \sum_{\beta} a_{\beta} \Gamma^{\beta}. \quad (4.3)$$

Welche Matrizen hier beitragen, hängt vom Matrix-Element ab. Für den 3-Vertex-Anteil bekommen wir Beiträge nur von der Id-Matrix und von der γ^0 -Matrix, für den 2-Vertex tragen die Id-Matrix, die γ^0 -Matrix, die α^i -Matrizen und auch die Σ -Matrizen bei.

2. Entwicklung der a_{β} -Koeffizienten in Potenzen der Feinstrukturkonstanten α . Diese Entwicklung beruht im wesentlichen auf folgender Beobachtung: Die Matrizen sind aus freien Feynman-Propagatoren

$$S_F = \frac{1}{\not{p} - \not{k} - m}$$

mit dazwischen liegenden Potentialtermen aufgebaut. Den freien Feynman-Propagator kann man auch schreiben als

$$S_F = \frac{\not{p} - \not{k} + m}{(p - k)^2 - m^2}.$$

Mit der Bindungsenergie E_b des Elektrons

$$E_b = E_S + \delta E + \dots$$

(E_S = Schrödinger-Energie und δE = erste relativistische Korrektur) läßt sich der Nenner umformen zu

$$\begin{aligned} (p - k)^2 - m^2 &= (m + E_b - \omega)^2 - (\vec{p} - \vec{k})^2 - m^2 \\ &= m^2 + 2mE_b + E_b^2 + 2m\omega + 2E_b\omega + \omega^2 \\ &\quad - \vec{p}^2 + 2\vec{k} \cdot \vec{p} - \vec{k}^2 - m^2 \\ &= (\omega^2 - \vec{k}^2 - 2m\omega) + (2mE_b + E_b^2 + 2E_b\omega - \vec{p}^2 + 2\vec{k} \cdot \vec{p}). \end{aligned}$$

Wir erkennen an diesem Ausdruck den α^0 -Hauptteil

$$\omega^2 - \vec{k}^2 - 2m\omega$$

sowie höhere Terme

$$2mE_b + E_b^2 + 2E_b\omega - \vec{p}^2 + 2\vec{k} \cdot \vec{p}.$$

In diesen höheren Termen wird nun bis zur notwendigen Potenz in α entwickelt. Dadurch "rutschen" die Impulsoperatoren des Elektrons \vec{p} und Ausdrücke mit den Photonen-Impulsen $\vec{k} \cdot \vec{p}$ in den Zähler, und es entstehen neue Matrix-Elemente, die auszuwerten sind. Bei der Entwicklung muß man etwas Vorsicht walten lassen, denn die verschiedenen Impuls-Operatoren, die von den einzelnen Feynman-Propagatoren kommen, sind zu unterscheiden, da die von ihnen erzeugten Matrix-Elemente unterschiedliche Werte haben.

3. Mittelung über die räumlichen Anteile des Photonenimpulses.

Wie wir im vorigen Abschnitt gesehen haben, kommen bei der Entwicklung des Nenners des Elektronenpropagators Terme der Gestalt $\vec{k} \cdot \vec{p}$ vor. Da wir jedoch später über den gesamten R^3 integrieren wollen, können wir an dieser Stelle bereits die Mittelung über die räumlichen Winkel vornehmen und dadurch die Ausdrücke stark vereinfachen.

Die Mittelung über die Winkel erfolgt durch die Ersetzungs-Vorschrift:

$$f(\vec{k}) \rightarrow \frac{1}{4\pi} \int d\Omega f(\vec{k}). \quad (4.4)$$

Für diese Mittelung werden unter anderem die folgenden Formeln benötigt:

$$\frac{1}{4\pi} \int d\Omega (\vec{k} \cdot \vec{p}) (\vec{k} \cdot \vec{q}) = 1/3 \vec{k}^2 (\vec{p} \cdot \vec{q}) \quad (4.5)$$

$$\frac{1}{4\pi} \int d\Omega (\vec{k} \cdot \vec{p})^3 (\vec{k} \cdot \vec{q}) = 1/5 (\vec{k}^2)^2 \vec{p}^2 (\vec{p} \cdot \vec{q}) \quad (4.6)$$

$$\frac{1}{4\pi} \int d\Omega (\vec{k} \cdot \vec{p})^2 (\vec{k} \cdot \vec{q})^2 = 1/15 (\vec{k}^2)^2 (2(\vec{p} \cdot \vec{q})^2 + \vec{p}^2 \vec{q}^2) \quad (4.7)$$

$$\frac{1}{4\pi} \int d\Omega (\vec{k} \cdot \vec{p})^5 (\vec{k} \cdot \vec{q}) = 1/7 (\vec{k}^2)^3 (\vec{p} \cdot \vec{p})^2 (\vec{p} \cdot \vec{q}) \quad (4.8)$$

$$\frac{1}{4\pi} \int d\Omega (\vec{k} \cdot \vec{p})^4 (\vec{k} \cdot \vec{q})^2 = 1/35 (\vec{k}^2)^3 (\vec{p} \cdot \vec{p}) (4(\vec{p} \cdot \vec{q})^2 + \vec{p}^2 \vec{q}^2) \quad (4.9)$$

$$\frac{1}{4\pi} \int d\Omega (\vec{k} \cdot \vec{p})^3 (\vec{k} \cdot \vec{q})^3 = 1/35 (\vec{k}^2)^3 (2(\vec{p} \cdot \vec{q})^2 + 3\vec{p}^2 \vec{q}^2). \quad (4.10)$$

Diese Formeln gelten für zwei beliebige Vektoren \vec{p} und \vec{q} .

4. Ersetzung der Matrixelemente. In Abschnitt 3.7 war die Ersetzung der Matrix-Elemente am Beispiel

$$(\vec{p}V\vec{p}) f(\omega, |\vec{k}|) \rightarrow \langle \psi | (\vec{p}V\vec{p}) | \psi \rangle f(\omega, |\vec{k}|).$$

erläutert worden. Bis zur Ordnung α^6 ist das gesuchte Matrix-Element gegeben durch

$$\langle \psi | (\vec{p}V\vec{p}) | \psi \rangle = -\frac{5}{48}\alpha^4 m^3 - \frac{283}{1152}\alpha^6 m^3.$$

Zur computergestützten Berechnung dieses Matrix-Elements wird die Wellenfunktion des $2P_{1/2}$ -Zustandes explizit eingegeben und bis zur Ordnung α^6 entwickelt. Die Impuls- und andere Operatoren werden im Ortsraum explizit auf die Wellenfunktionen angewandt. Das Resultat wird in Potenzen von α geordnet. Dabei entstehen Ausdrücke mit mehreren tausend Termen. Alle diese Terme haben allerdings eine Standard-Struktur, so daß die Integration (bis auf einige Ausnahmen) mit wenigen Integrationsregeln durchgeführt werden kann. Dadurch wird die Rechnung um Größenordnungen beschleunigt. Würde man die in *Mathematica* eingebauten Integrations-Routinen benutzen, so würden die Rechnungen auch auf den schnellsten Maschinen bei weitem zu lange dauern.

Die Auswertung der Matrixelemente ist auch von Hand mit Hilfe von Kommutatorbeziehungen unter intensiver Ausnutzung der Algebra der Dirac-Gleichung mit Coulombfeld möglich. Bei Matrix-Elementen, die nur in der α^6 -Potenz beitragen, ist übrigens die Verwendung der nichtrelativistischen Approximation an die Dirac-Wellenfunktion $|\psi\rangle$, das heißt der Schrödinger-Wellenfunktion $|\phi\rangle$, möglich. Hier wollen wir nur einige sehr häufig verwendete Beziehungen unter den Operatoren vorstellen, die zur Auswertung der Matrix-Elemente von Hand nützlich sind. Es sind dies die für $|\psi\rangle$ geltende Dirac-Gleichung

$$\vec{\alpha} \cdot \vec{p} = E - \gamma^0 m - V,$$

die für $|\phi\rangle$ geltende Schrödinger-Gleichung

$$\vec{p}^2 = 2m(E - V)$$

sowie die Kommutatorbeziehung

$$ABA = 1/2([A, [B, A]] + A^2B + BA^2).$$

Diese Kommutatorbeziehung kann man zum Beispiel anwenden, um das Matrix-Element $\langle \psi | (\vec{p}V\vec{p}) | \psi \rangle$ folgendermaßen umzuformen:

$$\langle \psi | (\vec{p}V\vec{p}) | \psi \rangle = \langle \psi | \left(-\Delta(V) + 2\vec{p}^2 V \right) | \psi \rangle.$$

Dabei ergibt $\Delta(V)$ einen der δ -Funktion proportionalen Term. In erster Ordnung trägt dieser Term nicht bei, da die P -Wellenfunktion am Ursprung verschwindet. Die erste relativistische Korrektur indes verschwindet nicht, so daß sich in Ordnung α^6 ein weiterer Beitrag ergibt.

5. Zusammenfassung des Ergebnisses: Nach der Ersetzung aller Matrix-Elemente wird das Ergebnis in Potenzen von α zusammengefaßt und geordnet. Alle Vertex-Anteile tragen zur Ordnung α^6 bei, da wir einen gebundenen Zustand behandeln.

Zuletzt eine Bemerkung zu den angegebenen Teilergebnissen: In allen Zwischenergebnissen für die Matrix-Elemente und auch für die Resultate zu den einzelnen Vertex-Termen ersetzen wir der Einfachheit halber den Faktor $Z\alpha$ durch α , um ihn dann im Endergebnis voll auszuschreiben.

4.1.2 Der 3-Vertex Anteil

Der 3-Vertex-Anteil (3 Vertizes des Coulomb-Feldes zwischen den Photonen-Vertizes) wird durch das Feynman-Diagramm 4.1 wiedergegeben. Da dieser Beitrag am einfachsten auszuwerten ist, wollen wir uns ihm zuerst zuwenden. Es ist für den 3-Vertex-Anteil das Matrixelement

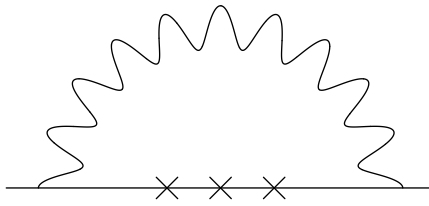


Abbildung 4.1: 3-Vertex-Anteil

$$\begin{aligned}\tilde{P}_3 &= \langle \psi | \gamma^0 \gamma^\mu \frac{1}{D} \gamma^0 V \frac{1}{D} \gamma^0 V \frac{1}{D} \gamma^0 V \frac{1}{D} \gamma^\mu | \psi \rangle \\ &= \langle \bar{\psi} | M_3 | \psi \rangle\end{aligned}\quad (4.11)$$

mit der Matrix

$$M_3 = \gamma^0 \gamma^\mu \frac{1}{D} \gamma^0 V \frac{1}{D} \gamma^0 V \frac{1}{D} \gamma^0 V \frac{1}{D} \gamma^\mu \quad (4.12)$$

auszuwerten. Zunächst zur Entwicklung von M_3 in die 16 Γ -Matrizen. Bis zur Ordnung α^6 sind nur die Entwicklungs-Koeffizienten von Id und γ^0 von Null verschieden. Der Entwicklungskoeffizient von Id lautet

$$\begin{aligned}a_{\text{Id}} &= V^3 \left(2 \left(-(\vec{k}^2)^2 - 8 \vec{k}^2 m^2 - 8 m^4 + 12 \vec{k}^2 m \omega + 16 m^3 \omega - \right. \right. \\ &\quad \left. \left. - 6 \vec{k}^2 \omega^2 - 12 m^2 \omega^2 + 4 m \omega^3 - \omega^4 \right) \right) / \left(\vec{k}^2 + 2 m \omega - \omega^2 \right)^4.\end{aligned}\quad (4.13)$$

Für den Entwicklungskoeffizienten von γ^0 ergibt sich:

$$a_{\gamma^0} = V^3 \frac{16 \left(\vec{k}^2 m^2 + 2 m^4 - \vec{k}^2 m \omega - 4 m^3 \omega + 3 m^2 \omega^2 - m \omega^3 \right)}{\left(\vec{k}^2 + 2 m \omega - \omega^2 \right)^4}.$$

Sowohl a_{Id} wie auch a_{γ^0} enthalten aufgrund des V^3 -Terms ausschließlich Anteile in α^6 . Da keine Entwicklung des Nenners des Elektronenpropagators in den Koeffizienten nötig ist, enthalten die Koeffizienten keine Skalarprodukte von \vec{k} mit anderen Vektoren, und wir brauchen keine Mittelung über die Winkel vorzunehmen. Die Koeffizienten liegen bereits in der Form

$$V^3 f(\omega, |\vec{k}|)$$

vor. Wir können also die Ersetzung bezüglich der Matrixelemente gemäß

$$a_{\text{Id}} = V^3 f(\omega, |\vec{k}|) \rightarrow \langle \psi | V^3 | \psi \rangle f(\omega, |\vec{k}|)$$

und

$$a_{\gamma^0} = V^3 f(\omega, |\vec{k}|) \rightarrow \langle \psi | \gamma^0 V^3 | \psi \rangle f(\omega, |\vec{k}|)$$

vornehmen. Die Matrixelemente lauten explizit (bis zur Ordnung α^6):

$$\langle \psi | V^3 | \psi \rangle = \langle \psi | \gamma^0 V^3 | \psi \rangle = -\frac{1}{24} \alpha^6 m^3.$$

Die besondere Form der P -Zustand-Wellenfunktion bedingt, daß die obigen Matrixelemente in α^6 konvergieren und somit die Auswertung durch eine Entwicklung des Ausdrucks 3.88 in Potenzen des Coulomb-Feldes möglich ist. Damit ist das Endergebnis für den 3-Vertex-Anteil

$$\begin{aligned}\tilde{P}_3 &= \alpha^6 \left((\vec{k}^2)^2 m^3 - 8 m^7 - 4 \vec{k}^2 m^4 \omega + 16 m^6 \omega + 6 \vec{k}^2 m^3 \omega^2 - \right. \\ &\quad \left. - 12 m^5 \omega^2 + 4 m^4 \omega^3 + m^3 \omega^4 \right) / \left(12 \left(\vec{k}^2 + 2 m \omega - \omega^2 \right)^4 \right).\end{aligned}\quad (4.14)$$

Somit ist der einfachste der Vertex-Anteile berechnet. Es gibt für den 3-Vertex-Anteil nur einen α^6 -Koeffizienten, da hier bereits 3 Coulomb-Vertizes enthalten sind, die einen Faktor $(Z\alpha)^6$ beitragen.

4.1.3 Der 2-Vertex Anteil

Der 2-Vertex-Anteil ist durch das Feynman-Diagramm 4.2 gegeben. Zwischen den Vertizes der virtuellen

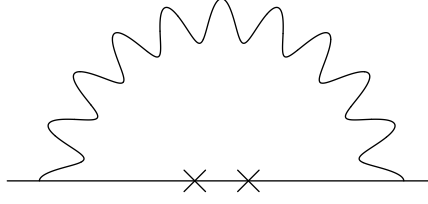


Abbildung 4.2: 2-Vertex-Anteil

Photonen wirkt das Coulomb-Feld zweimal auf das Elektron. Es ist somit das Matrixelement

$$\begin{aligned}\tilde{P}_2 &= \langle \psi | \gamma^0 \gamma^\mu \frac{1}{D} \gamma^0 V \frac{1}{D} \gamma^0 V \frac{1}{D} \gamma_\mu | \psi \rangle \\ &= \langle \bar{\psi} | M_2 | \psi \rangle\end{aligned}\quad (4.15)$$

mit der Matrix

$$M_2 = \gamma^0 \gamma^\mu \frac{1}{D} \gamma^0 V \frac{1}{D} \gamma^0 V \frac{1}{D} \gamma_\mu \quad (4.16)$$

auszuwerten. Bei der Entwicklung von M_2 in die Γ -Matrizen erhalten wir weit größere Terme als beim 3-Vertex-Anteil. Dafür sind zwei Gründe verantwortlich. Zum einen erhalten wir nichtverschwindende Koeffizienten sowohl für die Id-Matrix, die γ^0 -Matrix, die α^i -Matrizen wie auch für die Σ -Matrizen (alle anderen Projektionen verschwinden in der Ordnung $(Z\alpha)^6$). Zum anderen muß der Nenner im Elektronenpropagator in α entwickelt werden, was zu größeren Termen führt.

Aufgrund der Länge der auftretenden Terme verzichten wir auf eine Darstellung der Rechnung und gehen gleich zu den Matrix-Elementen über. Für die Ersetzung durch Matrix-Elemente in den Koeffizienten werden folgende Ausdrücke benötigt:

$$\langle \psi | V^2 | \psi \rangle = \frac{\alpha^4 m^2}{12} + \frac{47 \alpha^6 m^2}{288}, \quad (4.17)$$

$$\langle \psi | V^2 \vec{p}^2 | \psi \rangle = \frac{\alpha^6 m^4}{16}, \quad (4.18)$$

$$\langle \psi | V \vec{p} V \vec{p} | \psi \rangle = \frac{\alpha^6 m^4}{12}, \quad (4.19)$$

$$\langle \psi | V \vec{p}^2 V | \psi \rangle = \frac{5 \alpha^6 m^4}{48}, \quad (4.20)$$

$$\langle \psi | \vec{p} V^2 \vec{p} | \psi \rangle = \frac{5 \alpha^6 m^4}{48}. \quad (4.21)$$

Zur Auswertung der Matrix-Elemente werden im Abschnitt 4.1.1 einige Erklärungen gegeben. Für den γ^0 -Beitrag benötigen wir das folgende Matrix-Element

$$\langle \psi | \gamma^0 V^2 | \psi \rangle = \frac{\alpha^4 m^2}{12} + \frac{\alpha^6 m^2}{36}. \quad (4.22)$$

Alle anderen Matrix-Elemente für den γ^0 -Koeffizienten stimmen bis zur Ordnung α^6 mit den entsprechenden Matrix-Elementen für den Koeffizienten von Id überein. Für den Koeffizienten der α -Matrizen benötigen wir folgende Matrixelemente,

$$\langle \psi | V^2 (\vec{\alpha} \cdot \vec{p}) | \psi \rangle = \frac{\alpha^6 m^3}{6}, \quad (4.23)$$

$$\langle \psi | V (\vec{\alpha} \cdot \vec{p}) V | \psi \rangle = \frac{\alpha^6 m^3}{6}. \quad (4.24)$$

Schließlich benötigen wir für den Koeffizienten der Σ -Matrizen noch folgende Matrix-Elemente:

$$\langle \psi | V \vec{\Sigma} \cdot (\vec{p}V) \times \vec{p} | \psi \rangle = \frac{-i}{12} \alpha^6 m^4, \quad (4.25)$$

$$\langle \psi | \vec{\Sigma} \cdot (\vec{p}V^2) \times \vec{p} | \psi \rangle = \frac{-i}{6} \alpha^6 m^4. \quad (4.26)$$

Das Endresultat für den 2-Vertex-Anteil lautet:

$$\begin{aligned} \tilde{P}_2 = & \alpha^4 \left(\vec{k}^2 m^3 - 4 m^5 - 3 \vec{k}^2 m^2 \omega + 6 m^4 \omega - \right. \\ & \left. - 3 m^3 \omega^2 - m^2 \omega^3 \right) / \left(6 \left(\vec{k}^2 + 2 m \omega - \omega^2 \right)^3 \right) + \\ & \alpha^6 \left(132 (\vec{k}^2)^3 m^3 + 492 (\vec{k}^2)^2 m^5 - 432 \vec{k}^2 m^7 - 141 (\vec{k}^2)^3 m^2 \omega - \right. \\ & - 340 (\vec{k}^2)^2 m^4 \omega + 968 \vec{k}^2 m^6 \omega + 672 m^8 \omega - 558 (\vec{k}^2)^2 m^3 \omega^2 - \\ & - 264 \vec{k}^2 m^5 \omega^2 - 1904 m^7 \omega^2 + 235 (\vec{k}^2)^2 m^2 \omega^3 - \\ & - 644 \vec{k}^2 m^4 \omega^3 + 2120 m^6 \omega^3 + 280 \vec{k}^2 m^3 \omega^4 - 1052 m^5 \omega^4 - \\ & \left. - 47 \vec{k}^2 m^2 \omega^5 + 88 m^4 \omega^5 + 146 m^3 \omega^6 - 47 m^2 \omega^7 \right) / \\ & \left(144 \left(\vec{k}^2 + 2 m \omega - \omega^2 \right)^5 \right). \end{aligned} \quad (4.27)$$

4.1.4 Der 1-Vertex Anteil

Dem 1-Vertex-Anteil (1 Vertex des Coulomb-Feldes zwischen den Photonen-Vertizes) entspricht dem Feynman-Diagramm 4.3. Zwischen den Photonen-Vertizes wirkt das bindende Coulomb-Feld einmal auf

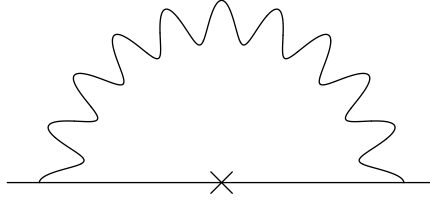


Abbildung 4.3: 1-Vertex-Anteil

das Elektron. Es ist somit das Matrixelement

$$\begin{aligned} \tilde{P}_1 &= \langle \psi | \gamma^0 \gamma^\mu \frac{1}{D} \gamma^0 V \frac{1}{D} \gamma_\mu | \psi \rangle \\ &= \langle \bar{\psi} | M_1 | \psi \rangle \end{aligned} \quad (4.28)$$

auszuwerten, wobei für die Matrix M_1 gilt:

$$M_1 = \gamma^0 \gamma^\mu \frac{1}{D} \gamma^0 V \frac{1}{D} \gamma_\mu. \quad (4.29)$$

Wie beim 2-Vertex-Anteil verzichten wir wegen der Länge der Terme auf eine Aufführung der Entwicklungskoeffizienten. In der Ordnung α^6 erhalten wir Beiträge für die Id-Matrix, die γ^0 -Matrix, die α^i -Matrizen wie auch für die Σ -Matrizen (alle anderen Projektionen verschwinden in der Ordnung α^6). Anbei eine Liste der für diesen 1-Vertex Anteil berechneten Matrixelemente:

$$\langle \psi | V | \psi \rangle = \frac{-\alpha^2 m}{4} - \frac{5 \alpha^4 m}{32} - \frac{63 \alpha^6 m}{512}, \quad (4.30)$$

$$\langle \psi | V \vec{p}^2 | \psi \rangle = \frac{-5 \alpha^4 m^3}{48} - \frac{337 \alpha^6 m^3}{1152}, \quad (4.31)$$

$$\langle \psi | \vec{p} V \vec{p} | \psi \rangle = \frac{-5 \alpha^4 m^3}{48} - \frac{283 \alpha^6 m^3}{1152}, \quad (4.32)$$

$$\langle \psi | V (\vec{p}^2)^2 | \psi \rangle = \frac{-35 \alpha^6 m^5}{192}, \quad (4.33)$$

$$\langle \psi | \vec{p}^2 V \vec{p}^2 | \psi \rangle = \frac{-19 \alpha^6 m^5}{192}, \quad (4.34)$$

$$\langle \psi | (\vec{p} V \vec{p}) \vec{p}^2 | \psi \rangle = \frac{-9 \alpha^6 m^5}{64}, \quad (4.35)$$

$$\langle \psi | \vec{p} (\vec{p} V \vec{p}) \vec{p} | \psi \rangle = \frac{-5 \alpha^6 m^5}{64}. \quad (4.36)$$

Für den γ^0 -Koeffizienten benötigen wir zusätzlich weitere Matrix-Elemente,

$$\langle \psi | \gamma^0 V | \psi \rangle = \frac{-(\alpha^2 m)}{4} - \frac{\alpha^4 m}{16} - \frac{\alpha^6 m}{32}, \quad (4.37)$$

$$\langle \psi | \gamma^0 V \vec{p}^2 | \psi \rangle = \frac{-5 \alpha^4 m^3}{48} - \frac{43 \alpha^6 m^3}{288}, \quad (4.38)$$

$$\langle \psi | \gamma^0 (\vec{p} V \vec{p}) | \psi \rangle = \frac{-5 \alpha^4 m^3}{48} - \frac{113 \alpha^6 m^3}{576}, \quad (4.39)$$

$$\langle \psi | \gamma^0 V (\vec{p}^2)^2 | \psi \rangle = \frac{-35 \alpha^6 m^5}{192}, \quad (4.40)$$

$$\langle \psi | \gamma^0 \vec{p}^2 V \vec{p}^2 | \psi \rangle = \frac{-19 \alpha^6 m^5}{192}, \quad (4.41)$$

$$\langle \psi | \gamma^0 (\vec{p} V \vec{p}) \vec{p}^2 | \psi \rangle = \frac{-9 \alpha^6 m^5}{64}, \quad (4.42)$$

$$\langle \psi | \gamma^0 \vec{p} (\vec{p} V \vec{p}) \vec{p} | \psi \rangle = \frac{-5 \alpha^6 m^5}{64}, \quad (4.43)$$

Für den Koeffizienten der α^i -Matrizen erhalten wir die folgenden Matrixelemente:

$$\langle \psi | V (\vec{\alpha} \cdot \vec{p}) | \psi \rangle = \frac{-7 \alpha^4 m^2}{48} - \frac{65 \alpha^6 m^2}{288}, \quad (4.44)$$

$$\langle \psi | V (\vec{\alpha} \cdot \vec{p}) V | \psi \rangle = \frac{-37 \alpha^6 m^4}{192}, \quad (4.45)$$

$$\langle \psi | V \vec{p}^2 (\vec{\alpha} \cdot \vec{p}) | \psi \rangle = \frac{-15 \alpha^6 m^4}{64}, \quad (4.46)$$

$$\langle \psi | (\vec{\alpha} \cdot \vec{p}) (\vec{p} V \vec{p}) | \psi \rangle = \frac{-23 \alpha^6 m^4}{192}. \quad (4.47)$$

Schließlich benötigen wir für den Koeffizienten der Σ -Matrizen noch folgende Matrixelemente:

$$\langle \psi | \vec{\Sigma} \cdot (\vec{p} V) \times \vec{p} | \psi \rangle = \frac{i}{12} \alpha^4 m^3 + \frac{121 i}{576} \alpha^6 m^3, \quad (4.48)$$

$$\langle \psi | \left(\vec{\Sigma} \cdot (\vec{p} V) \times \vec{p} \right) \vec{p}^2 | \psi \rangle = \frac{7 i}{48} \alpha^6 m^5,$$

$$\langle \psi | \vec{p} \left(\vec{\Sigma} \cdot (\vec{p} V^2) \times \vec{p} \right) \vec{p} | \psi \rangle = \frac{i}{48} \alpha^6 m^5. \quad (4.49)$$

Das Ergebnis für den 1-Vertex-Anteil lautet:

$$\begin{aligned}
\tilde{P}_1 = & \frac{\alpha^2 \left(\vec{k}^2 m - 2 m^3 + 2 m^2 \omega + m \omega^2 \right)}{2 \left(\vec{k}^2 + 2 m \omega - \omega^2 \right)^2} + & (4.50) \\
& + \alpha^4 \left(45 (\vec{k}^2)^3 m + 46 (\vec{k}^2)^2 m^3 - 48 \vec{k}^2 m^5 + 188 (\vec{k}^2)^2 m^2 \omega - \right. \\
& - 256 \vec{k}^2 m^4 \omega + 384 m^6 \omega - 45 (\vec{k}^2)^2 m \omega^2 + \\
& + 576 \vec{k}^2 m^3 \omega^2 - 888 m^5 \omega^2 - 56 \vec{k}^2 m^2 \omega^3 + 720 m^4 \omega^3 - \\
& \left. - 45 \vec{k}^2 m \omega^4 - 102 m^3 \omega^4 - 132 m^2 \omega^5 + 45 m \omega^6 \right) / \left(144 \left(\vec{k}^2 + 2 m \omega - \omega^2 \right)^4 \right) + \\
& \alpha^6 \left(8505 (\vec{k}^2)^5 m + 19790 (\vec{k}^2)^4 m^3 - 43296 (\vec{k}^2)^3 m^5 - 16128 (\vec{k}^2)^2 m^7 + \right. \\
& + 61420 (\vec{k}^2)^4 m^2 \omega - 22104 (\vec{k}^2)^3 m^4 \omega - 477312 (\vec{k}^2)^2 m^6 \omega + \\
& + 430080 \vec{k}^2 m^8 \omega - 25515 (\vec{k}^2)^4 m \omega^2 + 279240 (\vec{k}^2)^3 m^3 \omega^2 - 34224 (\vec{k}^2)^2 m^5 \omega^2 - \\
& - 474240 \vec{k}^2 m^7 \omega^2 - 368640 m^9 \omega^2 - 135000 (\vec{k}^2)^3 m^2 \omega^3 + 1011864 (\vec{k}^2)^2 m^4 \omega^3 - \\
& - 1040480 \vec{k}^2 m^6 \omega^3 + 1413120 m^8 \omega^3 + 17010 (\vec{k}^2)^3 m \omega^4 - 561180 (\vec{k}^2)^2 m^3 \omega^4 + \\
& + 2020400 \vec{k}^2 m^5 \omega^4 - 2366880 m^7 \omega^4 + 36480 (\vec{k}^2)^2 m^2 \omega^5 - 1269960 \vec{k}^2 m^4 \omega^5 + \\
& + 2243040 m^6 \omega^5 + 17010 (\vec{k}^2)^2 m \omega^6 + 205480 \vec{k}^2 m^3 \omega^6 - 1212480 m^5 \omega^6 + \\
& + 86360 \vec{k}^2 m^2 \omega^7 + 280200 m^4 \omega^7 - 25515 \vec{k}^2 m \omega^8 + 56670 m^3 \omega^8 - \\
& \left. - 49260 m^2 \omega^9 + 8505 m \omega^{10} \right) / \left(34560 \left(\vec{k}^2 + 2 m \omega - \omega^2 \right)^6 \right). & (4.51)
\end{aligned}$$

4.1.5 Der 0-Vertex Anteil

Im 0-Vertex-Anteil rechnen wir mit der Selbstenergiefunktion des freien Elektrons, das heißt, wir werten das Diagramm 4.4 aus (die äußeren Spinoren sind wie in jeder Berechnung der gebundenen Selbstenergie die Dirac-Coulomb-Wellenfunktionen, nicht die freien Spinoren). Es ist somit das Matrixelement

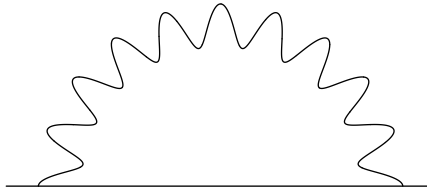


Abbildung 4.4: 0-Vertex-Anteil

$$\tilde{P}_0 = \langle \psi | \gamma^0 \gamma^\mu \frac{1}{D} \gamma_\mu | \psi \rangle \quad (4.52)$$

$$= \langle \bar{\psi} | M_3 | \psi \rangle, \quad (4.53)$$

auszuwerten, wobei für die Matrix M_0 gilt:

$$M_0 = \gamma^0 \gamma^\mu \frac{1}{D} \gamma_\mu. \quad (4.54)$$

Wie üblich beschränken wir uns auf die Angabe der relevanten Matrix-Elemente. Wir erhalten Beiträge für die Id-Matrix, die γ^0 -Matrix und die α^i -Matrizen (alle anderen Projektionen verschwinden in der Ordnung α^6). Für den Beitrag der Id-Matrix benötigen wir die folgenden Matrix-Elemente

$$\langle \psi | \psi \rangle = 1 \quad (\text{Normierung}), \quad (4.55)$$

$$\langle \psi | \vec{p}^2 | \psi \rangle = \frac{\alpha^2 m^2}{4} + \frac{13 \alpha^4 m^2}{48} + \frac{23 \alpha^6 m^2}{72}, \quad (4.56)$$

$$\langle \psi | (\vec{p}^2)^2 | \psi \rangle = \frac{7 \alpha^4 m^4}{48} + \frac{167 \alpha^6 m^4}{288}, \quad (4.57)$$

$$\langle \psi | (\vec{p}^2)^3 | \psi \rangle = \frac{21 \alpha^6 m^6}{64}. \quad (4.58)$$

Für die γ^0 -Matrix werden die nachfolgenden Elemente gebraucht:

$$\langle \psi | \gamma^0 | \psi \rangle = 1 - \frac{\alpha^2}{8} - \frac{5 \alpha^4}{128} - \frac{21 \alpha^6}{1024}, \quad (4.59)$$

$$\langle \psi | \gamma^0 \vec{p}^2 | \psi \rangle = \frac{\alpha^2 m^2}{4} + \frac{19 \alpha^4 m^2}{96} + \frac{943 \alpha^6 m^2}{4608}, \quad (4.60)$$

$$\langle \psi | \gamma^0 (\vec{p}^2)^2 | \psi \rangle = \frac{7 \alpha^4 m^4}{48} + \frac{479 \alpha^6 m^4}{1152}. \quad (4.61)$$

Für die Matrix-Elemente mit den α -Matrizen gilt:

$$\langle \psi | (\vec{\alpha} \cdot \vec{p}) | \psi \rangle = \frac{\alpha^2 m}{4} + \frac{5 \alpha^4 m}{32} + \frac{63 \alpha^6 m}{512}, \quad (4.62)$$

$$\langle \psi | (\vec{\alpha} \cdot \vec{p}) \vec{p}^2 | \psi \rangle = \frac{7 \alpha^4 m^3}{48} + \frac{419 \alpha^6 m^3}{1152}, \quad (4.63)$$

$$\langle \psi | (\vec{\alpha} \cdot \vec{p}) (\vec{p}^2)^2 | \psi \rangle = \frac{21 \alpha^6 m^5}{64}. \quad (4.64)$$

Auf eine Angabe des Endergebnisses für den 0-Vertex-Anteil wird hier aufgrund der Länge des Ausdrucks verzichtet. Der Ausdruck würde mehr als eine Seite füllen, ist jedoch von seiner Struktur her dem Ergebnis für den 1-Vertex-Anteil sehr ähnlich. Er ist von der Gestalt:

$$\begin{aligned} \tilde{P}_0 &= \frac{-2(m + \omega)}{\vec{k}^2 + 2m\omega - \omega^2} + \\ &+ \alpha^2(\dots) + \alpha^4(\dots) + \alpha^6(\dots) \end{aligned} \quad (4.65)$$

Den α^0 -Koeffizient kennen wir bereits. Er entspricht gerade dem Integranden der parametrischen Darstellung des Massen-Gegenterms, die wir in Abschnitt 2.37 kennengelernt hatten. Somit hebt sich dieser (bei Integration über $|\vec{k}|$ und ω divergente) Ausdruck gerade heraus, und das Integral konvergiert.

4.1.6 Der Massen-Gegenterm

Wie leicht zu erkennen, würde der erste Term im Matrix-Element \tilde{P}_0 auch bei Integration bzgl. des 4-Impulses des virtuellen Photons auch nach Regularisierung des Photonpropagators noch divergieren.

Der Massen-Gegenterm (die Massen-Renormierung) gleicht, wie bereits im Kapitel über die Theorie des Selbstenergie-Beitrages, diese Divergenz gerade aus. Wir erhalten mit der parametrischen Darstellung des Massen-Gegenterms 2.37

$$\delta m = -ie^2 \int \frac{d^4 k}{(2\pi)^4} \left[\frac{1}{k^2} - \frac{1}{k^2 - M^2} \right] \frac{2(m + \omega)}{k^2 - 2m\omega}$$

den Integranden des Massen-Gegenterms als

$$\frac{2(m + \omega)}{k^2 - 2m\omega}$$

mit $k^2 = \omega^2 - \vec{k}^2$. Wenn man dann noch das Matrix-Element

$$\langle \bar{\psi} | \psi \rangle = \langle \psi | \gamma^0 | \psi \rangle = 1 - \frac{\alpha^2}{8} - \frac{5\alpha^4}{128} - \frac{21\alpha^6}{1024}$$

einsetzt, so ergibt sich der Integrand des Massen-Gegenterms, $\langle \bar{\psi} | \delta m | \psi \rangle$, als Matrix-Element mit $|\psi\rangle$ geschrieben, zu

$$\begin{aligned} \langle \psi | \gamma^0 \delta m | \psi \rangle &= \frac{-2(m + \omega)}{\vec{k}^2 + 2m\omega - \omega^2} + \frac{\alpha^2(m + \omega)}{4(\vec{k}^2 + 2m\omega - \omega^2)} + \\ &+ \frac{5\alpha^4(m + \omega)}{64(\vec{k}^2 + 2m\omega - \omega^2)} + \frac{21\alpha^6(m + \omega)}{512(\vec{k}^2 + 2m\omega - \omega^2)}. \end{aligned} \quad (4.66)$$

4.1.7 Die k- und omega-Integration

Den letzten Schritt bei der Berechnung des Hochenergie-Anteils bilden die $|\vec{k}|$ und die ω -Integrationen. Die Ergebnisse für den 0-,1-,2- und 3-Vertex-Anteil werden aufaddiert (siehe Gl. 3.95)

$$\tilde{P} = \tilde{P}_0 + \tilde{P}_1 + \tilde{P}_2 + \tilde{P}_3$$

und ergeben das Matrixelement \tilde{P} bis zur Ordnung α^6 . Dieses Matrix-Element wird durch Abzug des Massen-Gegenterms renormiert und bezüglich $|\vec{k}|$ und ω integriert.

Den ersten Schritt bildet die $|\vec{k}|$ -Integration. Wir definieren die Abkürzung

$$X \equiv \sqrt{2m\omega - \omega^2}, \quad (4.67)$$

um die Ausdrücke in der Rechnung in ihrer Länge zu kontrollieren. Nach gewissen Umformungen des Integranden ist die einzige Formel, die zur Integration bzgl. $|\vec{k}|$ benötigt wird

$$\frac{1}{2\pi i} \int_{-\infty}^{\infty} \frac{1}{k^2 - \omega^2} \frac{1}{(X^2 + k^2)^n} = \quad (4.68)$$

$$= \frac{1}{2|\omega|} \frac{1}{\omega^2 + X^2} + \frac{(-1)^n}{(n-1)!} \frac{\partial^{n-1}}{\partial (X^2)^{n-1}} \frac{i}{2X} \frac{1}{\omega^2 + X^2}, \quad (4.69)$$

wobei die Betragsfunktion für komplexes Argument ω wie folgt erklärt ist,

$$|\omega| = \text{sgn}(\Im(\omega)) \omega, \quad (4.70)$$

d. h.

$$|\omega| = +\omega \quad \text{falls} \quad \Im(\omega) > 0, \quad (4.71)$$

$$|\omega| = -\omega \quad \text{falls} \quad \Im(\omega) < 0.$$

Die Formel 4.68 kann man durch Vorziehen der Differentiation nach X^2 vor das Integral und mit Anwendung des Residuensatzes leicht nachrechnen.

Für die ω -Integration werden ultraviolett divergente Ausdrücke regularisiert, es werden Feynman-Parameter eingeführt und die Integration kovariant ausgeführt. Für die ultraviolett konvergenten Ausdrücke wird zunächst die Integrationsvariable reskaliert und auf eine dimensionslose Größe zurückgeführt. Es wird definiert

$$u = \frac{X + i\omega}{X - i\omega} \quad (4.72)$$

(mit $X \equiv \sqrt{2m\omega - \omega^2}$). Die ω -Integration wird durch folgende Überlegung erleichtert: Der Integrand hat eine Verzweigung auf der positiven reellen Achse, d.h. der Realteil des Integranden liegt unterhalb der reellen Achse ist gerade das Negative des Realteils oberhalb dieser Achse, wie man an der Formel 4.68 erkennt, und der Imaginärteil behält gerade sein Vorzeichen bei. Da auf dem Integrationsweg C_H unterhalb der reellen Achse in negativer Richtung integriert wird, ergibt sich daraus, daß der Wert des Integrals auf dem unteren Ast das konjugiert-Komplexe des Integrals auf dem oberen Ast ist. Die Integration nach u und Entwicklung im Infrarot-Regulator ϵ erfolgt mit Formeln, die zum Beispiel in [19] zu finden sind.

4.1.8 Ergebnis des Hochenergie-Anteils

Nach der Auführung der $|\vec{k}|$ und ω -Integration und Ersetzung von α durch $Z\alpha$ lautet das Ergebnis für den F -Faktor des Hochenergie-Anteils

$$F_H = -\frac{1}{6} + \left[\frac{4177}{21600} - \frac{103}{180} \ln(2) \right] (Z\alpha)^2 - \frac{2(Z\alpha)^2}{9\epsilon} - \frac{103}{180} (Z\alpha)^2 \ln(\epsilon) \quad (4.73)$$

Die Divergenzen in Termen des Abschneideparameters ϵ werden sich durch entsprechende Terme im Niedrigenergie-Anteil gerade herausheben.

4.2 Der Niedrigenergie-Anteil

4.2.1 Allgemeines zur Rechenmethode

In dem gesamten Abschnitt über den Niedrigenergie-Anteil wird es darum gehen, ein allgemeines Matrix-Elemente der Form

$$P_{\text{allg.}}(\omega) = \langle \phi | \mathcal{O}_1 p^i \frac{1}{H_S - (E_S - \omega)} p^j \mathcal{O}_2 | \phi \rangle \quad (4.74)$$

zu berechnen. Dabei ist $E_S = E_\phi$ die Schrödinger-Energie des Zustands $|\phi\rangle$, und wir führen eine Variablen-Transformation zum Parameter t mit

$$t = \frac{\lambda}{X}$$

durch, wobei

$$\lambda = \frac{\alpha m}{2} \quad \text{sowie} \quad X = \sqrt{-2m(E_\phi - \omega)} \quad (4.75)$$

(siehe Abschnitt 3.8, insbesondere Gl. 3.126). \mathcal{O}_1 und \mathcal{O}_2 sind Operatoren, die den Drehimpuls nicht ändern, also beispielsweise skalare Funktionen von r .

Haben wir $P(\omega)$ bzw. $P(t)$ erst einmal berechnet, so ergibt sich der gesuchte Beitrag zu F durch

$$F = -\frac{1}{2} \int_{t_\epsilon}^1 dt \frac{1-t^2}{t^5} P(t)$$

(siehe Gl. 3.130). Wie ein solches Matrix-Element, welches den Propagator beinhaltet, im einzelnen berechnet wird, wollen wir hier skizzieren.

Wir beschränken uns in dieser allgemeinen Diskussion auch auf den Fall der Darstellung des Propagators im Ortsraum und mit Laguerre-Polynomen. Wie wir im Abschnitt 4.2.2 noch sehen werden, wird für manche Matrix-Elemente eine andere Darstellung des Photonpropagators gewählt. Bis auf ein einziges Matrix-Element wird jedoch im Ortsraum gerechnet, und wir haben als Ansatz für den Photonpropagator

$$G(\vec{r}_1, \vec{r}_2, E) = \sum_{lm} g_l(r_1, r_2, \nu) Y_{lm}(\theta_1, \phi_1) Y_{lm}^*(\theta_2, \phi_2) \quad (4.76)$$

mit noch zu bestimmenden Funktionen $g_l(r_1, r_2, \nu)$. Die Ausdrücke für $g_l(r_1, r_2, \nu)$ beinhalten noch eine Summation über Laguerre-Polynome k -ter Stufe von $k = 0$ bis ∞ (siehe Abschnitt 4.2.2). Die Berechnung von $P_{\text{allg.}}$ erfolgt nun in folgenden Schritten:

1. Ausführen der Winkelintegration. Da die P -Wellenfunktionen den Drehimpuls $l = 1$ haben und durch die Wirkung von p^i in Komponenten für $l = 0$ und $l = 2$ aufgespalten werden, ist die Winkelintegration bezüglich der Kugelfunktionen relativ einfach durchzuführen. Einzelheiten dazu finden sich im Abschnitt 4.2.2, in dem auf die mathematischen Grundlagen der Auswertung von P -Matrix-Elementen eingegangen wird.
2. Ausführen der Integration des Radialteils. Die verbleibende Integration bezüglich r_1 und r_2 wird mit Formeln erledigt, die ebenfalls in Abschnitt 4.2.2 diskutiert werden.
3. Summation über k . Diese Summation wird mit Formeln erledigt, die zum Teil durch computergestützte Rechnungen hergeleitet worden sind. Alle so nicht in der Literatur verzeichneten und eigens hergeleiteten Summenformeln wurden intensiv an Beispielen geprüft.
4. Zusammenhangsformeln zur Vereinfachung der hypergeometrischen Funktionen. Durch die Anwendung von Gaußschen Zusammenhangsformeln der hypergeometrischen Funktionen werden diese vereinfacht, und das Ergebnis wird in eine "lesbare" Form gebracht.

Durch Integration nach t gemäß Formel 3.130 ergibt sich dann der gesuchte F -Faktor. Diese Integration erfolgt in folgenden Schritten:

- (a) Die hypergeometrischen Funktionen werden um die Stelle $\omega = 0$ ($t = 1$) entwickelt, um einen bei $t = 1$ konvergenten Ausdruck zu erhalten. Der entstehende Ausdruck (der "divergente Anteil") enthält alle Divergenzen für $t \rightarrow 0$ ($\omega \rightarrow \infty$). Der verbleibende ("nicht-divergente") Ausdruck ist bei $t = 1$ und $t = 0$ konvergent und liefert einen weiteren Beitrag zum F -Faktor. Da dieser Ausdruck hypergeometrische Funktionen enthält, wird er numerisch integriert (es handelt sich um eine einfache eindimensionale Integration).
- (b) Integration des divergenten Anteils mit *Mathematica*-eigenen Routinen von $t = t_\epsilon$ bis $t = 1$ (mit t_ϵ gegeben durch 3.129).
- (c) Symbolische Entwicklung des Resultats der Integration des divergenten Anteils in α bis α^2 , danach in ϵ bis ϵ^0 .
- (d) Berechnung des nicht-divergenten numerischen Anteils als einfache eindimensionale numerische Integration (Gaußsche Quadratur).
- (e) Addition des divergenten und des nicht-divergenten Anteils ergibt F .

Da die letztgenannten Schritte zur Berechnung von F mathematisch nicht besonders anspruchsvoll sind, werden sie in dieser Arbeit nicht näher erläutert. Wie bereits im Hochenergie-Anteil ersetzen wir in den Zwischenergebnissen der Einfachheit halber den Faktor $Z\alpha$ durch α , um ihn dann im Endergebnis voll auszuschreiben.

4.2.2 Mathematische Vorbereitungen

Verschiedene Darstellungen des Propagators

Für unsere Rechnungen brauchen wir häufig den Propagator

$$G(E) = \frac{1}{H_S - E}$$

der Schrödinger-Gleichung. Im Ortsraum lautet die Gl. 4.2.2 gerade

$$(H_S - E) G(\vec{r}_1, \vec{r}_2, E) = \delta(\vec{r}_1 - \vec{r}_2). \quad (4.77)$$

Man kann diese Gleichung lösen mit dem Ansatz (siehe [16])

$$G(\vec{r}_1, \vec{r}_2, E) = \sum_{lm} g_l(r_1, r_2, \nu) Y_{lm}(\theta_1, \phi_1) Y_{lm}^*(\theta_2, \phi_2) \quad (4.78)$$

mit ν als "Energie-Parameter" gemäß

$$\nu^2 a^2 = -\frac{1}{2mE},$$

wobei $a = a_{Bohr} = 1/(\alpha m)$ der Bohrsche Radius ist. Setzt man nun für unsere Arbeit

$$E = E_\phi - \omega,$$

so folgt nach einer kurzen Rechnung

$$\nu = 2 \frac{\alpha m/2}{\sqrt{2m(E_\phi - \omega)}} = 2t, \quad (4.79)$$

wobei der t -Parameter gerade der in Abschnitt 4.2.1 eingeführte Integrationsparameter ist

Für die Funktion $g_l(r_1, r_2, E)$ (den Radialteil des Schrödinger-Coulomb-Propagators) werden in dieser Arbeit zwei Darstellungen benutzt. Zunächst wollen wir uns der Darstellung

$$\begin{aligned} g_l(r_1, r_2, \nu) &= 2m \left(\frac{2}{a\nu}\right)^{2l+1} (r_1 r_2)^l \exp\left(-\frac{r_1 + r_2}{a\nu}\right) \times \\ &\times \sum_{k=0}^{\infty} \frac{k!}{(2l+1+k)!(l+1+k-\nu)} L_k^{2l+1}\left(\frac{2r_1}{a\nu}\right) L_k^{2l+1}\left(\frac{2r_2}{a\nu}\right) \end{aligned} \quad (4.80)$$

mit L_a^b als dem assoziierten Laguerre-Polynom der Stufe (a, b) zuwenden.

Den Radialteil des Schrödinger-Coulomb-Propagators kann man auch mittels Whittaker-Funktionen darstellen.

$$g_l(r_1, r_2, \nu) = m a \nu \frac{\Gamma(l+1-\nu)}{(2l+1)!} \frac{1}{r_1 r_2} M_{\nu, l+1/2}\left(\frac{2r_{\leq}}{a\nu}\right) W_{\nu, l+1/2}\left(\frac{2r_{\geq}}{a\nu}\right) \quad (4.81)$$

Für zwei der Matrix-Elemente benötigen wir noch die Schwingersche Darstellung des Propagators im Impulsraum

$$\begin{aligned} G(\vec{p}, \vec{p}', E_\phi - \omega) &= 4\pi m X^3 \left(\frac{ie^{i\pi\tau}}{2 \sin \pi\tau}\right) \int_1^{0^+} d\rho \rho^{-\tau} \frac{\partial}{\partial \rho} \\ &\times \frac{1-\rho^2}{\rho} \frac{1}{\left[X^2(\vec{p}-\vec{p}')^2 + (p^2 + X^2)(p'^2 + X^2) \frac{(1-\rho)^2}{4\rho}\right]^2} \end{aligned} \quad (4.82)$$

mit $X = \sqrt{-2m(E_\phi - \omega)}$ und $\tau = m\alpha/X = 2t$.

Winkelintegration

Da die drei P -Wellenfunktion die Drehimpuls-Quantenzahl $l = 1$ haben, transformieren sie sich unter Drehungen wie ein Vektor (siehe zum Beispiel [4], Seite 425 ff.). Man kann daher P_x -, P_y und P_z Orbitale identifizieren mit

$$\phi^l(\vec{r}) = r^l \tilde{\phi}(r) \quad (4.83)$$

wobei $r^1 = x$, $r^2 = y$ und $r^3 = z$ (siehe Konventionen). Es ist

$$\tilde{\phi}(r) = \frac{\alpha^{\frac{5}{2}} m^{\frac{5}{2}}}{4 \sqrt{2} \pi} e^{-\frac{\alpha m r}{2}} \quad (4.84)$$

eine Funktion, die nur von r abhängt. Die zu berechnenden Matrix-Elemente ergeben sich dann aus der Mittelung über die drei verschiedenen P -Orbitale.

Nun folgt eine generelle Eigenschaft von Funktionen des Typs $p^i r^j f(r)$. Aus dem Additionsgesetz für Drehimpulse bzw. ganz explizit aus der Formel

$$p^i r^j f(r) = -i \frac{1}{3} \delta^{ij} [(3f(r) + r f'(r))] - i \left[\hat{r}^i \hat{r}^j - \frac{1}{3} \delta^{ij} \right] (r f'(r)) \quad (4.85)$$

erkennt man, daß die Funktionen $p^i r^j f(r)$ aufspalten in einen Anteil mit $l = 0$ und einen Anteil mit $l = 2$. Der $l = 0$ -Anteil ist gerade

$$-i \frac{1}{3} \delta^{ij} [(3f(r) + r f'(r))],$$

und der $l = 2$ -Anteil ergibt sich aus

$$-i \left[\hat{r}^i \hat{r}^j - \frac{1}{3} \delta^{ij} \right] (r f'(r)).$$

Außerdem haben wir folgende generelle Eigenschaft der Kugelfunktionen. Für zwei Funktionen $h_1(\theta, \phi)$ und $h_2(\theta, \phi)$ mit

$$h_i(r, \theta, \phi) = \sum_{l,m} c_{l,m}(r) Y_{l,m}(\theta, \phi) \quad (4.86)$$

mit der $l = l'$ -Komponente

$$h_{i,l=l'}(\theta, \phi) = \sum_m c_{l',m}(r) Y_{l',m}(\theta, \phi) \quad (4.87)$$

(keine Summation über l') gilt

$$\int d\Omega_1 \int d\Omega_2 h_1^*(r_1, \theta_1, \phi_1) \sum_m Y_{l',m}(\theta_1, \phi_1) Y_{l',m}^*(\theta_2, \phi_2) h_2^*(r_2, \theta_2, \phi_2) = \quad (4.88)$$

$$\int d\Omega h_{1,l=l'}^*(r_1, \theta, \phi) h_{2,l=l'}(r_2, \theta, \phi).$$

Daher gilt mit

$$f_1(r) = \mathcal{O}_1 \tilde{\phi}(r) \quad (4.89)$$

und

$$f_2(r) = \mathcal{O}_2 \tilde{\phi}(r) \quad (4.90)$$

die folgende Umformung:

$$\begin{aligned}
P_{\text{allg.}}(\omega) &= \langle \phi | \mathcal{O}_1 p^i \frac{1}{H_S - (E_S - \omega)} p^i \mathcal{O}_2 | \phi \rangle \quad (4.91) \\
&= \frac{1}{3} \langle \phi^l | \mathcal{O}_1 p^i \frac{1}{H_S - (E_S - \omega)} p^i \mathcal{O}_2 | \phi^l \rangle \\
&= \frac{1}{3} \int dr_1 dr_2 r_1^2 r_2^2 d\Omega_1 d\Omega_2 \left((p^i r^l f_1)(r_1, \theta_1, \phi_1) \right)^* \sum_{lm} g_l(r_1, r_2, \nu) \times \\
&\quad \times Y_{lm}(\theta_1, \phi_1) Y_{lm}^*(\theta_2, \phi_2) \left((p^i r^l f_2)(r_2, \theta_2, \phi_2) \right) \\
&= \frac{1}{3} \int dr_1 dr_2 r_1^2 r_2^2 d\Omega \left(\left((p^i r^l f_1)(r_1, \theta, \phi) \right)_{l=0}^* g_0(r_1, r_2, \nu) \left((p^i r^l f_2)(r_2, \theta, \phi) \right)_{l=0} \right. \\
&\quad \left. + \left((p^i r^l f_1)(r_1, \theta, \phi) \right)_{l=2}^* g_2(r_1, r_2, \nu) \left((p^i r^l f_2)(r_2, \theta, \phi) \right)_{l=2} \right) \\
&= \int dr_1 dr_2 r_1^2 r_2^2 \left(\frac{4\pi}{9} (3f_1(r_1) + r_1 f_1'(r_1)) g_0(r_1, r_2, \nu) (3f_2(r_2) + r_2 f_2'(r_2)) + \right. \\
&\quad \left. \frac{8\pi}{9} (r_1 f_1'(r_1)) g_2(r_1, r_2, \nu) (r_2 f_2'(r_2)) \right).
\end{aligned}$$

Die Winkelintegration ist somit ausgeführt, und es verbleibt die Integration bezüglich r_1 und r_2 .

r_1 und r_2 -Integration

Wir wollen uns hier nur mit den Matrix-Elementen beschäftigen, die mit der Darstellung des Schrödinger-Coulomb Propagators durch Laguerre-Polynome gerechnet sind. Nach der Winkelintegration sind folgende Formeln für die Berechnung der verbleibenden Integrale bezüglich r_1 und r_2 hilfreich. Zunächst ist

$$\int_0^\infty dr r^\alpha \ln(r) \exp(-\lambda r) = \lambda^{-1-\alpha} \Gamma(\alpha + 1) (\Psi(\alpha + 1) - \ln(\lambda)) \quad (4.92)$$

mit der logarithmischen Ableitung der Γ -Funktion

$$\Psi(x) = \frac{\Gamma'(x)}{\Gamma(x)}. \quad (4.93)$$

Eine weitere wichtige Formel ist

$$\begin{aligned}
\int_0^\infty dr \exp(-\lambda r) r^\gamma L_n^\mu(r) &= \quad (4.94) \\
&= \frac{\lambda^{-1-\gamma} {}_2F_1(-n, \gamma + 1, \mu + 1, \frac{1}{\lambda}) \Gamma(\gamma + 1) \Gamma(\mu + n + 1)}{n! \Gamma(\mu + 1)}.
\end{aligned}$$

Für die Ausführung der r_1 und r_2 -Integrationen bei Verwendung der Whittaker-Funktionen existieren ebenfalls Formeln [18].

Summation über k

Im Schrödinger-Coulomb-Propagator tritt bei Darstellung im Ortsraum mit Laguerre-Polynomen (siehe Gl. 4.80) die Summe über den Summationsindex k auf. Es treten dabei zum Beispiel folgende Summen

auf:

$$\sum_{k=0}^{\infty} \xi^k = 1/(1-\xi), \quad (4.95)$$

$$\sum_{k=0}^{\infty} k^n \xi^k = \Phi(\xi^k, -n, 0), \quad (4.96)$$

$$\sum_{k=0}^{\infty} \frac{\xi^k}{a+k} = \frac{1}{a} {}_2F_1(1, a, a+1, \xi). \quad (4.97)$$

Die Lerchsche Φ -Funktion ist definiert als

$$\Phi(z, \xi, a) = \sum_{k=0}^{\infty} \frac{z^k}{(a+k)\xi^k}. \quad (4.98)$$

Die hypergeometrische Funktion ${}_2F_1$ ist erklärt als

$${}_2F_1(a, b, c, z) = \sum_{j=0}^{\infty} \frac{(a)_j (b)_j}{(c)_j} \frac{z^j}{j!} \quad (4.99)$$

mit dem Pochhammer-Symbol

$$(a)_j = \frac{\Gamma(a+j)}{\Gamma(a)}.$$

Neben diesen recht einfachen Summationen treten in den Berechnungen auch kompliziertere Summen auf. Wir haben zum Beispiel die folgende Formel

$$\sum_{k=0}^{\infty} \frac{1}{k!} \Gamma(k+\lambda) \xi^k {}_2F_1(-k, b, c, z) = \frac{1}{(1-\xi)^\lambda} \Gamma(\lambda) {}_2F_1(\lambda, b, c, -\frac{\xi z}{1-\xi}) \quad (4.100)$$

Diese und alle anderen Formeln, die mit der Theorie der hypergeometrischen Funktionen zusammenhängen, finden sich in [17] und [18]. Mit $\lambda = 1$ folgt aus der Formel 4.100

$$\sum_{k=0}^{\infty} \xi^k {}_2F_1(-k, b, c, z) = \frac{{}_2F_1(1, b, c, -\frac{\xi z}{1-\xi})}{1-\xi}. \quad (4.101)$$

Mit der Beziehung

$$k^{n+1} \xi^k = \xi \frac{\partial}{\partial \xi} (k^n \xi^k) \quad (4.102)$$

lassen sich aus der Formel 4.101 auch Formeln für Summen der Form

$$\sum_{k=0}^{\infty} k^n \xi^k {}_2F_1(-k, b, c, z) \quad (4.103)$$

aufstellen. Bei der Anwendung von Gl. 4.102 auf Gl. 4.101 treten auf der rechten Seite Ableitungen nach dem Argument der hypergeometrischen Funktion auf. Diese Ableitungen lassen sich mit der Formel

$${}_2F_1(1+a, b, c, z) = {}_2F_1(a, b, c, z) + \frac{z \partial_a ({}_2F_1)(a, b, c, z)}{a^2} \quad (4.104)$$

beseitigen. Durch computergestützte Rechnungen wurden so Formeln für die Summen der Gestalt (4.103) für $n = 1 \dots 4$ hergeleitet, da diese Summen in den späteren Rechnungen vorkommen. Es erfolgt hier nur

eine Angabe des Ergebnisses für $n = 4$:

$$\begin{aligned}
\sum_{k=0}^{\infty} k^4 \xi^k {}_2F_1(-k, b, c, z) &= \frac{{}_2F_1(1, b, c, -\frac{\xi z}{1-\xi})}{1-\xi} - \frac{15 {}_2F_1(2, b, c, -\frac{\xi z}{1-\xi})}{(-1+\xi)^2} \\
&+ \frac{50 {}_2F_1(3, b, c, -\frac{\xi z}{1-\xi})}{(1-\xi)^3} - \frac{60 {}_2F_1(4, b, c, -\frac{\xi z}{1-\xi})}{(-1+\xi)^4} \\
&+ \frac{24 {}_2F_1(5, b, c, -\frac{\xi z}{1-\xi})}{(1-\xi)^5}
\end{aligned} \tag{4.105}$$

mit der Eulerschen Konstanten $\gamma = 0.577216\dots$. Mit Hilfe dieser Formeln ist es möglich, Summen wie

$$\sum_{k=0}^{\infty} k^n \xi^k \partial_2 ({}_2F_1)(-k, b, c, z)$$

auszuwerten. Es wird dabei zunächst die Ableitung nach dem zweiten Parameter der hypergeometrischen Funktion durch den Ausdruck für den entsprechenden Differenzen-Quotienten ersetzt,

$$\partial_2 ({}_2F_1)(-k, b, c, z) \rightarrow \frac{{}_2F_1(-k, b + \epsilon, c, z) - {}_2F_1(-k, b, c, z)}{\epsilon},$$

mit einem ϵ , welches wir später wieder gegen Null schicken. Nach der obigen Ersetzung lassen sich die hergeleiteten Summations-Formeln anwenden, und im Ergebnis können, wie im nächsten Abschnitt besprochen wird, die Parameter der hypergeometrischen Funktion durch Zusammenhangsformeln geeignet verändert werden. Zuletzt werden Regeln für die explizite Form von hypergeometrischen Funktionen, die bereits im Programm *Mathematica* implementiert sind, verwandt, um die Differenziation (Übergang zum Differentialquotienten) ausführen zu können.

Für die folgenden Summen konnte keine geschlossenen Ausdrücke in Termen hypergeometrische Funktionen gefunden werden:

$$\sum_{k=0}^{\infty} \frac{\xi^k}{a+k} \partial_2 ({}_2F_1)(-k, b, c, z).$$

Diese Summen werden numerisch behandelt. Um Singularitäten bei $t = 1$ und $t = 0$ auszuschließen, summieren wir nicht von $k = 0$ aufwärts und multiplizieren mit t^2 . Wir definieren die "spezielle Funktion"

$$\tilde{F}_{abc}(t) = t^2 \sum_{k=2}^{\infty} \frac{\left(\frac{t-1}{t+1}\right)^k}{a-2t+k} \partial_2 ({}_2F_1)\left(-k, b, c, \frac{2}{1+t}\right). \tag{4.106}$$

In unserer Rechnung kommt diese Funktion in der Gestalt

$$\tilde{F}_{122}(t) = t^2 \sum_{k=0}^{\infty} \frac{\left(\frac{t-1}{t+1}\right)^k}{1-2t+k} \partial_2 ({}_2F_1)\left(-k, 2, 2, \frac{2}{1+t}\right) \tag{4.107}$$

und

$$\tilde{F}_{366}(t) = t^2 \sum_{k=0}^{\infty} \frac{\left(\frac{t-1}{t+1}\right)^k}{3-2t+k} \partial_2 ({}_2F_1)\left(-k, 6, 6, \frac{2}{1+t}\right) \tag{4.108}$$

vor. Man kann zeigen, daß $\tilde{F}_{122}(t)$ und $\tilde{F}_{366}(t)$ für $t \rightarrow 0$ gegen Null und für $t \rightarrow 1$ schneller als $(1-t)^2$ gegen Null gehen. Da Integrale mit diesen Funktionen numerisch behandelt werden und dafür eine Gaussche Quadratur verwandt wird, die bei glatten Funktionen ohne Singularitäten schnell konvergiert, ist dieses Verhalten sehr hilfreich.

Weitere Summationen, die bei der Berechnung der P -Matrixelemente auftreten, involvieren die logarithmische Ableitung der Γ -Funktion,

$$\Psi(x) = \frac{\Gamma'(x)}{\Gamma(x)} \tag{4.109}$$

Durch zum Teil computergestützte Rechnungen lassen sich auch für diese Summationen Formeln angeben. Zwei Beispiele seien hier erwähnt:

$$\sum_{k=0}^{\infty} \xi^m \Psi(2+k) = \frac{\gamma \xi + \ln(1-\xi)}{(-1+\xi) \xi} \quad (4.110)$$

wiederum mit γ als der Eulerschen Konstanten und

$$\begin{aligned} \sum_{k=0}^{\infty} k^4 \xi^m \Psi(2+k) &= \frac{1-6\xi-13\xi^2-32\xi^3}{(-1+\xi)^5} + \\ &+ \frac{\gamma \xi (1+\xi) (1+10\xi+\xi^2)}{(-1+\xi)^5} + \\ &+ \frac{(1-5\xi+11\xi^2+\xi^3+16\xi^4) \ln(1-\xi)}{(-1+\xi)^5 \xi}. \end{aligned} \quad (4.111)$$

Es gibt jedoch auch für diejenigen Summen, welche die Ψ -Funktion beinhalten, bestimmte Fälle, für die keine Lösung in geschlossener Form gefunden werden konnte. Es sind Funktionen des Typs:

$$\tilde{\Psi}_{ab}(t) = t^2 \sum_{k=2}^{\infty} \frac{\left(\frac{1-t}{1+t}\right)^{2k}}{b-2t+k} \Psi(a+k). \quad (4.112)$$

Diese Funktionen kommen in unserer Rechnung in der Gestalt

$$\tilde{\Psi}_{21}(t) = t^2 \sum_{k=2}^{\infty} \frac{\left(\frac{1-t}{1+t}\right)^{2k}}{1-2t+k} \Psi(2+k) \quad (4.113)$$

und

$$\tilde{\Psi}_{63}(t) = t^2 \sum_{k=2}^{\infty} \frac{\left(\frac{1-t}{1+t}\right)^{2k}}{3-2t+k} \Psi(6+k) \quad (4.114)$$

vor. Auch diese Summen werden numerisch behandelt. Zum Schluß definieren wir noch die folgenden “spezielle Funktionen”, die mit der Lerchschen Φ -Funktion zusammenhängen,

$$\tilde{\Phi}_{ab}(t) = t^2 \sum_{k=2}^{\infty} \frac{\left(\frac{1-t}{1+t}\right)^{2k}}{(b-2t+k)^a}, \quad (4.115)$$

die in dieser Arbeit als

$$\tilde{\Phi}_{21}(t) = t^2 \sum_{k=2}^{\infty} \frac{\left(\frac{1-t}{1+t}\right)^{2k}}{(1-2t+k)^2} \quad (4.116)$$

und

$$\tilde{\Phi}_{23}(t) = t^2 \sum_{k=2}^{\infty} \frac{\left(\frac{1-t}{1+t}\right)^{2k}}{(3-2t+k)^2} \quad (4.117)$$

vorkommen. Auch diese Funktionen werden numerisch behandelt.

Zusammenhangsformeln

Die hypergeometrischen Funktionen im Ergebnis 4.105 haben hohe Werte für den ersten Parameter. Daher erscheint es ratsam, diesen Parameter durch die bekannten Gaussischen Zusammenhangsformeln zu

verkleinern (siehe zum Beispiel [17]). Auch durch die Anwendung der letzten Formel aus den Standard-Summationen 4.95 treten hypergeometrische Funktionen mit unangenehmen Werten für die Parameter auf (in diesem Fall sind die b - und c -Parameter zu hoch). Um die Parameter geeignet zu verändern, verwenden wir einige Zusammenhangsformeln in einer Gestalt, die das Herabsetzen der Parameter ermöglicht. Es sind dies:

- zum Herabsetzen des zweiten und dritten Parameters mit besonderem Augenmerk auf den dritten Parameter

$${}_2F_1(a, b, c, z) = \frac{(-1+c) {}_2F_1(a, -1+b, -1+c, z)}{-1+b} \quad (4.118)$$

$$+ \frac{(b-c) {}_2F_1(a, -1+b, c, z)}{-1+b}.$$

- zum Herabsetzen des zweiten und dritten Parameters mit besonderem Augenmerk auf den zweiten Parameter

$${}_2F_1(a, b, c, z) = \frac{(1-c) {}_2F_1(a, -1+b, -1+c, z)}{(1+a-c)z} \quad (4.119)$$

$$+ \frac{(-1+c+z-cz) {}_2F_1(a, b, -1+c, z)}{(1+a-c)z}.$$

Diese und die vorige Regel müssen bei der Vereinfachung der Ausdrücke so eingesetzt werden, daß nicht einer der Parameter zu schnell sinkt, da dann eine Vereinfachung im Sinne möglichst kleiner Werte für beide Parameter nicht mehr möglich ist.

- zum Herabsetzen des ersten Parameters

$${}_2F_1(a, b, c, z) = \frac{(-1+a-c) {}_2F_1(-2+a, b, c, z)}{(-1+a)(-1+z)} \quad (4.120)$$

$$+ \frac{(2-2a+c-z+az-bz) {}_2F_1(-1+a, b, c, z)}{(-1+a)(-1+z)}.$$

- zum Herabsetzen des zweiten Parameters

$${}_2F_1(a, b, c, z) = \frac{(-1+b-c) {}_2F_1(a, -2+b, c, z)}{(-1+b)(-1+z)} \quad (4.121)$$

$$+ \frac{(2-2b+c-z-az+bz) {}_2F_1(a, -1+b, c, z)}{(-1+b)(-1+z)}.$$

- zum Herabsetzen des dritten Parameters

$${}_2F_1(a, b, c, z) = \frac{(-2+c)(-1+c)(-1+z) {}_2F_1(a, b, -2+c, z)}{(1+a-c)(-1-b+c)z} \quad (4.122)$$

$$+ \frac{(-1+c)(-2+c+3z+az+bz-2cz) {}_2F_1(a, b, -1+c, z)}{(1+a-c)(-1-b+c)z}.$$

Abkürzungen

Da die folgenden Ausdrücke in dieser Arbeit sehr häufig vorkommen, wollen wir folgende Abkürzungen vereinbaren:

$$s = \frac{1-t}{t+1} \quad (4.123)$$

sowie

$$F(t) = {}_2F_1(1, -2t, 1 - 2t, s^2) \quad (4.124)$$

und

$$F_2(t) = {}_2F_1(1, -2t, 1 - 2t, -s). \quad (4.125)$$

Bei diesen Funktionen ist zur Verbesserung der Konvergenz der dritte Parameter größer als der zweite .

4.2.3 Der nichtrelativistische Dipol-Anteil

Der nichtrelativistische Dipol-Anteil ist durch Gleichung 3.119 gegeben:

$$P_{nd} = \frac{1}{3m} \langle \phi | p^i \frac{1}{H_S - (E_S - \omega)} p^i | \phi \rangle.$$

Zur Kontrolle wurde die Rechnung sowohl im Impuls- als auch im Ortsraum ausgeführt. Für die Rechnung im Impulsraum wird die Fourier-Transformation der $2P$ -Wellenfunktion benötigt, und es wird die Schwingersche Integraldarstellung des Schrödinger-Coulomb-Propagators im Impulsraum verwandt.

Für die Rechnung im Ortsraum wird die “übliche” Darstellung des Propagators im Ortsraum mit Laguerre-Polynomen verwendet (siehe Abschnitt 4.2.2). Die Summation bezüglich k wird ausgeführt, und die entstehenden hypergeometrischen Funktionen werden mit Hilfe der Zusammenhangsformeln vereinfacht.

Außerdem wird zum dimensionslosen Parameter t [siehe Gl. (3.126)] übergegangen. Das Ergebnis für $P_{nd}(t)$ lautet folgendermaßen:

$$P_{nd}(t) = \frac{256 F(t) t^7 (-3 + 11 t^2)}{9 (1 - t)^5 (1 + t)^5} + \frac{2 t^2 (-3 + 6 t + 3 t^2 - 12 t^3 - 29 t^4 - 122 t^5 + 413 t^6)}{9 (-1 + t)^5 (1 + t)^3}. \quad (4.126)$$

Die Integration bezüglich t mit der Formel 3.130 liefert

$$F_{nd} = 0.0400223 + \frac{2 \alpha^2}{9 \epsilon}. \quad (4.127)$$

4.2.4 Korrekturen zum Strom

Der nichtrelativistische Quadrupol F_{nq}

Im nichtrelativistischen Quadrupol werden diejenigen Korrekturen zum Strom zusammengefaßt, die sich aus den

$$y_{1,FW}^j = \frac{p^j}{m} (i \vec{k} \cdot \vec{r}) + \dots$$

und

$$y_{2,FW}^j = -\frac{1}{2m} p^i (\vec{k} \cdot \vec{r})^2 + \dots$$

ergeben. Die Rechnung erfolgt im Impulsraum (eine vergleichbare Rechnung im Ortsraum für S -Zustände findet sich zum Beispiel in [19], und die Rechnung wird daher hier nicht näher beschrieben). Das Ergebnis für $P_{nq}(t)$ lautet:

$$P_{nq}(t) = \frac{64 \alpha^2 F(t) t^5 (25 - 106 t^2 + 29 t^4)}{45 (1 - t)^5 (1 + t)^5} + \alpha^2 \left(15 - 30 t - 58 t^2 + 146 t^3 + 812 t^4 + 4630 t^5 - 15174 t^6 - 1418 t^7 + 4421 t^8 \right) / \left(360 (-1 + t)^5 (1 + t)^3 \right). \quad (4.128)$$

Nach der Integration bezüglich t ergibt sich folgender Ausdruck für F_{nq} :

$$F_{nq} = -1.20115 \alpha^2 - \frac{49 \alpha^2 \ln(\alpha)}{45} + \frac{49 \alpha^2 \ln(\epsilon)}{90}. \quad (4.129)$$

Korrektur aufgrund des $p^i \vec{p}^2$ -Terms

Die $p^i \vec{p}^2$ -Korrektur kommt aufgrund des entsprechenden Terms (siehe Gl. 3.68),

$$y_{0,FW}^j = \dots - \frac{1}{2m^3} p^j \vec{p}^2 + \dots,$$

der bei der FW-Transformation der reinen α^i -Matrix entsteht, zustande. Der Ausdruck für den P -Term lautet:

$$\begin{aligned} P_{p^i p^2} &= 2 \times \frac{m}{2} \delta^{T,ij} \langle \phi | \left(-\frac{1}{2m^3} p^i \vec{p}^2 \right) \frac{1}{H_S - (E_S - \omega)} \frac{p^j}{m} | \phi \rangle \\ &= \frac{2}{3m^3} \langle \phi | \left(-\frac{1}{2} p^i \vec{p}^2 \right) \frac{1}{H_S - (E_S - \omega)} p^i | \phi \rangle. \end{aligned} \quad (4.130)$$

Die Rechnung erfolgt im Ortsraum. Das Ergebnis für $P_{p^i p^2}(t)$ lautet:

$$\begin{aligned} P_{p^i p^2}(t) &= \frac{64 \alpha^2 F_2(t) t^5}{9(-1+t)^3(1+t)^3} \\ &+ \frac{64 \alpha^2 F(t) t^5 (-1 - 11 t^2 + 36 t^4)}{9(1-t)^5(1+t)^5} \\ &+ \frac{\alpha^2 t^2 (7 - 14 t - 23 t^2 - 68 t^3 - 103 t^4 - 302 t^5 + 1271 t^6)}{18(-1+t)^5(1+t)^3} \end{aligned} \quad (4.131)$$

Für den F -Faktor wird schließlich erhalten:

$$F_{p^i p^2} = 0.618148 \alpha^2 + \frac{4 \alpha^2 \ln(\alpha)}{9} - \frac{2 \alpha^2 \ln(\epsilon)}{9} \quad (4.132)$$

Korrektur aufgrund des $\vec{r} \times \vec{\sigma}$ -Terms

Diese Korrektur kommt durch den Term

$$y_{0,FW}^j = \dots - \frac{1}{2m^2} \frac{\alpha}{r^3} (\vec{r} \times \vec{\sigma})^j + \dots,$$

welcher bei der FW-Transformation der reinen α^i -Matrix entsteht, zustande. Es ist das Matrix-Element

$$\begin{aligned} P_{r \times \sigma} &= 2 \times \frac{m}{2} \delta^{T,ij} \langle \phi | \left(\frac{1}{2m^2} \frac{\alpha}{r^3} (-\vec{r} \times \vec{\sigma})^i \right) \frac{1}{H_S - (E_S - \omega)} \frac{p^j}{m} | \phi \rangle \\ &= \frac{2}{3m^2} \langle \phi | \left(\frac{1}{2} \frac{\alpha}{r^3} (-\vec{r} \times \vec{\sigma})^i \right) \frac{1}{H_S - (E_S - \omega)} p^i | \phi \rangle \end{aligned} \quad (4.133)$$

auszuwerten. Mit einer Rechnung im Ortsraum erhält man für $P_{r \times \sigma}(t)$:

$$\begin{aligned} P_{r \times \sigma} &= \frac{64 \alpha^2 F(t) t^5 (-1 + 5 t^2)}{9(-1+t)^4(1+t)^4} + \\ &\frac{2 \alpha^2 t^2 (-1 + 2 t + 14 t^3 - 47 t^4)}{9(-1+t)^4(1+t)^2}. \end{aligned} \quad (4.134)$$

Das Ergebnis für den F -Faktor lautet:

$$F_{r \times \sigma} = 0.346690 \alpha^2. \quad (4.135)$$

Korrektur aufgrund des $\vec{k} \cdot \vec{r}$ -Terms

Dieser Beitrag wiederum kommt durch den Term

$$y_{1,FW}^j = \dots + \frac{1}{2m} (\vec{k} \cdot \vec{r}) (\vec{k} \times \vec{\sigma})^j + \dots,$$

welcher bei der FW-Transformation des Ausdrucks $\alpha^i (i\vec{k} \cdot \vec{r})^2$ -Matrix entsteht, zustande. Es ist das Matrix-Element

$$\begin{aligned} P_{k \cdot r} &= 2 \times \frac{m}{2} \delta^{T,ij} \langle \phi | \left(\frac{1}{2m} (\vec{k} \cdot \vec{r}) (\vec{k} \times \vec{\sigma})^i \right) \frac{1}{H_S - (E_S - \omega)} \frac{p^j}{m} | \phi \rangle \\ &= \frac{2}{3m} \langle \phi | \left(\frac{1}{2} (\vec{k} \cdot \vec{r}) (\vec{k} \times \vec{\sigma})^i \right) \frac{1}{H_S - (E_S - \omega)} p^i | \phi \rangle \end{aligned} \quad (4.136)$$

auszuwerten. Eine längere Rechnung ergibt, daß dieser Beitrag gerade dem $-\frac{1}{2}$ -fachen von $F_{r \times \sigma}(t)$ entspricht. Daher gilt

$$F_{k \cdot r} = -0.173345 \alpha^2. \quad (4.137)$$

4.2.5 Korrektur zur Energie

Bei der Korrektur zur Energie ist lediglich ein Matrix-Element zu berechnen,

$$P_{\delta E} = \frac{1}{3m} \langle \phi | p^i \frac{1}{H_S - (E_S - \omega)} \delta E \frac{1}{H_S - (E_S - \omega)} p^i | \phi \rangle \quad (4.138)$$

Für den $2P_{1/2}$ -Zustand ist

$$\delta E = -\frac{5}{128} \alpha^4 m. \quad (4.139)$$

Für die Berechnung können wir die folgende Beziehung ausnutzen:

$$\left(\frac{1}{H_S - (E_S - \omega)} \right)^2 = -\frac{\partial}{\partial \omega} \frac{1}{H_S - (E_S - \omega)} \quad (4.140)$$

Mit der Beobachtung, daß sich der Selbstenergie-Beitrag E_L aus dem P -Term durch Integration gemäß Gl. 3.124

$$E_L = -\frac{2\alpha}{\pi m} \int_0^\epsilon d\omega \omega P(\omega)$$

und der Beobachtung, daß der F -Term direkt proportional zu E_L ist, läßt sich somit der F -Term mittels einer partiellen Integration berechnen. Es entsteht ein Randterm und ein weiterer Term, der mit den üblichen Methoden im Ortsraum berechnet wird. Das Endergebnis für den F -Faktor lautet:

$$F = 0.0400946 \alpha^2 - \frac{5 \alpha^2 \ln(\alpha)}{48} + \frac{5 \alpha^2 \ln(\epsilon)}{96}. \quad (4.141)$$

4.2.6 Korrektur zur Wellenfunktion

Der Beitrag aufgrund der relativistischen Korrektur zur Wellenfunktion $\delta\phi$ ist gemäß Gl. 3.123 gegeben durch

$$P_{\delta\phi} = \frac{2}{3m} \langle \phi | p^i \frac{1}{H_S - (E_S - \omega)} p^i | \delta\phi \rangle. \quad (4.142)$$

Es ist die Differentialgleichung 3.53,

$$(H - \langle \phi | \delta H | \phi \rangle) | \phi \rangle = (E_S - H_S) | \delta\phi \rangle,$$

zu lösen. Deren Lösung ist durch die zusätzlichen Bedingung

$$\langle \phi | \delta\phi \rangle \stackrel{!}{=} 0$$

eindeutig bestimmt. Wir erhalten folgenden Ausdruck für $|\delta\phi\rangle$:

$$\begin{aligned}
\delta\phi(\vec{r}) &= \frac{53 \alpha^{\frac{9}{2}} m^{\frac{5}{2}} r}{96 \sqrt{6}} \exp\left(\frac{-\alpha m r}{2}\right) - \frac{\alpha^{\frac{9}{2}} \gamma m^{\frac{5}{2}} r}{4 \sqrt{6}} \exp\left(\frac{-\alpha m r}{2}\right) - \\
&\quad \frac{\alpha^{\frac{7}{2}} m^{\frac{3}{2}}}{2 \sqrt{6}} \exp\left(\frac{-\alpha m r}{2}\right) + \frac{\alpha^{\frac{11}{2}} m^{\frac{7}{2}} r^2}{32 \sqrt{6}} \exp\left(\frac{-\alpha m r}{2}\right) - \\
&\quad \frac{\alpha^{\frac{9}{2}} m^{\frac{5}{2}} r \ln(\alpha m r)}{4 \sqrt{6}} \exp\left(\frac{-\alpha m r}{2}\right) \\
&= \delta\phi_1 + \delta\phi_2 + \delta\phi_3 + \delta\phi_4 + \delta\phi_5.
\end{aligned} \tag{4.143}$$

Um die Rechnung bei der praktischen Ausführung übersichtlich zu halten, behandeln wir $P_{\delta\phi}$ für jeden der 5 Anteile von $|\delta\phi\rangle$ getrennt. Es entstehen also 5 einzelne Terme, $P_{\delta\phi,1}$ bis $P_{\delta\phi,5}$.

$F_{\delta\phi,1}$ bis $P_{\delta\phi,4}$ können im Ortsraum berechnet werden. Die jeweiligen P -Terme enthalten die Funktionen $F(t)$ und $F_2(t)$ und sind in ihrer Struktur den bereits aufgelisteten Ergebnissen für die vorherigen Terme ähnlich. Daher verzichten wir hier auf eine Darstellung dieser Ergebnisse und gehen gleich zu den F -Faktoren über. Es gilt:

$$F_{\delta\phi,1} = 0.0883825 \alpha^2 \tag{4.144}$$

$$F_{\delta\phi,2} = -0.0231015 \alpha^2 \tag{4.145}$$

$$F_{\delta\phi,3} = -0.608142 \alpha^2 - \frac{4 \alpha^2 \ln(\alpha)}{9} + \frac{2 \alpha^2 \ln(\epsilon)}{9} \tag{4.146}$$

$$F_{\delta\phi,4} = -0.0261919 \alpha^2 - \frac{\alpha^2 \ln(\alpha)}{18} + \frac{\alpha^2 \ln(\epsilon)}{36} \tag{4.147}$$

Aufgrund des Logarithmus im letzten Term, der zu $|\delta\phi\rangle$ beiträgt, wird die Rechnung für diesen Term sehr viel komplexer. Es müssen andere Summenformeln für die Summation über k bemüht werden, und bereits das Ergebnis für den P -Term wird um einiges länger:

$$\begin{aligned}
P_{\delta\phi,5} &= \frac{-512 \alpha^2 \tilde{F}_{122}(t) t^6}{27 (-1+t)^2 (1+t)^6} + \\
&\quad \frac{4096 \alpha^2 \tilde{F}_{366}(t) (1-2t) (-1+t) t^6 (1+2t)}{27 (1+t)^{11}} + \\
&\quad \frac{16 \alpha^2 F_2(t) t^5}{3 (1-t)^3 (1+t)^3} + \\
&\quad \frac{2 \alpha^2 \gamma t^2 (-3 + 6t + 3t^2 - 12t^3 - 29t^4 - 122t^5 + 413t^6)}{9 (-1+t)^5 (1+t)^3} + \\
&\quad \frac{\alpha^2 t^2 p(t)}{810 (2-t) (-1+t)^5 (1+t)^{13}} + \\
&\quad \frac{128 \alpha^2 t^7 (-3 + 2t + 9t^2) \ln\left(\frac{2t}{1+t}\right)}{9 (1-t)^5 (1+t)^4} + \frac{16 \alpha^2 F(t) t^5 q(t)}{405 (-1+t)^5 (1+t)^5}.
\end{aligned} \tag{4.148}$$

Die Funktionen $p(t)$ und $q(t)$ sind gegeben durch

$$\begin{aligned}
p(t) = & 1710 + 12825 t + 34920 t^2 + 25920 t^3 - 38160 t^4 + 391876 t^5 \\
& + 2892232 t^6 + 6664816 t^7 + 4416444 t^8 - 15374274 t^9 - 44242888 t^{10} \\
& - 51115488 t^{11} - 37744768 t^{12} - 6464172 t^{13} + 4472472 t^{14} \\
& + 4920240 t^{15} + 1591846 t^{16} + 186385 t^{17}
\end{aligned} \tag{4.149}$$

sowie

$$\begin{aligned}
q(t) = & 135 - 7594 t^2 + 2160 \gamma t^2 + 23251 t^4 - 7920 \gamma t^4 \\
& - 2160 t^2 \ln\left(\frac{2t}{1+t}\right) + 7920 t^4 \ln\left(\frac{2t}{1+t}\right).
\end{aligned} \tag{4.150}$$

Diejenigen Terme, welche die speziellen Funktionen $\tilde{F}_{122}(t)$ und $\tilde{F}_{366}(t)$ nicht enthalten, können mit den üblichen Methoden nach t integriert werden. Die restlichen Terme, welche die speziellen Funktionen enthalten, werden als numerischer Anteil $N_{\delta\phi,5}$ zusammengefaßt und später mit anderen numerischen Termen gemeinsam ausgewertet (siehe Abschnitt 4.2.8). Da es sich dabei um eine einfache numerische Integration handelt, kann das Ergebnis mit hoher Genauigkeit angegeben werden. Als Endergebnis für $F_{\delta\phi,5}$ erhalten wir:

$$F_{\delta\phi,5} = -0.182817 \alpha^2 - \frac{2 \alpha^2 \ln(\alpha)}{9} + \frac{\alpha^2 \ln(\epsilon)}{9} + N_{\delta\phi,5}. \tag{4.151}$$

Zählt man alle Einzelbeiträge zu $F_{\delta\phi}$ zusammen, so wird

$$F_{\delta\phi} = -0.751870 \alpha^2 - \frac{13 \alpha^2 \ln(\alpha)}{18} + \frac{13 \alpha^2 \ln(\epsilon)}{36} + N_{\delta\phi,5}. \tag{4.152}$$

4.2.7 Korrekturen zum Hamiltonian

Aufgrund der Form der relativistischen Korrektur zum Hamiltonian,

$$\delta H = -\frac{(\vec{p}^2)^2}{8 m^3} + \frac{\pi \alpha}{2 m^2} \delta(\vec{r}) + \frac{\alpha}{4 m^2 r^3} \vec{\sigma} \cdot \vec{L}$$

können wir den Beitrag aufgrund von δH (siehe Gl. 3.122),

$$P_{\delta H} = -\frac{1}{3m} \langle \phi | p^i \frac{1}{H_S - (E_S - \omega)} \delta H \frac{1}{H_S - (E_S - \omega)} p^i | \phi \rangle \tag{4.153}$$

aufspalten in einen P_δ , P_{p^4} und $P_{L \cdot S}$ -Term, wobei die Namen den charakteristischen Elementen in den den 3 Summanden in δH entsprechen, das heißt, es gilt:

$$P_\delta = -\frac{1}{3m} \langle \phi | p^i \frac{1}{H_S - (E_S - \omega)} \left(\frac{\pi \alpha}{2 m^2} \delta(\vec{r}) \right) \frac{1}{H_S - (E_S - \omega)} p^i | \phi \rangle \tag{4.154}$$

$$P_{p^4} = -\frac{1}{3m} \langle \phi | p^i \frac{1}{H_S - (E_S - \omega)} \left(-\frac{(\vec{p}^2)^2}{8 m^3} \right) \frac{1}{H_S - (E_S - \omega)} p^i | \phi \rangle \tag{4.155}$$

$$P_{L \cdot S} = -\frac{1}{3m} \langle \phi | p^i \frac{1}{H_S - (E_S - \omega)} \left(\frac{\alpha}{4 m^2 r^3} \vec{\sigma} \cdot \vec{L} \right) \frac{1}{H_S - (E_S - \omega)} p^i | \phi \rangle \tag{4.156}$$

Die Rechnungen zu diesen 3 Beiträgen werden durch die Anwesenheit von 2 Propagatoren in den Matrix-Elementen erheblich erschwert. Für P_δ nutzt man die Eigenschaft der δ -Distribution aus und geht zur Darstellung des Schrödinger-Coulomb-Propagators mittels der Whittaker-Funktionen über. Für P_{p^4} und $P_{L \cdot S}$ benutzt man folgenden Trick: Man schreibt die Operatoren in den Beiträgen zu δH als Kommutatoren anderer Operatoren mit $H_S - (E_S - \omega)$. Dadurch kürzt sich einer der Propagatoren heraus.

Beitrag aufgrund des $\delta(\vec{r})$ -Terms in δH

Das Matrix-Element

$$P_\delta = -\frac{1}{3m} \langle \phi | p^i \frac{1}{H_S - (E_S - \omega)} \left(\frac{\pi\alpha}{2m^2} \delta(\vec{r}) \right) \frac{1}{H_S - (E_S - \omega)} p^i | \phi \rangle \quad (4.157)$$

wird im Ortsraum unter Verwendung der Darstellung des Schrödinger-Coulomb-Propagators mit Whittaker-Funktionen berechnet. Das Ergebnis in Termen von t ist:

$$P_\delta(t) = \frac{-\left(\alpha^2 t^4 (-3 + 4t - 8 F_2(t)t + 7t^2)\right)^2}{27(-1+t)^4(1+t)^4} \quad (4.158)$$

Nach der Integration bezüglich t ergibt sich als Endergebnis für F_δ

$$F_\delta = 0.00165032 \alpha^2 - \frac{\alpha^2 \ln(\alpha)}{6} + \frac{\alpha^2 \ln(\epsilon)}{12} \quad (4.159)$$

Beitrag aufgrund des p^4 -Terms in δH

Dieser Beitrag

$$P_{p^4} = -\frac{1}{3m} \langle \phi | p^i \frac{1}{H_S - (E_S - \omega)} \left(-\frac{(\vec{p}^2)^2}{8m^3} \right) \frac{1}{H_S - (E_S - \omega)} p^i | \phi \rangle$$

oder

$$P_{p^4} = \frac{1}{24m^4} \langle \phi | p^i \frac{1}{H_S - (E_S - \omega)} (\vec{p}^2)^2 \frac{1}{H_S - (E_S - \omega)} p^i | \phi \rangle$$

wird unter Zuhilfenahme der zunächst trivialen Beziehung

$$\vec{p}^2 = 2m((H_S - (E_S - \omega)) - V + (E_S - \omega))$$

berechnet. Diese Beziehung ergibt quadriert:

$$(\vec{p}^2)^2 = 4m^2((H_S - (E_S - \omega))^2 + 2(E_S - \omega)(H_S - (E_S - \omega)) \quad (4.160)$$

$$-V(H_S - (E_S - \omega)) - (H_S - (E_S - \omega))V + ((E_S - \omega) - V)^2).$$

Setzt man diesen Ausdruck für p^4 in das Matrix-Element ein, so ergeben sich auf natürliche Weise 3 Terme, die zum ϵ^0 -Koeffizienten beitragen (der durch $(H_S - (E_S - \omega))^2$ erzeugte Beitrag ist zu vernachlässigen, da er als Integral $\int_0^\epsilon d\omega \omega P(\omega) \rightarrow 0$ geht für $\epsilon \rightarrow 0$). Man erhält

1. durch den Term $2(E_S - \omega)(H_S - (E_S - \omega))$

$$P_{p^4,1} = \frac{1}{6m^2} 2(E_S - \omega) \langle \phi | p^i \frac{1}{H_S - (E_S - \omega)} p^i | \phi \rangle, \quad (4.161)$$

2. durch den Term $V(H_S - (E_S - \omega)) + (H_S - (E_S - \omega))V$

$$P_{p^4,2} = -2 \frac{1}{6m^2} \langle \phi | p^i \frac{1}{H_S - (E_S - \omega)} V p^i | \phi \rangle, \quad (4.162)$$

3. durch den Term $((E_S - \omega) - V)^2$

$$P_{p^4,3} = -2 \frac{1}{6m^2} \langle \phi | p^i \frac{1}{H_S - (E_S - \omega)} ((E_S - \omega) - V)^2 \frac{1}{H_S - (E_S - \omega)} p^i | \phi \rangle. \quad (4.163)$$

Der Term $P_{p^4,3}$ muß nun noch weiter behandelt werden. Für die zwei Propagatoren gilt, da $((E_S - \omega) - V)^2$ ein Ausdruck der Ordnung α^4 ist, in erster Näherung

$$\begin{aligned} & \frac{1}{H_S - (E_S - \omega)} ((E_S - \omega) - V)^2 \frac{1}{H_S - (E_S - \omega)} = \\ & = \frac{1}{H_S - (E_S - \omega) - ((E_S - \omega) - V)^2} - \frac{1}{H_S - (E_S - \omega)} \end{aligned} \quad (4.164)$$

Wenn wir die temporäre Abkürzung $\Omega = E_S - \omega$ einführen, so entspricht die Ersetzung

$$H_S(l, \alpha) - \Omega = H_S - (E_S - \omega) \quad (4.165)$$

$$\rightarrow H_S - (E_S - \omega) - ((E_S - \omega) - V)^2 = H_S(l', \alpha') - \Omega'$$

im Schrödinger-Hamiltonian und damit im Schrödinger-Coulomb-Propagator einer Verschiebung der Energie um $\Omega \rightarrow \Omega'$, der Drehimpuls-Quantenzahlen $l \rightarrow l'$ und des $\alpha \rightarrow \alpha'$ im Potential. Damit können alle diese Korrekturen störungstheoretisch behandelt werden, und es ergeben sich drei Beiträge $P_{p^4,3a}$, $P_{p^4,3b}$ und $P_{p^4,3c}$, die respektive $\Omega \rightarrow \Omega'$, $\alpha \rightarrow \alpha'$ und $l \rightarrow l'$ entsprechen.

Die Beiträge $P_{p^4,1}$ und $P_{p^4,2}$ enthalten nur einen Propagator und sind von ihrer Struktur her einfach. Wir nehmen daher gleich das Endergebnis für die F -Faktoren vorweg:

$$F_{p^4,1} = -0.302463 \alpha^2 - \frac{4 \alpha^2 \ln(\alpha)}{9} + \frac{2 \alpha^2 \ln(\epsilon)}{9}, \quad (4.166)$$

$$F_{p^4,2} = -0.00661108 \alpha^2 + \frac{2 \alpha^2 \ln(\alpha)}{9} - \frac{\alpha^2 \ln(\epsilon)}{9}. \quad (4.167)$$

Im Matrix-Element $P_{p^4,3a}$ sind zwei Propagatoren vorhanden, der zwischen den Propagatoren stehende Ausdruck ist jedoch nur eine skalare Größe (eine Zahl) und kommutiert mit den Propagatoren. Daher können wir diesen Beitrag nach dem Muster von $P_{\delta E}$ berechnen (partielle Integration, Randterm, dann Integration des verbleibenden Beitrags). Das Ergebnis ist:

$$F_{p^4,3a} = 0.559288 \alpha^2 + \frac{11 \alpha^2 \ln(\alpha)}{16} - \frac{11 \alpha^2 \ln(\epsilon)}{32} \quad (4.168)$$

Schwieriger wird die Auswertung der verbleibenden Terme $P_{p^4,3b}$ und $P_{p^4,3c}$. Zunächst zu $P_{p^4,3b}$. Bei der Summation bezüglich k treten Terme auf, die der Lerchschen Funktion Φ entsprechen. Das Ergebnis für $P_{p^4,3b}$ ist:

$$\begin{aligned} P_{p^4,3b} &= \frac{128 \alpha^2 \tilde{\Phi}(s^2, 2, -2t) t^7 (-3 + 11 t^2)}{9 (1-t)^5 (1+t)^5} \\ &+ \frac{32 \alpha^2 F(t) t^5 (5 - 46 t^2 + 57 t^4)}{9 (-1+t)^6 (1+t)^6} + \\ &+ \frac{\alpha^2 t^2 (-5 + 10 t - 11 t^2 - 52 t^3 + 453 t^4 + 170 t^5 - 821 t^6)}{18 (-1+t)^6 (1+t)^4}. \end{aligned} \quad (4.169)$$

Die Integration bezüglich t liefert für $P_{p^4,3b}$:

$$F_{p^4,3b} = -0.0376386 \alpha^2 - \frac{7 \alpha^2 \ln(\alpha)}{12} + \frac{7 \alpha^2 \ln(\epsilon)}{24} \quad (4.170)$$

Den verbleibenden Term $P_{p^4,3c}$ berechnet man mit Hilfe einer Variation des α -Faktors im Schrödinger-Coulomb-Propagator. Das Ergebnis für den P -Term ist recht komplex, in seiner Struktur jedoch dem

Resultat für $P_{\delta\phi,5}$ ähnlich und kann hier in verkürzter Form angegeben werden.

$$\begin{aligned}
P_{p^4,3c} &= \frac{1024 \alpha^2 \tilde{F}_{122}(t) t^6}{27 (-1+t)^2 (1+t)^6} \\
&+ \frac{8192 \alpha^2 \tilde{F}_{366}(t) (-1+t) t^6 (-1+2t) (1+2t)}{135 (1+t)^{11}} \\
&+ \frac{512 \alpha^2 \tilde{\Phi}_{21}(t) t^6}{27 (-1+t)^2 (1+t)^6} \\
&- \frac{4096 \alpha^2 \tilde{\Phi}_{23}(t) (-1+t) t^6 (-1+2t) (1+2t)}{135 (1+t)^{11}} \\
&+ \frac{1024 \alpha^2 \tilde{\Psi}_{21}(t) t^6}{27 (-1+t)^2 (1+t)^6} \\
&+ \frac{8192 \alpha^2 \tilde{\Psi}_{63}(t) (1-2t) (-1+t) t^6 (1+2t)}{135 (1+t)^{11}} \\
&+ f(\gamma, F_2(t), F(t), \ln(t)),
\end{aligned} \tag{4.171}$$

wobei $f(\gamma, F_2(t), F(t), \ln(t))$ eine Funktion der aufgeführten Größen ist, deren Struktur den entsprechenden Termen aus $P_{\delta\phi,5}$ ähnelt und die aufgrund ihrer Länge hier nicht weiter aufgeführt wird. Wichtig ist, daß im Ergebnis einige spezielle Funktionen enthalten sind, die einer getrennten numerischen Auswertung zugeführt werden (siehe Abschnitt 4.2.8).

Als Ergebnis für $F_{p^4,3c}$ erhalten wir

$$F_{p^4,3c} = 0.0895706 \alpha^2 + \frac{5 \alpha^2 \ln(\alpha)}{9} - \frac{5 \alpha^2 \ln(\epsilon)}{18} + N_{p^4,3c}. \tag{4.172}$$

mit $N_{p^4,3c}$ als dem noch auszuwertenden numerischen Anteil, der die speziellen Funktionen enthält. Somit ergibt sich als Endergebnis für F_{p^4}

$$F_{p^4} = 0.302146 \alpha^2 + \frac{7 \alpha^2 \ln(\alpha)}{16} - \frac{7 \alpha^2 \ln(\epsilon)}{32} + N_{p^4,3c}. \tag{4.173}$$

Beitrag aufgrund des $\vec{L} \cdot \vec{S}$ -Terms in δH

Der Beitrag

$$P_{L.S} = -\frac{1}{3m} \langle \phi | p^i \frac{1}{H_S - (E_S - \omega)} \left(\frac{\alpha}{4m^2 r^3} \vec{\sigma} \cdot \vec{L} \right) \frac{1}{H_S - (E_S - \omega)} p^i | \phi \rangle \tag{4.174}$$

wird mit der Definition

$$D_r = \frac{1}{r} \frac{\partial}{\partial r} r \tag{4.175}$$

unter Ausnutzung der Kommutatorbeziehung

$$[H, D_r] = \frac{\vec{L}^2}{mr^3} - \frac{\alpha}{r^2} \tag{4.176}$$

berechnet. Mit dieser Kommutatorbeziehung ergeben sich drei Beiträge,

$$P_{L.S,1} = -\frac{\alpha}{72m^2} \langle \phi | p^i D_r \frac{1}{H_S - (E_S - \omega)} \left(\vec{\sigma} \cdot \vec{L} \right) p^i | \phi \rangle \tag{4.177}$$

sowie

$$P_{L.S,2} = \frac{\alpha}{72m^2} \langle \phi | p^i \frac{1}{H_S - (E_S - \omega)} D_r \left(\vec{\sigma} \cdot \vec{L} \right) p^i | \phi \rangle \quad (4.178)$$

und

$$P_{L.S,3} = -\frac{1}{72m} \langle \phi | p^i \frac{1}{H_S - (E_S - \omega)} \left[\frac{1}{m} V^2 \right] \frac{1}{H_S - (E_S - \omega)} p^i | \phi \rangle. \quad (4.179)$$

Aufgrund der Anti-Hermitizität von D_r folgt, daß $P_{L.S,1}$ und $P_{L.S,2}$ gleich sind, und man erhält als Ergebnis für den $P_{L.S,1}$ -Term:

$$\begin{aligned} P_{L.S,1} &= \frac{8\alpha^2 F_2(t) t^5}{9(-1+t)^3(1+t)^3} \\ &+ \frac{8\alpha^2 F(t) t^5 (3 - 74t^2 + 167t^4)}{27(1-t)^5(1+t)^5} \\ &+ \frac{\alpha^2 t^4 (-1 + 2t - 88t^2 - 98t^3 + 377t^4)}{27(-1+t)^5(1+t)^3}. \end{aligned} \quad (4.180)$$

Nach Integration bezüglich t erhält man den F -Faktor

$$F_{L.S,1} = F_{L.S,2} = 0.0103947 \alpha^2 + \frac{\alpha^2 \ln(\alpha)}{54} - \frac{\alpha^2 \ln(\epsilon)}{108}. \quad (4.181)$$

Den verbleibenden $F_{L.S}$ -Term rechnet man mit einer Variation des Drehimpulses im Schrödinger-Hamiltonian (wie bei $P_{p^4,3c}$) und erhält wieder ein recht komplexes Ergebnis, das sehr verkürzt folgendermaßen lautet:

$$\begin{aligned} P_{L.S,3} &= \frac{2048 \alpha^2 \tilde{\Psi}_{63}(t) (1-2t) (-1+t) t^6 (1+2t)}{135 (1+t)^{11}} \\ &+ \frac{2048 \alpha^2 \tilde{F}_{366}(t) (-1+t) t^6 (-1+2t) (1+2t)}{135 (1+t)^{11}} \\ &+ \frac{1024 \alpha^2 \tilde{\Phi}_{23}(t) (-1+t) t^6 (-1+2t) (1+2t)}{135 (1+t)^{11}} \\ &+ f(\gamma, F_2(t), F(t), \ln(t)). \end{aligned} \quad (4.182)$$

Daraus ist ersichtlich, daß auch $P_{L.S,3}$ wieder einen Beitrag zum numerischen Anteil beisteuert. Für $F_{L.S,3}$ erhalten wir

$$F_{L.S,3} = -0.0018158 \alpha^2 + \frac{\alpha^2 \ln(\alpha)}{54} - \frac{\alpha^2 \ln(\epsilon)}{108} + N_{L.S,3}. \quad (4.183)$$

Als Ergebnis für $F_{L.S}$ (Summe von $F_{L.S,1}$, $F_{L.S,2}$ und $F_{L.S,3}$) erhalten wir

$$F_{L.S} = 0.0189735 \alpha^2 + \frac{\alpha^2 \ln(\alpha)}{18} - \frac{\alpha^2 \ln(\epsilon)}{36} + N_{L.S,3}. \quad (4.184)$$

4.2.8 Der numerisch auszuwertende Anteil

Der verbleibende numerische Anteil aus $N_{\delta\phi,5}$, $N_{L.S,3}$ und $N_{p^4,3c}$ ergibt sich zu

$$\begin{aligned}
N &= N_{\delta\phi,5} + N_{L.S,3} + N_{p^4,3c} \tag{4.185} \\
&= \int_0^1 dt \left(\frac{512 \alpha^2 \tilde{\Psi}_{21}(t) t}{27 (1-t) (1+t)^5} + \frac{256 \alpha^2 \tilde{F}_{122}(t) t}{27 (-1+t) (1+t)^5} \right. \\
&\quad \frac{256 \alpha^2 \tilde{\Phi}_{21}(t) t}{27 (-1+t) (1+t)^5} + \frac{1024 \alpha^2 \tilde{F}_{366}(t) (1-2t) (-1+t)^2 t (1+2t)}{27 (1+t)^{10}} \\
&\quad + \frac{1024 \alpha^2 \tilde{\Psi}_{63}(t) (1-2t) (-1+t)^2 t (1+2t)}{27 (1+t)^{10}} \\
&\quad \left. + \frac{512 \alpha^2 \tilde{\Phi}_{23}(t) (-1+t)^2 t (-1+2t) (1+2t)}{27 (1+t)^{10}} \right).
\end{aligned}$$

Die numerische Integration wird mit der Gausschen Quadratur ausgeführt. Dabei erweist es sich als sehr hilfreich, daß der Integrand für $t \rightarrow 0$ und $t \rightarrow 1$ verschwindet. Dies wurde durch das Herausnehmen der $k=0$ - und $k=1$ -Terme in den speziellen Funktionen erreicht. Das Endergebnis für N lautet:

$$N = 0.0030113 \alpha^2. \tag{4.186}$$

4.2.9 Ergebnis des Niedrigenergie-Anteils

In allen Teilergebnissen zum Niedrigenergie-Anteil hatten wir der Einfachheit halber $Z\alpha$ durch α ersetzt. Wenn wir nun alle Teilergebnisse aufaddieren und im Endergebnis α durch $Z\alpha$ ersetzen, so ergibt sich:

$$\begin{aligned}
F_L &= F_{nd} + F_{nq} + F_{p^i p^2} + F_{r \times \sigma} + F_{k.r} \tag{4.187} \\
&\quad + F_{\delta E} + F_{\delta\phi} + F_{\delta} + F_{p^4} + F_{L.S} + N \\
&= 0.0400223(1) - 0.79565(1) (Z\alpha)^2 + \frac{103}{180} (Z\alpha)^2 \ln((Z\alpha)^{-2}) \\
&\quad + \frac{2(Z\alpha)^2}{9\epsilon} + \frac{103}{180} (Z\alpha)^2 \ln(\epsilon).
\end{aligned}$$

Der A_{61} -Koeffizient des $\ln((Z\alpha)^{-2})$ -Terms stimmt gerade mit dem bekannten Ergebnis von $103/180$ überein [6]. Wir erinnern uns an das Ergebnis (4.73) für den Hochenergie-Anteil

$$F_H(2P_{1/2}) = -\frac{1}{6} + (Z\alpha)^2 \left[\frac{4177}{21600} - \frac{103}{180} \ln(2) - \frac{103}{180} \ln(\epsilon) - \frac{2}{9\epsilon} \right]$$

und geben noch einmal die Formel für den Niedrigenergie-Anteil an,

$$\begin{aligned}
F_L(2P_{1/2}) &= 0.0400223(1) - 0.79565(1) (Z\alpha)^2 + \frac{103}{180} (Z\alpha)^2 \ln((Z\alpha)^{-2}) \\
&\quad + \frac{2(Z\alpha)^2}{9\epsilon} + \frac{103}{180} (Z\alpha)^2 \ln(\epsilon).
\end{aligned}$$

In der Summe heben sich die Divergenzen in ϵ heraus, und wir erhalten als Summe der Hoch- und Niedrigenergie-Anteile

$$F(2P_{1/2}) = -0.126644(1) + (Z\alpha)^2 \left[-0.99891(1) + \frac{103}{180} \ln((Z\alpha)^{-2}) \right]. \tag{4.188}$$

Die Koeffizienten sind somit bestimmt zu

$$A_{40} = A_{40}(2P_{1/2}) = -\frac{1}{6} - \frac{4}{3} \ln k_0(2P) = -0.126644(1), \quad (4.189)$$

$$A_{60} = -0.99891(1),$$

$$A_{61} = \frac{103}{180}.$$

Die Werte für A_{40} und A_{61} stimmen mit den bekannten Resultaten überein (siehe [6]). Der Wert des Bethe-Logarithmus $\ln k_0$ für $2P$ -Zustände ist $\ln k_0(2P) = -0.0300167089(3)$.

Die numerischen Integrationen erfolgen jeweils mit einer Unsicherheit von 1 in der letzten Dezimalstelle (d. h. in der 6. Nachkommastelle). Im ganzen werden 10 numerische Integrationen ausgeführt. Wir geben daher die Genauigkeit des A_{60} -Koeffizienten mit $A_{60} = -0.99891(1)$ an (d. h. mit einer Unsicherheit von 1 in der 5. Nachkommastelle).

Anmerkung: Es wird vermutet, daß die Integration sehr viel besser konvergiert als hier angegeben. Zum Beispiel wurden bei der Integration des nichtrelativistischen Dipol-Anteils alle 9 bekannten Nachkommastellen des Bethe-Logarithmus in Übereinstimmung mit dem bekannten Resultat erhalten. Da aber beim A_{60} -Koeffizienten die 5. Nachkommastelle bereits einer Genauigkeit von unter 1 Hz entspricht, geben wir uns mit einer sehr vorsichtigen Abschätzung zufrieden.

Kapitel 5

Die Selbstenergie des 2P-Zustands ($j=3/2$) zur sechsten Ordnung in Z_α

5.1 Der Hoch- und Niedrigenergie-Anteil

Die Rechnungen des vorangegangenen Kapitels können für das $2P_{3/2}$ -Niveau in ähnlicher Weise wiederholt werden. Für den Hochenergie-Anteil wird erhalten

$$F_H(2P_{3/2}) = \frac{1}{12} + (Z\alpha)^2 \left[\frac{6577}{21600} - \frac{29}{90} \ln(2) - \frac{29}{90} \ln(\epsilon) - \frac{2}{9\epsilon} \right]. \quad (5.1)$$

Weil beim $2P_{3/2}$ -Niveau der Spin des Elektrons mit seinem Bahndrehimpuls zum Gesamtdrehimpuls $j = 3/2$ koppelt, ändern sich die Beiträge $F_{L.S}$, $F_{r \times \sigma}$ und $F_{k \cdot r}$. Weil die relativistische Korrektur zur Energie für $2P_{3/2}$ anders ist als für $2P_{1/2}$, ändert sich $F_{\delta E}$. Da der relativistische Hamiltonian δH die $\vec{\sigma} \cdot \vec{L}$ -Kopplung enthält, ändert sich auch die relativistische Korrektur zur Wellenfunktion $\delta\phi$. Damit erhält auch $F_{\delta\phi}$ einen anderen Wert. Die anderen Beiträge ändern sich nicht.

Es soll hier nicht auf die Rechnungen eingegangen werden. Im wesentlichen wird dem bereits besprochenen $2P_{1/2}$ -Zustand gefolgt. Der Niedrigenergie-Anteil ergibt sich zu

$$F_L(2P_{3/2}) = -\frac{4}{3} \ln k_0 + (Z\alpha)^2 \left[-0.58451(1) + \frac{29}{90} \ln((Z\alpha)^{-2}) + \frac{29}{90} \ln(\epsilon) + \frac{2}{9\epsilon} \right]. \quad (5.2)$$

5.2 Endergebnis für den 2P-Zustand ($j = 3/2$)

In der Addition der Hoch- und Niedrigenergie-Anteile heben sich die $1/\epsilon$ - und $\ln(\epsilon)$ -Divergenzen gerade heraus, und wir erhalten als Ergebnis für F

$$F(2P_{3/2}) = 0.123356(1) + (Z\alpha)^2 \left[-0.50337(1) + \frac{29}{90} \ln((Z\alpha)^{-2}) \right]. \quad (5.3)$$

mit $A_{40} = 0.123356(1) = 1/12 - 4/3 \ln k_0(2P)$ ($\ln k_0$ ist der Bethe-Logarithmus). Durch die Rechnung ist der A_{60} -Koeffizient bestimmt zu

$$A_{60}(2P_{3/2}) = -0.50337(1). \quad (5.4)$$

Kapitel 6

Ergebnisse und Diskussion

6.1 Zusammenfassung der Ergebnisse

Es wurde in dieser Arbeit die ϵ fw-Methode entwickelt, welche zur Berechnung der (Ein-Schleifen-) Selbstenergie eines gebundenen Elektrons in höherer Ordnung dient. Diese Methode wurde auf die $2P_{1/2}$ - und $2P_{3/2}$ -Zustände angewandt.

Für die F -Faktoren der Selbstenergie (zur Definition von F siehe Kapitel 1.3) erhalten wir

$$F(2P_{1/2}) = -\frac{1}{6} - \frac{4}{3} \ln k_0(2P) + (Z\alpha)^2 \left[-0.99891(1) + \frac{103}{180} \ln((Z\alpha)^{-2}) \right] \quad (6.1)$$

und

$$F(2P_{3/2}) = \frac{1}{12} - \frac{4}{3} \ln k_0(2P) + (Z\alpha)^2 \left[-0.50337(1) + \frac{29}{90} \ln((Z\alpha)^{-2}) \right], \quad (6.2)$$

wobei der Bethe-Logarithmus gegeben ist durch $\ln k_0(2P) = -0.0300167089(3)$. Die A_{40} - und A_{61} -Koeffizienten stimmen mit den bekannten Resultaten überein (diese Koeffizienten sind in [6] für P und S Zustände aufgeführt, für die P Zustände siehe Kapitel 1.3). Die A_{60} -Koeffizienten sind bestimmt zu

$$A_{60}(2P_{1/2}) = -0.99891(1) \quad (6.3)$$

und

$$A_{60}(2P_{3/2}) = -0.50337(1). \quad (6.4)$$

Diese Resultate sind konsistent mit den aus der Extrapolation von numerischen Resultaten gewonnenen Werte für die A_{60} -Koeffizienten [14],

$$A_{60}(2P_{1/2}) = -0.8(3) \quad (6.5)$$

und

$$A_{60}(2P_{3/2}) = -0.5(3). \quad (6.6)$$

Die Bestimmung der A_{60} -Koeffizienten mit verbesserter Genauigkeit war neben der Entwicklung der ϵ fw-Methode das Hauptziel dieser Arbeit. Mit der genauen Kenntnis der Koeffizienten wird es möglich, neue (genauere) Werte für die Lamb-Shift der beiden $2P$ Zustände anzugeben (Kapitel 6.4).

6.2 Überprüfung der Rechnung

Lamb-Shift-Rechnungen allgemein sind sehr umfangreich und die Ausdrücke in den Zwischenschritten recht groß. In dieser Arbeit überstiegen die Integranden im Hochenergie-Anteil bei den Matrix-Elemente eine Länge von 1000 Termen, im Niedrigenergie-Anteil traten Ausdrücke vergleichbarer Länge auf, die dann vermittels der Zusammenhangsformeln vereinfacht wurden. Ein einziger Rechenfehler kann das Ergebnis verfälschen. Daher stellt sich die Frage nach den Überprüfungsmöglichkeiten. Bei der vorliegenden Arbeit wurden folgende Prüfungen vorgenommen:

1. Die Matrix-Elemente für den Hochenergie-Anteil wurden auf zwei verschiedene Arten (computergestützt und von Hand) ausgewertet.
2. Im Hochenergie-Anteil sind der Koeffizient der $\ln(\epsilon)$ -Divergenz und der $1/\epsilon$ -Divergenz bekannt und können überprüft werden.
3. Im Niedrigenergie-Anteil kann man für jeden einzelnen Beitrag die $\ln(\epsilon)$ -Divergenz berechnen und überprüfen. Dies wurde für jeden einzelnen Beitrag getan. Die Summe der Divergenzen muß sich gerade mit dem Hochenergie-Anteil herausheben.
4. Man kann zeigen, daß das Matrix-Element

$$P(\omega) = \frac{m}{2} \delta^{T,ij} \tilde{P}^{ij}(\omega)$$

mit

$$\tilde{P}^{ij}(\omega) = \langle \psi | \alpha^i e^{i\vec{k}\cdot\vec{r}} \frac{1}{H_D - (E_\psi - \omega)} \alpha^j e^{-i\vec{k}\cdot\vec{r}} | \psi \rangle$$

für $\omega \rightarrow 0$ verschwindet. Daher muß auch die Summe der einzelnen Beiträge des Niedrigenergie-Anteils für $\omega \rightarrow 0$ ($t \rightarrow 1$) verschwinden. Nach der FW-Transformation treten jedoch noch versteckte Beiträge auf, da die α^i -Matrizen obere und unteren Komponente der Spinoren miteinander verbinden. Wenn man die versteckten Beiträge jedoch miteinbezieht, so muß sich der konsistente Wert Null für die Summe ergeben. Man kann den Wert der Beiträge für $t \rightarrow 1$ sogar einzeln berechnen, wodurch eine zusätzliche Überprüfung des Resultats möglich ist. Diese Prüfungsmöglichkeit wurde ebenfalls in die Tat umgesetzt.

5. Alle im Niedrigenergie-Anteil verwandten Summations-Regeln wurden an geeigneten Beispielen geprüft.
6. Der nichtrelativistische Dipol-Anteil wurde auf zwei verschiedene Arten (im Impuls- und Ortsraum) berechnet.

Diese Prüfungen beziehen sich auf die Korrektheit der Rechenschritte. Es ergibt sich noch ein weiteres Problem, denn auch die verwandten Computer-Algebra-Systeme sind (wahrscheinlich) nicht frei von Inkonsistenzen. Die Überprüfungsmöglichkeiten in Bezug auf diese Systeme sind eingeschränkt. Man kann allenfalls die eigenen Programme so gestalten, daß die einzelnen Rechenschritte sehr gut kontrolliert werden.

6.3 Abschätzung höherer Koeffizienten

P. Mohr hat F für große Z aus numerischen Rechnungen gewonnen [14]. Für $Z = 5$ ist die Konvergenz bereits sehr langsam, für $Z < 5$ werden dort keine Resultate angegeben. Aufgrund der nichtanalytischen Terme in α ist eine Extrapolation der Ergebnisse in den Bereich für kleine Z nur eingeschränkt möglich. Kennt man aber die Koeffizienten von F bis zu einer bestimmten Ordnung in α , so lassen sich durch Angleichen einer Funktion, die die nächsthöheren Koeffizienten enthält, Abschätzungen für diese Koeffizienten gewinnen. Wir gleichen dazu die Funktion

$$G(Z) = \frac{F(Z) - A_{40} - (Z\alpha)^2 (A_{60} + A_{61} \ln [(Z\alpha)^{-2}])}{(Z\alpha)^3} = \quad (6.7)$$

$$A_{71} + (Z\alpha) \left[A_{80} + A_{81} \ln [(Z\alpha)^{-2}] + A_{82} (\ln [(Z\alpha)^{-2}])^2 \right] + O((Z\alpha)^2)$$

an die numerischen Ergebnisse an (mit den in dieser Arbeit bestimmten, neuen Werten von A_{60}). Daraus ergeben sich die folgenden Abschätzungen für die nächsthöheren Koeffizienten.

$$A_{70}(2P_{1/2}) \approx \frac{49}{50} \pi, \quad (6.8)$$

Die Angabe dieses Koeffizienten erfolgt in dieser Form, da gezeigt werden kann, daß $A_{\text{ungerade},0}$ gleich einer rationalen Zahl mal π) ist.

$$A_{80}(2P_{1/2}) \approx 0.1, \quad (6.9)$$

$$A_{81}(2P_{1/2}) \approx -1.5, \quad (6.10)$$

$$A_{82}(2P_{1/2}) \approx 0.2. \quad (6.11)$$

Für den $2P_{3/2}$ -Zustand ist

$$A_{70}(2P_{3/2}) \approx \frac{39}{50}\pi, \quad (6.12)$$

$$A_{80}(2P_{3/2}) \approx -1.7, \quad (6.13)$$

$$A_{81}(2P_{3/2}) \approx -0.6, \quad (6.14)$$

$$A_{82}(2P_{3/2}) \approx -0.2. \quad (6.15)$$

Den Fehler dieser Abschätzungen sollte man aufgrund der systematischen Unsicherheit des Verfahrens mit mindestens der Hälfte des Absolutwertes in jedem einzelnen Fall ansetzen.

Für die Werte von $G_1 = G(Z = 1)$ ergeben sich die folgenden Abschätzungen:

$$G_1(2P_{1/2}) = 3 \pm 2, \quad (6.16)$$

und

$$G_1(2P_{3/2}) = 2 \pm 1. \quad (6.17)$$

Diese Werte von G werden für die Angabe des theoretischen Fehlers des Selbstenergiebeitrages bei der Berechnung der Lamb-Verschiebung benötigt.

6.4 Neue Werte für die Lamb-Verschiebung

Für die Lamb-Shift δE_{Lamb} verwenden wir die Definition

$$E = M + m_r [f(n, j) - 1] - \frac{m_r^2}{2M} [f(n, j) - 1]^2 + \delta E_{\text{Lamb}} + E_{\text{hfs}}. \quad (6.18)$$

E ist die Energie des Zweikörpersystems und $f(n, j)$ die dimensionslose Dirac Energie. Für die in dieser Arbeit behandelte Ein-Schleifen-Selbstenergie muß zur Bestimmung der Lamb-Verschiebung die Abhängigkeit der einzelnen Koeffizienten von der reduzierten Masse des Systems miteinbezogen werden. Diese Abhängigkeit ist bekannt [6]. Außer der Ein-Schleifen-Selbstenergie tragen folgende Effekte zur Lamb-Verschiebung bei :

1. Zwei-Schleifen-Korrekturen zur Selbstenergie. Der Hauptbeitrag ist von der Ordnung $\alpha(Z\alpha)^4$. Es ist auch ein logarithmischer Beitrag der Ordnung $\alpha^2(Z\alpha)^6 \ln((Z\alpha)^{-2})$ bekannt [5].
2. Drei-Schleifen-Beitrag zur Selbstenergie. Der Hauptbeitrag dieser Korrektur ergibt sich durch die Drei-Schleifen-Beiträge zum anomalen magnetischen Moment des Elektrons [5]. Der Effekt skaliert mit $\alpha^3(Z\alpha)^4$.
3. Vakuumpolarisation. Die Vakuumpolarisation geht für P -Zustände nur in höherer Ordnung ($\alpha(Z\alpha)^6$) ein [6].
4. Eine mit $(m_r/M)^2(Z\alpha)^4$ skalierende Rückstoßkorrektur, die aus dem Breit-Hamiltonian folgt und eine leichte l -Abhängigkeit der Energieniveaus bedingt [6].
5. Die Salpeter Korrektur (relativistische Rückstoßkorrektur) in $(Z\alpha)^5$ [6].

6. Relativistische Rückstoßkorrekturen höherer Ordnung ($(Z\alpha)^6 m_r/M$) [24].

Durch Abschätzen höherer Terme in α kann für die einzelnen Beiträge ein “theoretischer Fehler” angegeben werden. Für den $2P_{1/2}$ -Zustand ergibt sich folgende Tabelle,

Lamb-Verschiebung des $2P_{1/2}$ -Zustands		
Beitrag	Wert in kHz	Fehler in kHz
Ein-Schleifen-Selbstenergie	-12846.9	0.1
Zwei-Schleifen-Selbstenergie	26.0	0.1
Drei-Schleifen-Selbstenergie	-0.2	vernachlässigbar
Vakuumpolarisation	-0.3	vernachlässigbar
$(Z\alpha)^4$ Rückstoß	2.2	vernachlässigbar
$(Z\alpha)^5$ Rückstoß (Salpeter)	-17.1	0.1
$(Z\alpha)^6$ Rückstoß	0.4	vernachlässigbar
Summe für $2P_{1/2}$	-12836.0	0.3

und für $2P_{3/2}$ haben wir

Lamb-Verschiebung des $2P_{3/2}$ -Zustands		
Beitrag	Wert in kHz	Fehler in kHz
Ein-Schleifen-Selbstenergie	12548.0	0.1
Zwei-Schleifen-Selbstenergie	-12.8	0.1
Drei-Schleifen-Selbstenergie	0.1	vernachlässigbar
Vakuumpolarisation	-0.1	vernachlässigbar
$(Z\alpha)^4$ Rückstoß	-1.1	vernachlässigbar
$(Z\alpha)^5$ Rückstoß (Salpeter)	-17.1	0.1
$(Z\alpha)^6$ Rückstoß	0.4	vernachlässigbar
Summe für $2P_{3/2}$	12517.5	0.3

Bei den theoretischen Unsicherheiten addieren wir die Absolutwerte der Fehler, da sich theoretische Unsicherheiten nicht wie statistisch verteilte Meßwerte verhalten. Die neuen Werte für die Lamb-Verschiebungen der $2P$ -Zustände sind

$$\delta E_{\text{Lamb}}(2P_{1/2}) = -12836.0(3) \text{ kHz} \quad (6.19)$$

sowie

$$\delta E_{\text{Lamb}}(2P_{3/2}) = 12517.5(3) \text{ kHz}. \quad (6.20)$$

Der theoretische Fehler für beide Endergebnisse liegt bei unter 300 Hz. Der neue theoretische Wert für die Feinstruktur ergibt sich aus Gl. 6.18 zu

$$\delta E_{\text{fs}} = E(2P_{3/2}) - E(2P_{1/2}) = 10969043.2(6) \text{ kHz}, \quad (6.21)$$

wiederum mit der Maßgabe, die Absolutwerte der einzelnen theoretischen Fehler zu addieren.

6.5 Diskussion der epsilon-fw-Methode

Die in dieser Arbeit vorgestellte ϵ fw-Methode dient zur Berechnung der Selbstenergie eines gebundenen Zustands in höherer Ordnung. Die Rechnung wird in einen Hoch- und einen Niedrigenergie-Anteil aufgespalten. Der Hochenergie-Anteil wird durch Einsatz von Computer-Algebra vereinheitlicht behandelt. Im Niedrigenergie-Anteil hat die ϵ fw-Methode aufgrund der Foldy-Wouthuysen-Transformation folgende Vorteile:

1. Klare Trennung des Hauptbeitrages von den relativistischen Korrekturen,
2. Einsatz des nichtrelativistischen Propagators,

3. Aufteilung der Rechnung in Teilbeiträge.

Ultimatives Ziel der computergestützten Rechnungen ist automatisierte Berechnung von quantenelektrodynamischen Korrekturen. Nur durch eine solche Automatisierung der Rechnung ist es möglich, Korrekturen höherer Ordnung zuverlässig zu berechnen (wegen der Länge der Terme). Von besonderer Wichtigkeit bleibt jedoch die Wahl einer adäquaten Rechenmethode. Bei Wahl einer falschen Methode “explodieren” die Ausdrücke in mehrere zehntausend Terme, die auch mit schnellen Rechnern nicht mehr handhabbar sind. Daher ist es unter anderem wünschenswert, die Rechnung in Teilschritte aufzuspalten.

Wie wir am Beispiel der Integrationsroutinen zur Berechnung der Matrix-Elemente (siehe Abschnitt [4.1.1](#)) sehen, kann durch geschicktes Programmieren häufig die Rechenzeit um mehrere Größenordnungen verringert werden. Die entwickelten Integrationsroutinen zur Berechnung von Matrix-Elementen kommen mit sehr wenigen Regeln aus und sind daher schnell. Die in *Mathematica* eingebauten Routinen decken zwar eine größere Klasse von Integralen ab, sind aber für den speziellen Einsatz viel zu langsam.

Kapitel 7

Ausblick

7.1 Anmerkung zum Vergleich mit dem Experiment

Zum direkten Vergleich von Theorie und Experiment sollte auf dem kHz-Niveau noch folgender Effekt miteinbezogen werden, für den hier der Name hfs-fs-Kopplung vorgeschlagen wird. Der Effekt wird beispielsweise in [23] für myonischen Wasserstoff behandelt. Er beeinflusst die relative Lage von Zuständen mit denselben n , l , und F Quantenzahlen, die aber verschiedene j -Quantenzahlen aufweisen. Der Effekt wird bereits in dem klassischen Buch von Bethe und Salpeter [9] beschrieben. Durch den Effekt wird der $2P_{3/2}$, $F = 1$ Zustand energetisch abgesenkt, der $2P_{1/2}$, $F = 1$ Zustand jedoch energetisch angehoben um jeweils 2.5 kHz. Der Effekt beeinflusst nicht die relative Lage der $2P_{3/2}$, $F = 2$ und $2P_{1/2}$, $F = 0$ Zustände.

7.2 Hochpräzisions-Tests der QED

Durch den neuen theoretischen Wert für den $2P_{1/2}$ Zustand wird es möglich, von der $2P$ Lamb-Verschiebung, die als Referenzpunkt dient, die $2S$ Lamb-Verschiebung sehr genau zu bestimmen (Messung von Hagley und Pipkin, [13]). Andererseits wird die $2S$ -Lamb-Verschiebung im Frequenzkettenlabor durch Vergleich der nS -Übergangsfrequenzen ermittelt. Dadurch ist ein direkter Vergleich von zwei völlig unterschiedlichen experimentellen Methoden möglich.

Allgemein gilt für die hier vorgestellte ϵ fw-Methode, daß analytische Rechnungen zur Selbstenergie in höherer Ordnung sehr vereinfacht werden.. In leicht abgewandelter Form sollte die Methode zur Berechnung von Strahlungskorrekturen zur Hyperfeinstruktur in Myonium und Positronium sowie zur Selbstenergie in Helium einsetzbar sein.

Weitere Anwendungsmöglichkeiten ergeben sich für P -Zustände mit höheren Hauptquantenzahlen ($n = 3$ und $n = 4$). Die Computerunterstützung ist hier sehr hilfreich, da die aufgrund höherer Hauptquantenzahl längeren Ausdrücke für die Wellenfunktionen problemlos behandelt werden können.

Nach Wissen des Autors existieren für Zustände mit $n > 3$ zur Zeit weder numerische noch symbolische Rechnungen in höherer Ordnung. Durch Rechnungen in höherer Ordnung könnte die Lamb-Shift dieser Zustände und damit die Feinstruktur sehr genau bestimmt werden.

Danksagung

Ich möchte mich ganz herzlich bei Herrn Dr. Krzysztof Pachucki für die freundliche, unkomplizierte und stets offene Hilfe und Betreuung bedanken. Bei Herrn Prof. Theodor Hänsch bedanke ich mich für die Vergabe des Themas und die Inspiration, die von den Hochpräzisions-Messungen ausgeht. Schließlich danke ich auch der Studienstiftung für Anregung und Unterstützung während des Studiums.

Literaturverzeichnis

- [1] W. Greiner, *Theoretische Physik–Band 7: Quantenelektrodynamik*, Verlag Harry Deutsch, Thun; Frankfurt am Main, 2. Auflage 1995.
- [2] C. Itzykson und J. B. Zuber, *Quantum Field Theory*, McGraw-Hill, New York, 1980.
- [3] Bjorken/Drell, *Relativistische Quantenmechanik*, Originalausgabe bei McGraw-Hill 1964, deutsche Übersetzung im B.-I. Wissenschaftsverlag, 1964.
- [4] L. D. Landau und E.M. Lifschitz, *Lehrbuch der Theoretischen Physik, Bd. 3: Quantenmechanik*, Akademie-Verlag, Berlin, 1979.
- [5] T. Kinoshita und D. Yennie, “*High Precision Tests of Quantum Electrodynamics– An Overview*”, in *Quantum Electrodynamics*, Herausgeber T. Kinoshita, World Scientific, Singapur 1990.
- [6] J. Sapirstein und D. Yennie, “*Theory of Hydrogenic Bound States*”, in *Quantum Electrodynamics*, Herausgeber T. Kinoshita, World Scientific, Singapur, 1990.
- [7] E. A. Uehling, Phys. Rev. **48**, 55 (1935).
- [8] H. A. Bethe, Phys. Rev. **72**, 339 (1947).
- [9] H. A. Bethe und E. E. Salpeter, *Quantum Mechanics of One- and Two-Electron Atoms*, Springer-Verlag, Berlin/New York, 1957.
- [10] W. E. Lamb, Jr. und R. C. Retherford, Phys. Rev. **72**, 241 (1947).
- [11] S. Triebwasser, E. S. Dayhoff und W.E. Lamb, Phys. Rev. **89**, 98 (1953).
- [12] M. Weitz, F. Schmidt-Kaler, und T. W. Hänsch, Phys. Rev. Lett. **68**, 1120 (1992), F. Schmidt-Kaler, D. Leibfried, M. Weitz, und T.W. Hänsch, Phys. Rev. Lett. **70**, 2261 (1993), M. Weitz, A. Huber, F. Schmidt-Kaler, D. Leibfried, und T.W. Hänsch, Phys. Rev. Lett. **72**, 328 (1994).
- [13] E. W. Hagley und F. M. Pipkin, Phys. Rev. Lett. **72**, 1172 (1994).
- [14] P. J. Mohr, Phys. Rev. A **26**, 2338 (1982), P. Indelicato und P. J. Mohr, Phys. Rev. A **46**, 172 (1992), K. T. Cheng, W. R. Johnson, und J. Sapirstein, Phys. Rev. Lett. **66**, 2960 (1991), S. A. Blundell und N. J. Snyderman, Phys. Rev. A **44**, 1427 (1991), P. J. Mohr und Y. K. Kim, Phys. Rev. A **45**, 2727 (1992).
- [15] L. Hostler, J. Math. Phys. **5**, 591 (1964).
- [16] R. A. Swainson und G. W. F. Drake, J. Phys. A Math. Gen. **24**, 79, 95 (1991).
- [17] H. Bateman, *Higher Transcendental Functions*, McGraw–Hill, New York, 1953.
- [18] H. Buchholz, *The Confluent Hypergeometric Function*, Springer Verlag, Berlin/New York, 1969.
- [19] K. Pachucki, *Dissertation*, in *Annals of Physics* (N.Y.) **226**, 1 (1993).
- [20] K. Pachucki, Phys. Rev. Lett. **72**, 3154 (1994).
- [21] K. Pachucki und H. Grotch, Phys. Rev. A **51**, 1854 (1995).

- [22] K. Pachucki, Phys. Rev. A **52**, 1079 (1995).
- [23] K. Pachucki, Phys. Rev. A **53**, 2092 (1996).
- [24] E. Golosov *et al.*, Zh. Eksp. Teor. Fiz. **107**, p. 393 (1995).
- [25] S. Wolfram, *Mathematica: A System for Doing Mathematics by Computer* (Addison-Wesley, Reading, MA, 1988).
- [26] A. Hsieh und E. Yehudai, *H.I.P. - Symbolic High Energy Physics Calculations*, Computers in Physics, 1991.